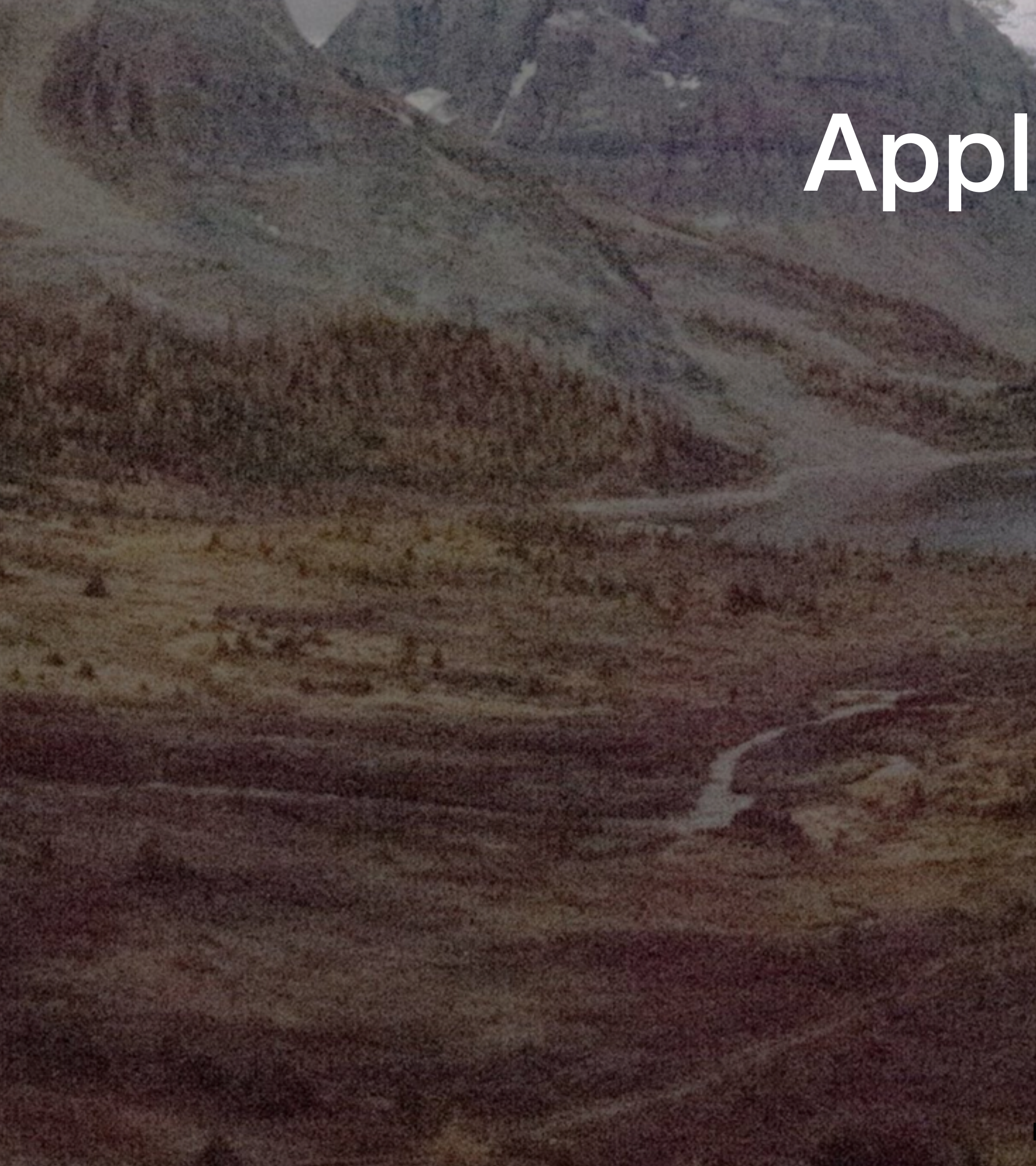


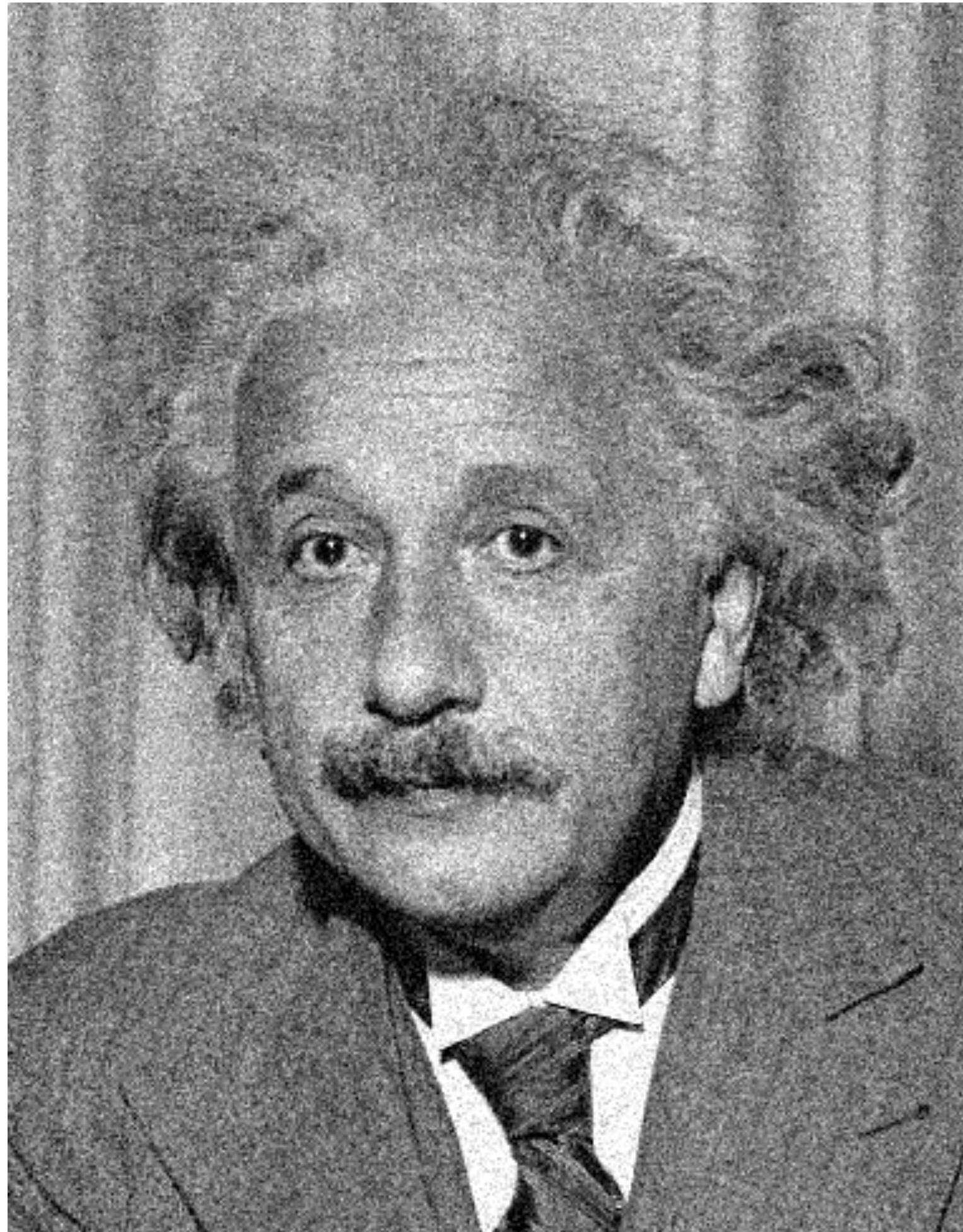
# Applications du filtrage



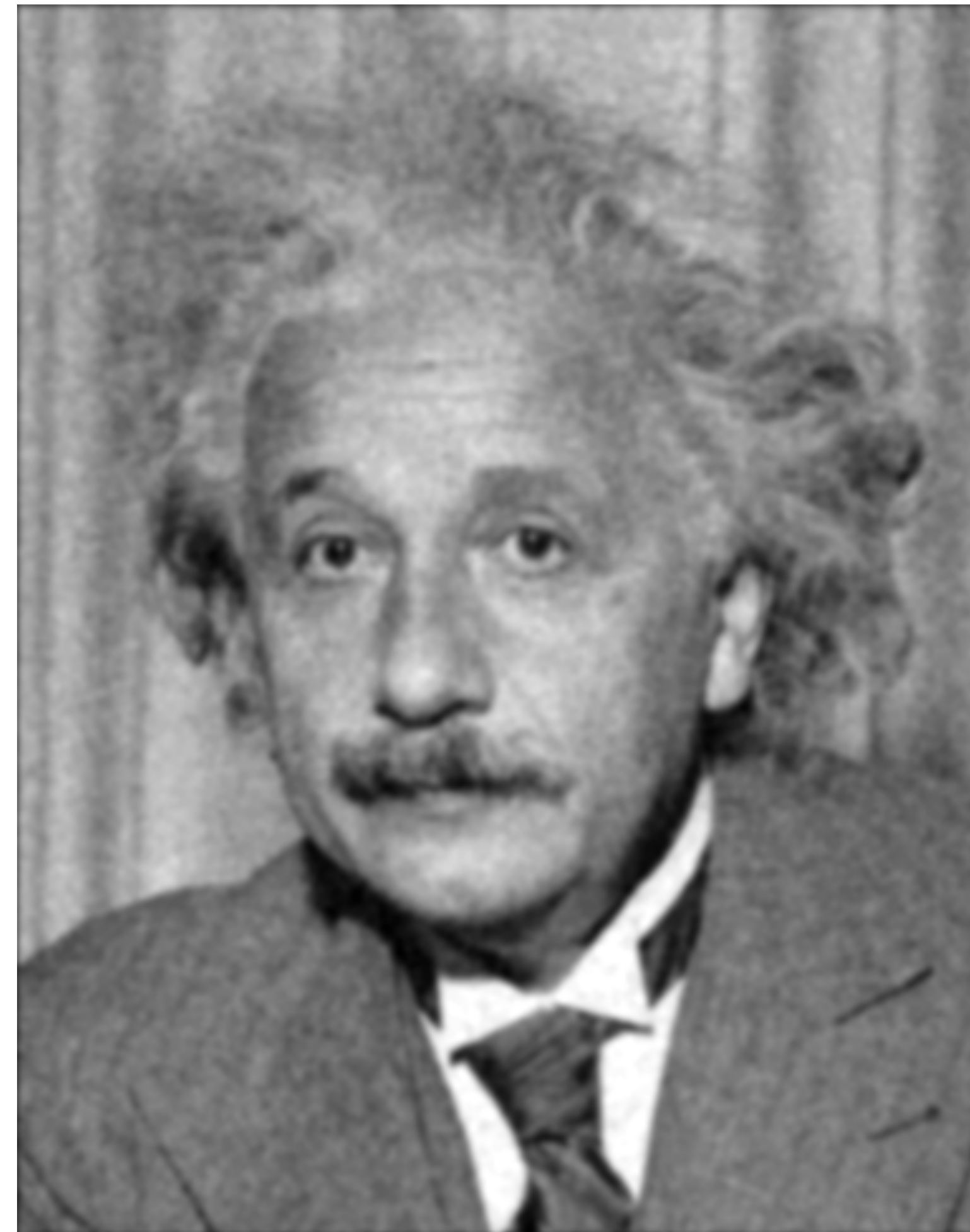
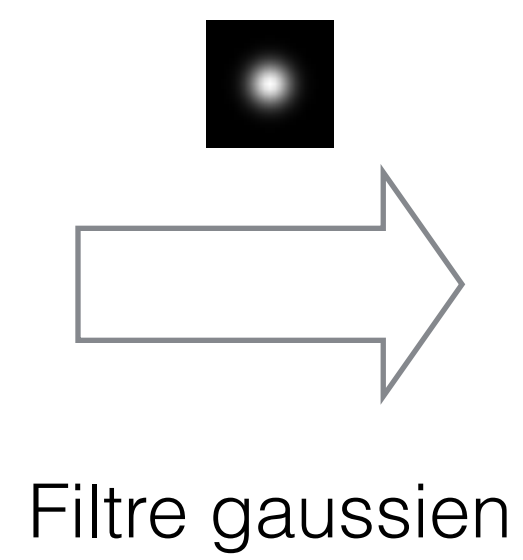
GIF-4105/7105 Photographie Algorithmique  
Jean-François Lalonde

Photo Credit: Alister Benn

# Atténuation du bruit



Bruit additif gaussien

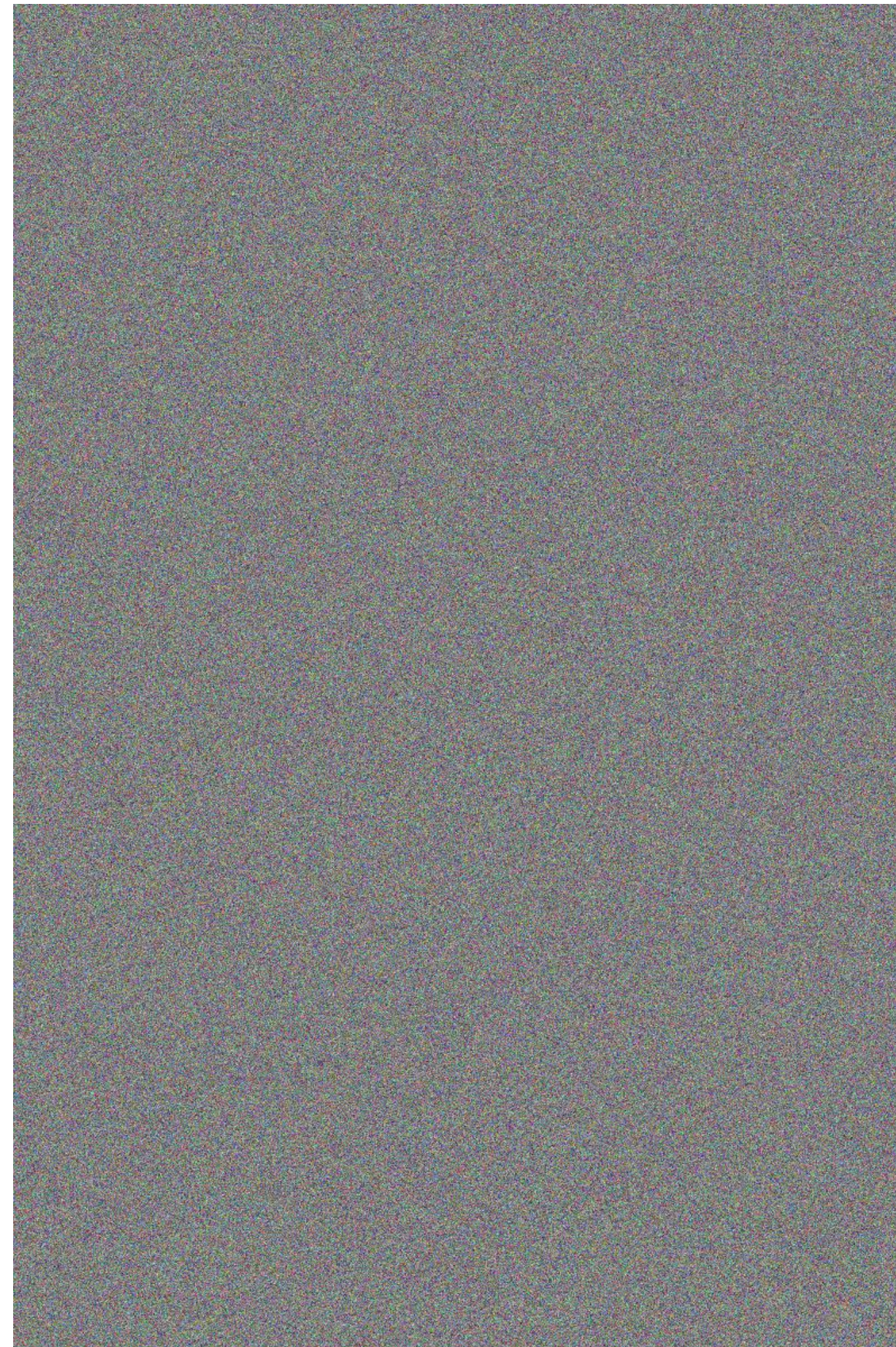


# Atténuer le bruit gaussien

Image



Bruit gaussien (centré à 0)



+

=

Image bruitée



# Atténuer le bruit gaussien

Image bruitée



Filtre gaussien  
( $\sigma = 0.5$ )



# Atténuer le bruit gaussien

Image bruitée



Filtre gaussien  
( $\sigma = 1$ )



# Atténuer le bruit gaussien

Image bruitée



Filtre gaussien  
( $\sigma = 2$ )



# Atténuer le bruit gaussien

Image bruitée



Filtre gaussien  
( $\sigma = 5$ )



# Atténuer le bruit gaussien

Image bruitée



Filtre gaussien  
( $\sigma = 5$ )



En augmentant la variance du filtre, on réduit le bruit, mais on rend l'image floue!



# Bruit « poivre et sel »

Filtre gaussien

3x3



# Bruit « poivre et sel »

3x3



Filtre gaussien

5x5



# Bruit « poivre et sel »

Filtre gaussien

3x3



5x5



7x7



# Autre idée : filtre médian

10	15	20
23	90	27
33	31	30

# Autre idée : filtre médian

Est-ce que c'est linéaire?

10	15	20
23	90	27
33	31	30

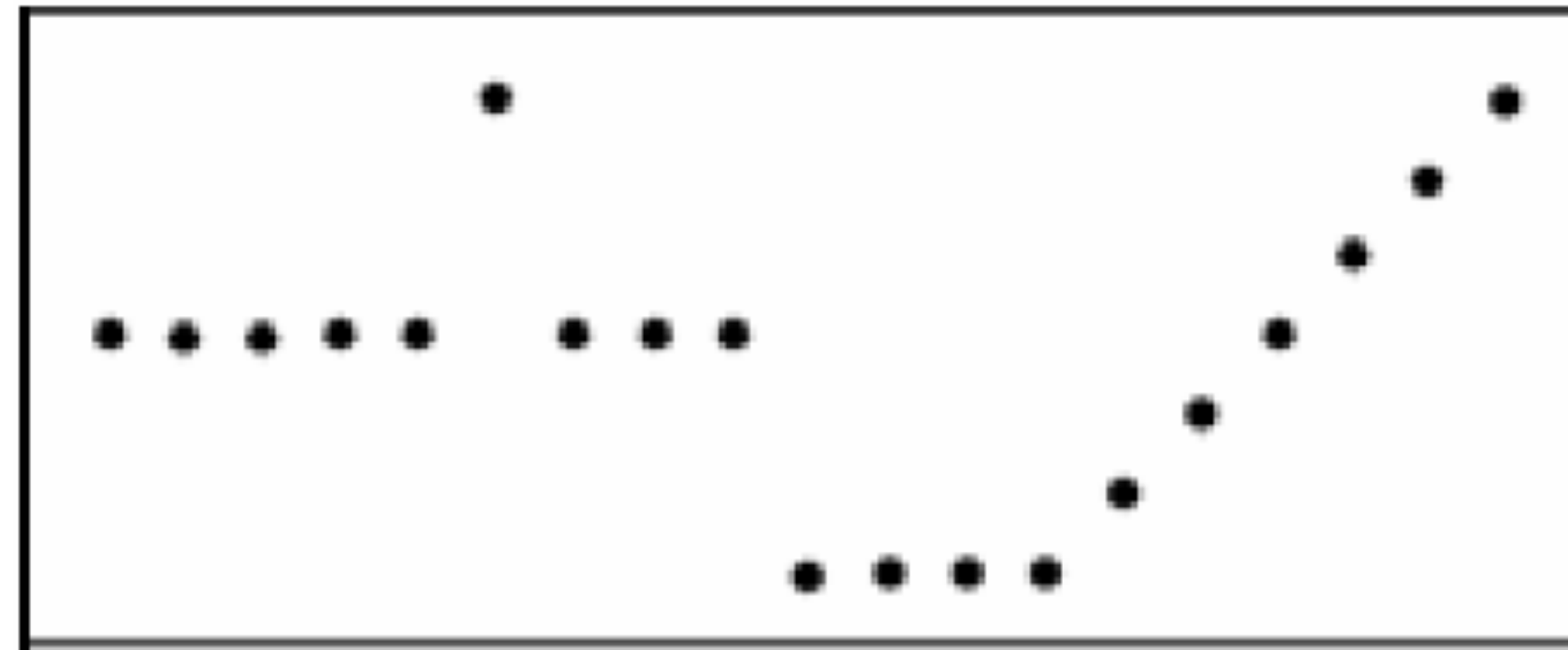
Ordonner

10 15 20 23 27 30 31 33 90

Prendre la médiane

# Filtre médian

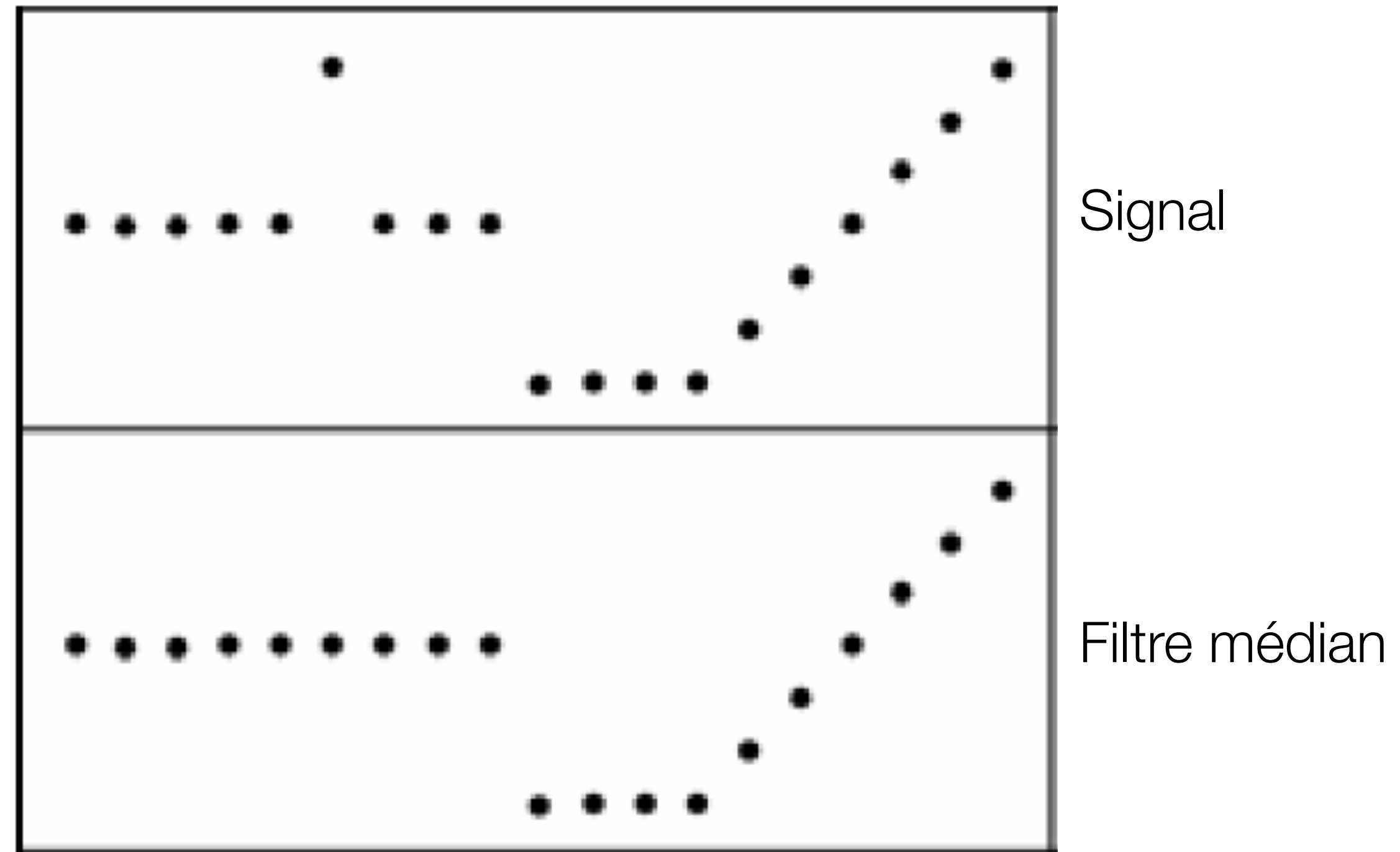
Quels sont les avantages du filtre médian par rapport au filtre gaussien?



Signal

# Filtre médian

Quels sont les avantages du filtre médian par rapport au filtre gaussien?

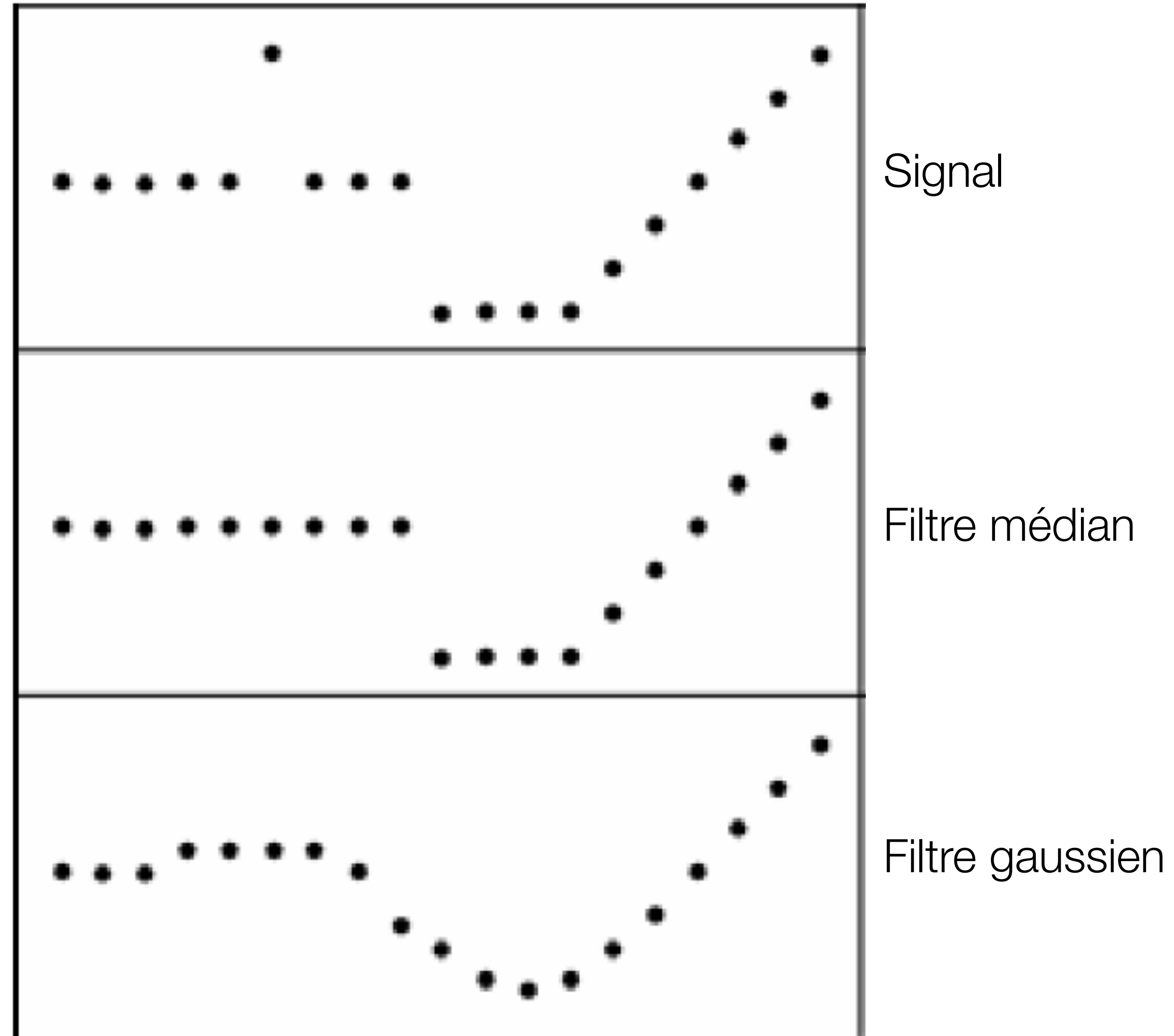


# Filtre médian

Quels sont les avantages du filtre médian par rapport au filtre gaussien?

Robuste aux points aberrants

Préserve mieux les arêtes



# Filtre médian vs. gaussien

3x3

Gaussien



Médian



# Filtre médian vs. gaussien

3x3

5x5

Gaussien



Médian



# Filtre médian vs. gaussien

3x3

5x5

7x7

Gaussien



Médian



# En python

```
from skimage.filters.rank import median  
import numpy as np
```

```
imgf = median(img, np.ones((23, 23)))
```

## Attention

Ne fonctionne que sur des images  
à 1 canal (niveau de gris)

Image originale



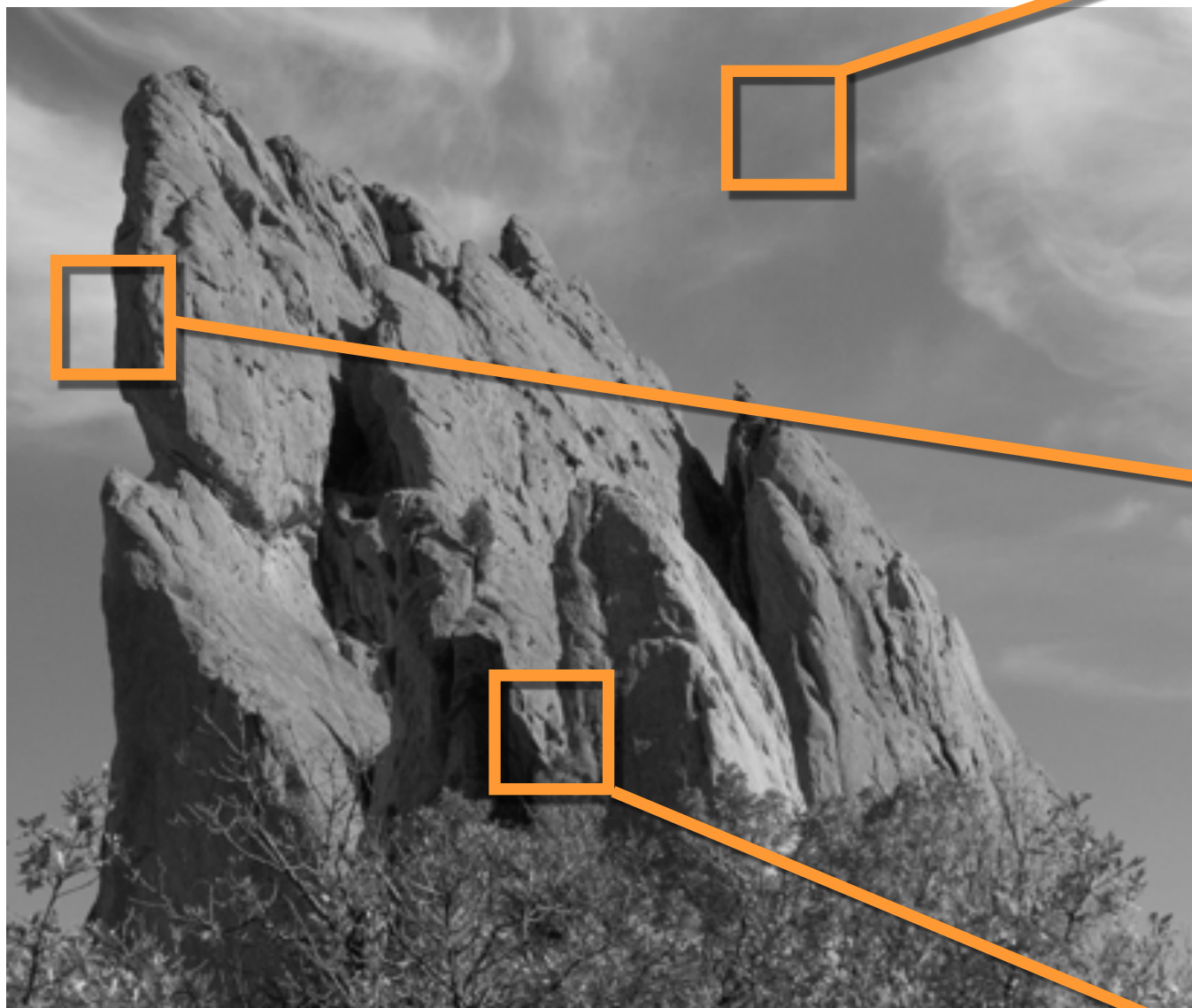
Filtre médian (23x23)



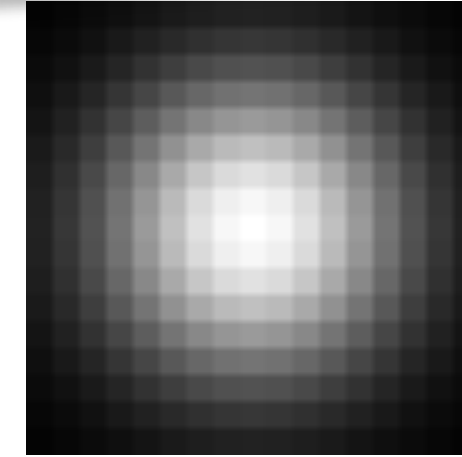
# D'où provient le flou?

Le flou est créé lorsqu'on calcule la moyenne de chaque côté d'une arête.

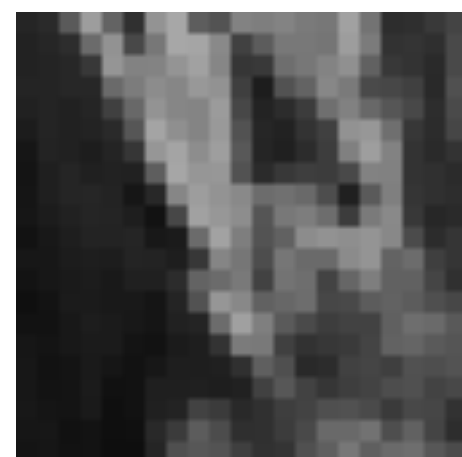
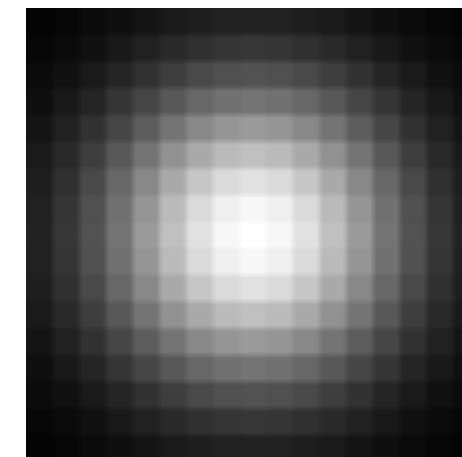
entrée



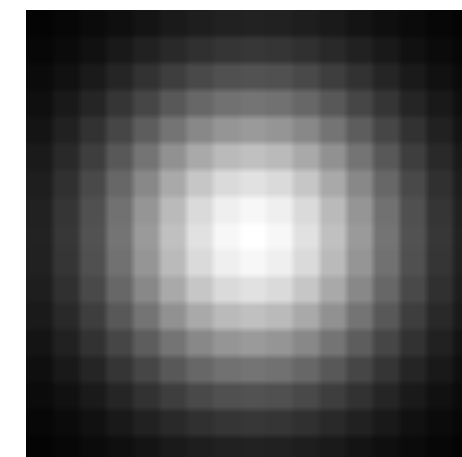
\*



\*



\*



sortie

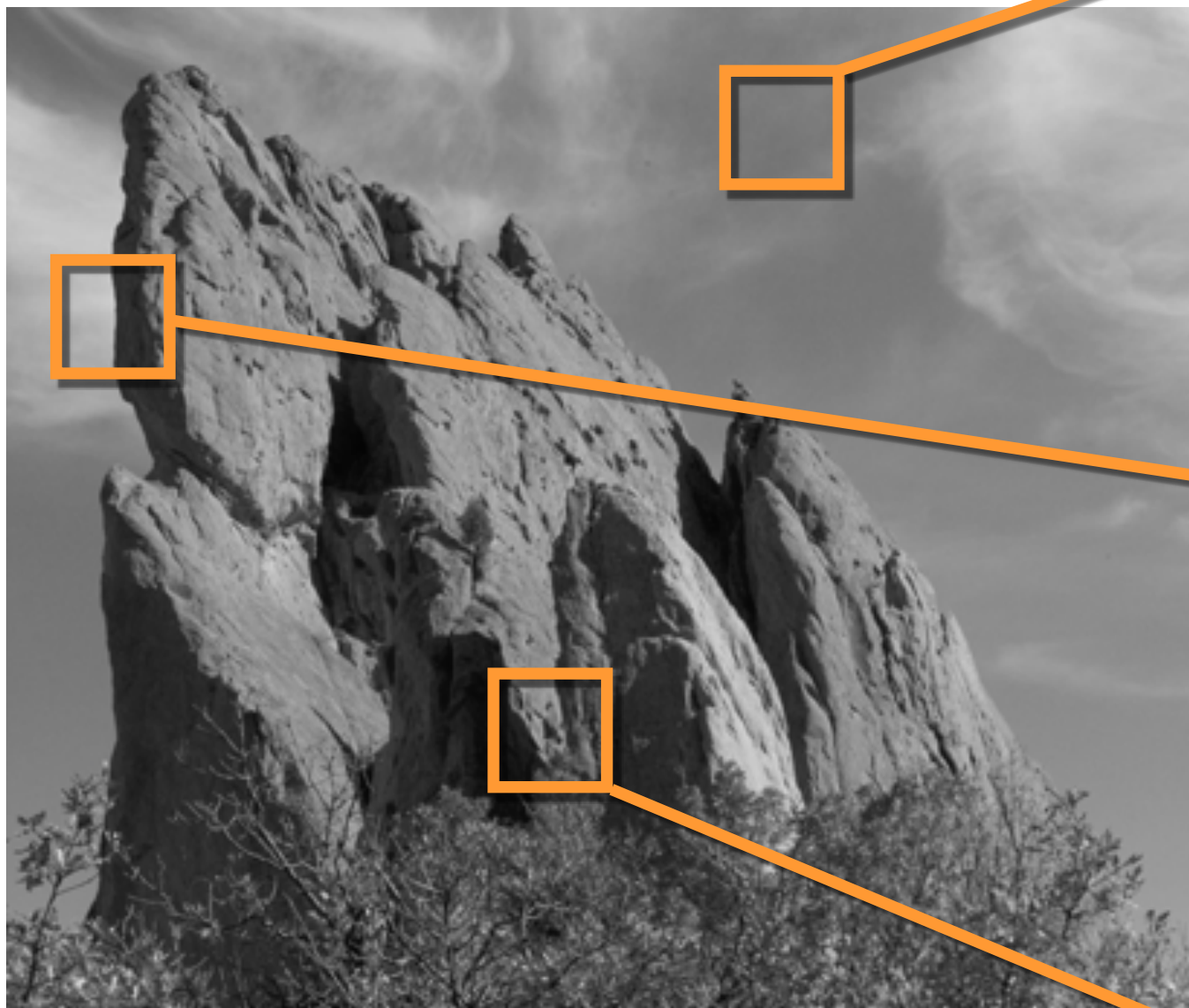


Le **même** noyau gaussien est appliqué partout

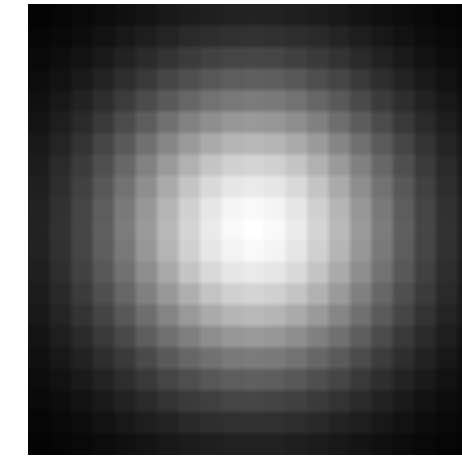
# Filtre bilatéral : pas de moyenne de part et d'autre d'une arête

[Aurich 95, Smith 97, Tomasi 98]

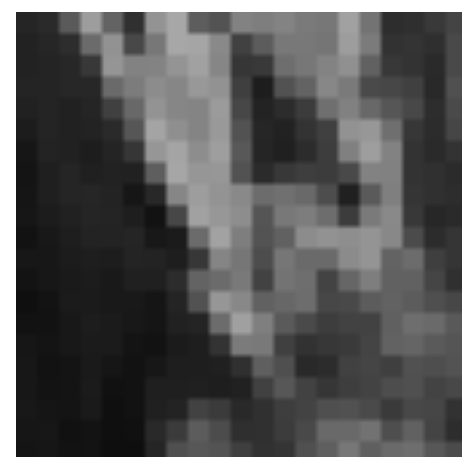
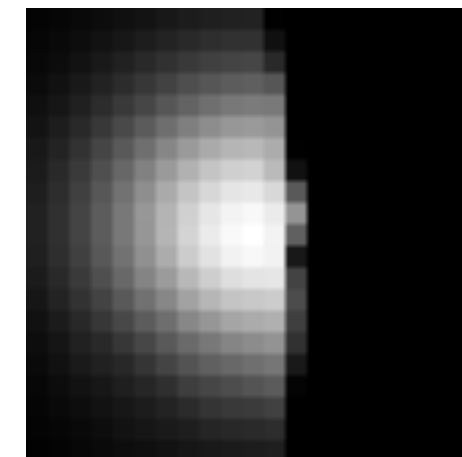
entrée



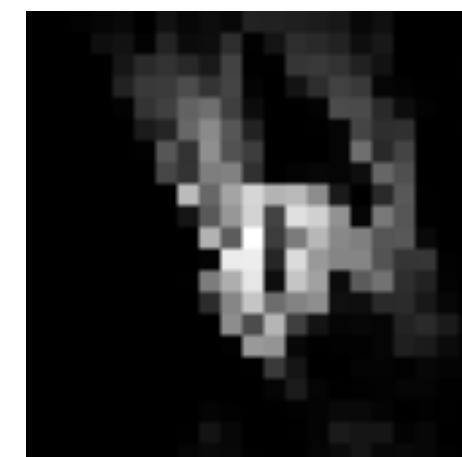
\*



\*



\*



sortie

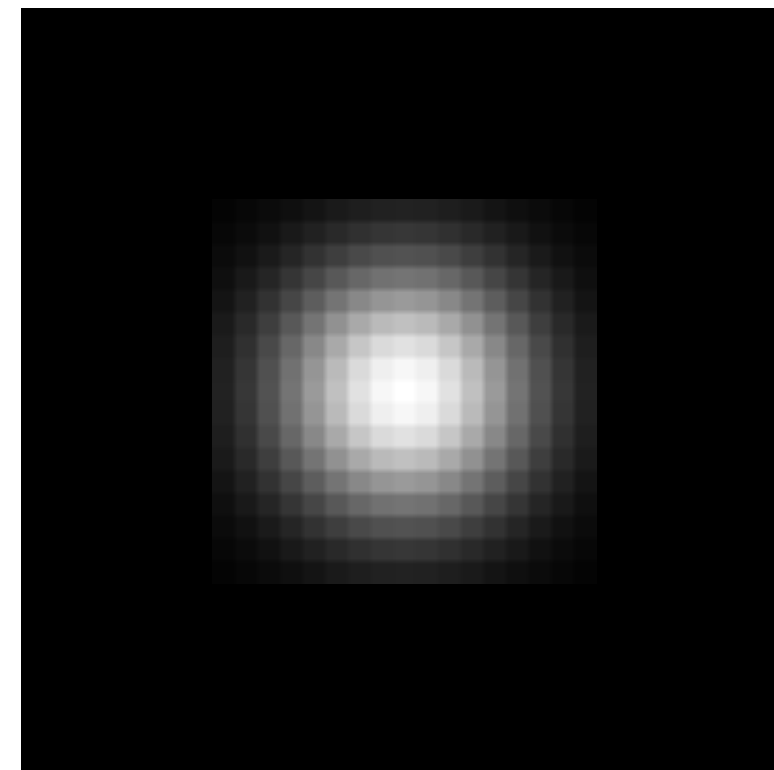


Le noyau gaussien est adapté en fonction du contenu de l'image

# Filtre gaussien

$$F[I]_{\mathbf{p}} = \sum_{\mathbf{q} \in \mathcal{S}} G_{\sigma_s}(\|\mathbf{p} - \mathbf{q}\|)$$

pondération spatiale



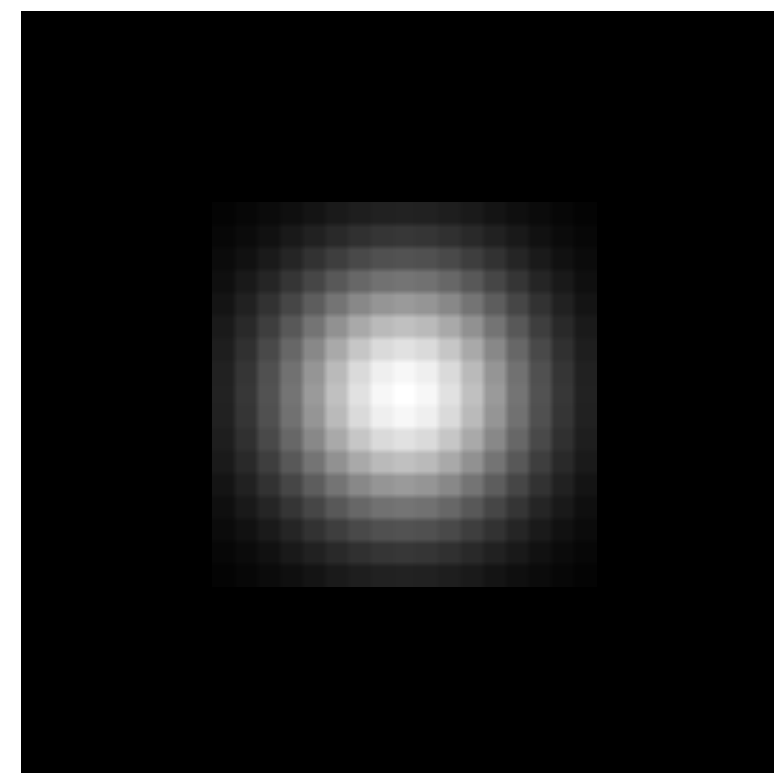
# Filtre bilatéral : deux filtres gaussiens!

mais pas sur le même domaine!

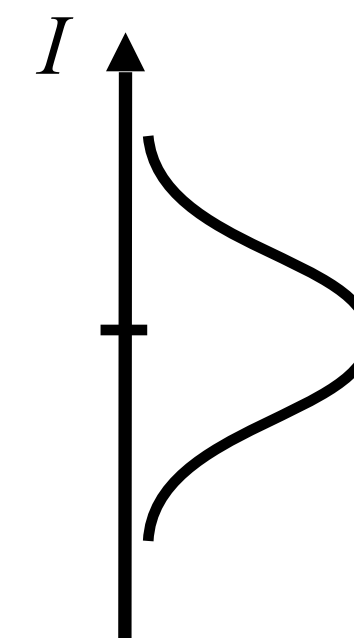
$$F[I]_{\mathbf{p}} = \frac{1}{W_{\mathbf{p}}} \sum_{\mathbf{q} \in S} G_{\sigma_s}(\|\mathbf{p} - \mathbf{q}\|) G_{\sigma_r}(|I_{\mathbf{p}} - I_{\mathbf{q}}|) I_{\mathbf{q}}$$

normalisation

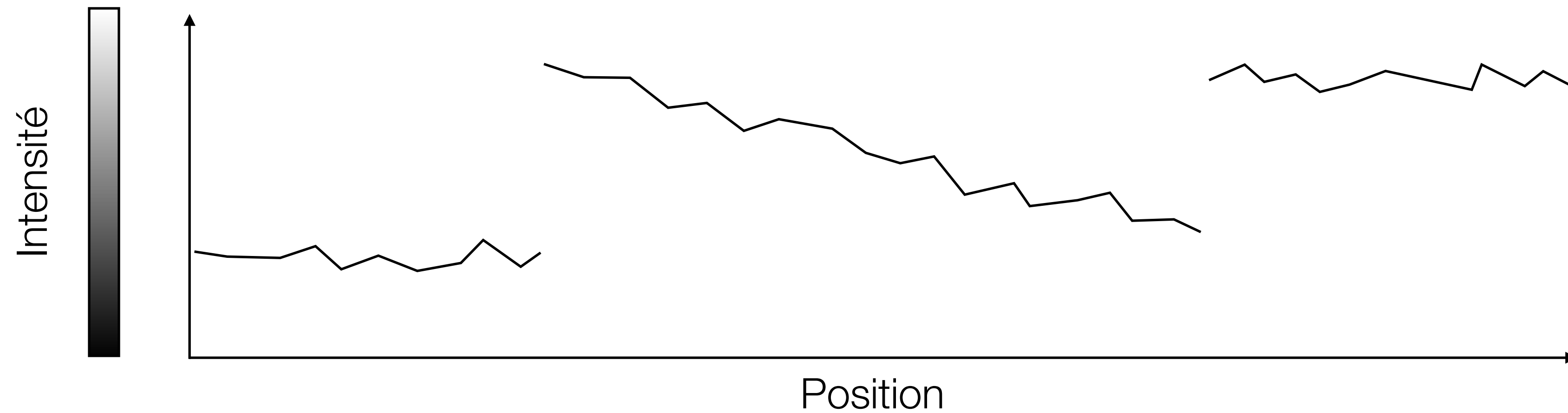
pondération spatiale



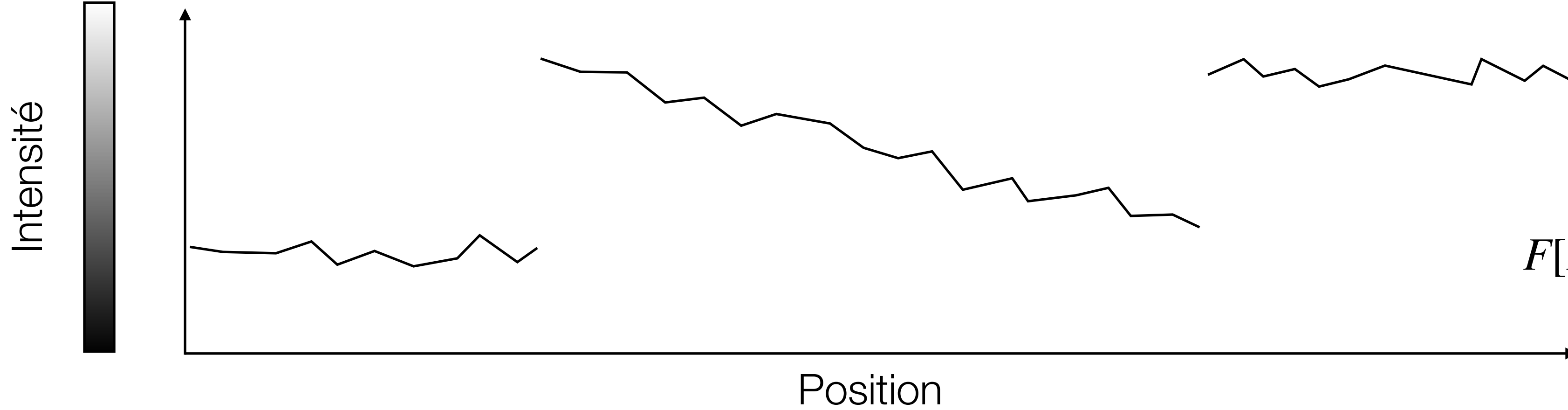
pondération en intensité



# Illustration : image 1-D



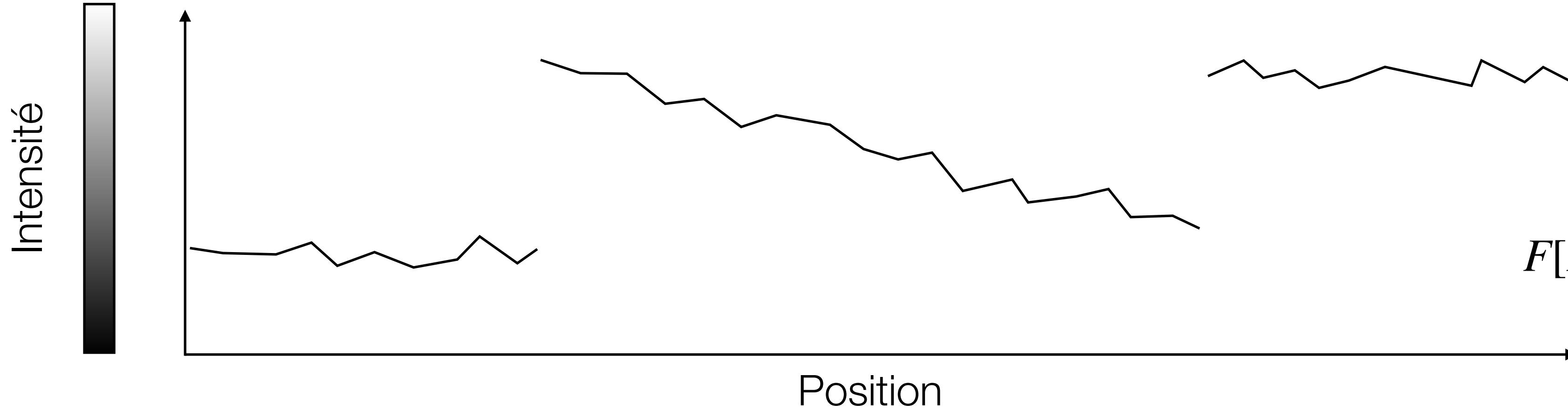
# Illustration : image 1-D



$$F[I]_{\mathbf{p}} = \sum_{\mathbf{q} \in \mathcal{S}} G_{\sigma_s}(\|\mathbf{p} - \mathbf{q}\|) \text{ Espace}$$

# Illustration : image 1-D

Est-ce que c'est linéaire?

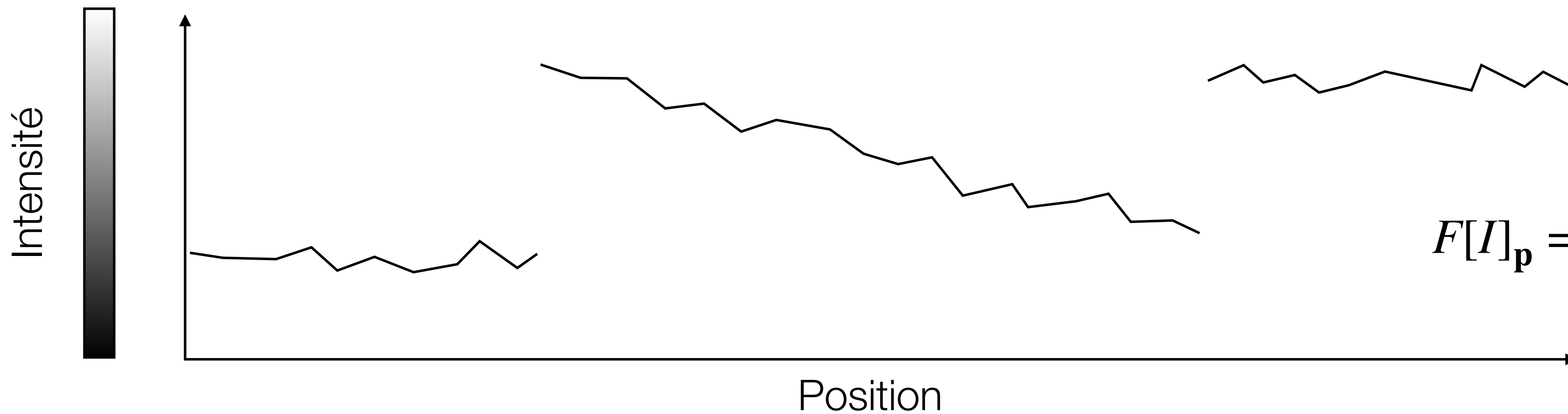


$$F[I]_{\mathbf{p}} = \sum_{\mathbf{q} \in \mathcal{S}} G_{\sigma_s}(\|\mathbf{p} - \mathbf{q}\|)$$

Espace

Filtre gaussien

Filtre bilatéral



$$F[I]_{\mathbf{p}} = \frac{1}{W_{\mathbf{p}}} \sum_{\mathbf{q} \in \mathcal{S}} G_{\sigma_s}(\|\mathbf{p} - \mathbf{q}\|) G_{\sigma_r}(|I_{\mathbf{p}} - I_{\mathbf{q}}|) I_{\mathbf{q}}$$

Espace      Intensité



$\sigma_s = 2$

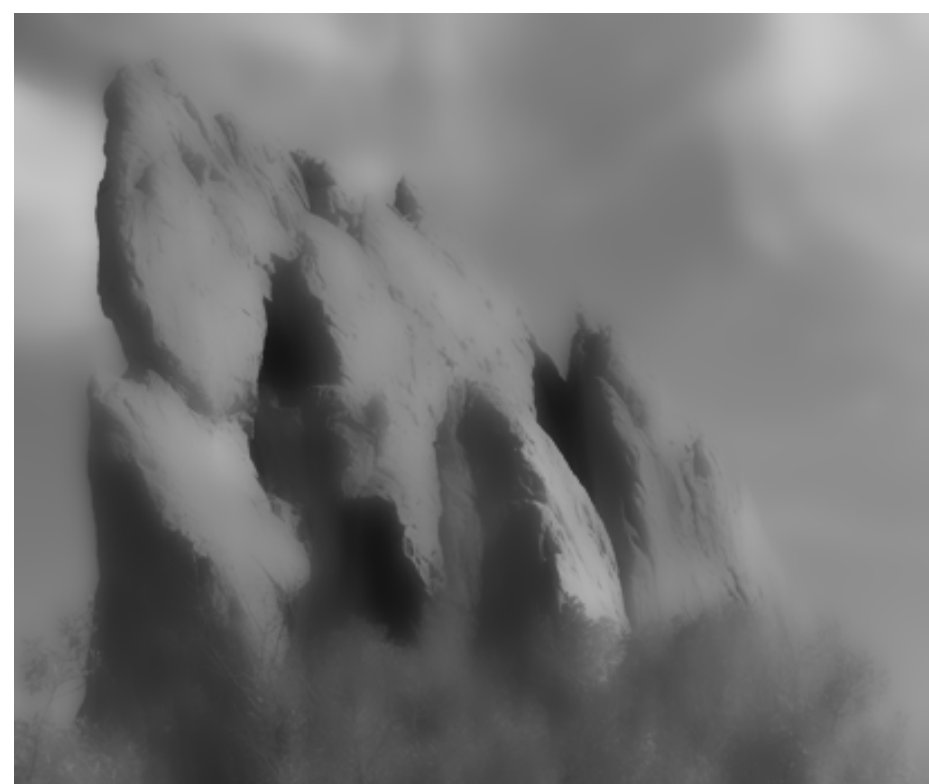
$\sigma_r = 0.1$

$\sigma_r = 0.25$

$\sigma_r = \infty$   
(filtre gaussien)



$\sigma_s = 6$



$\sigma_s = 18$

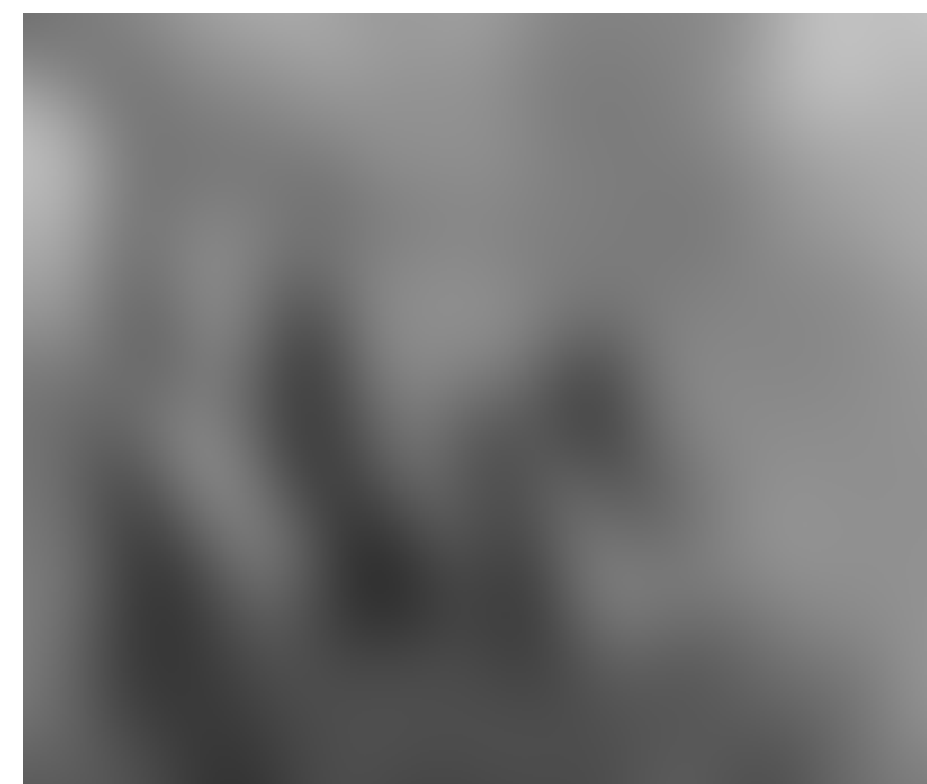
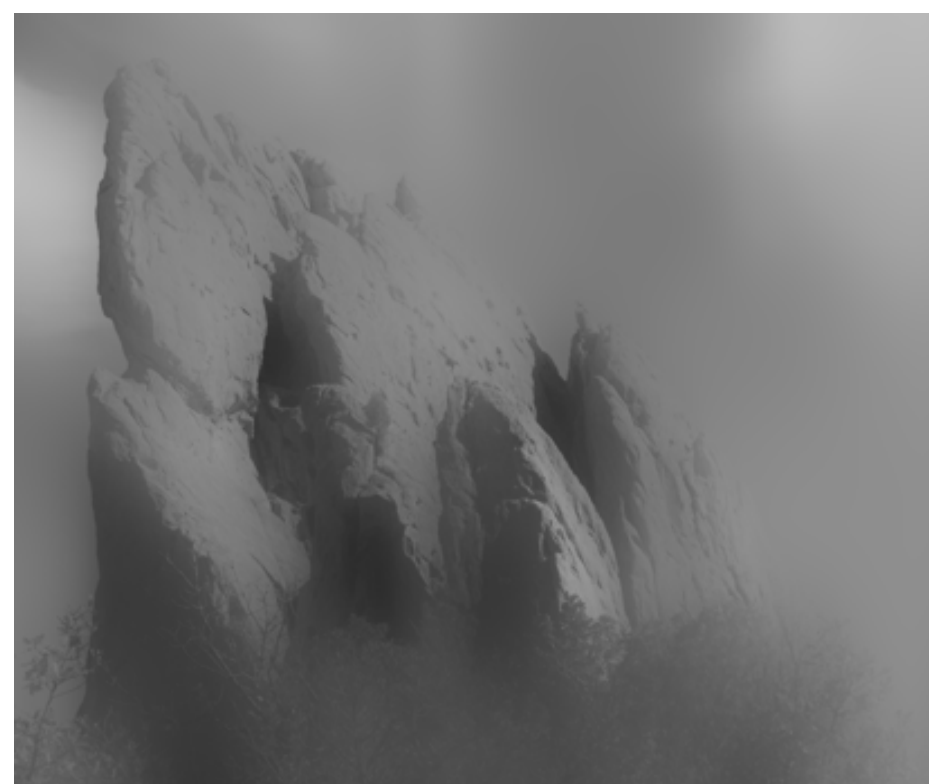


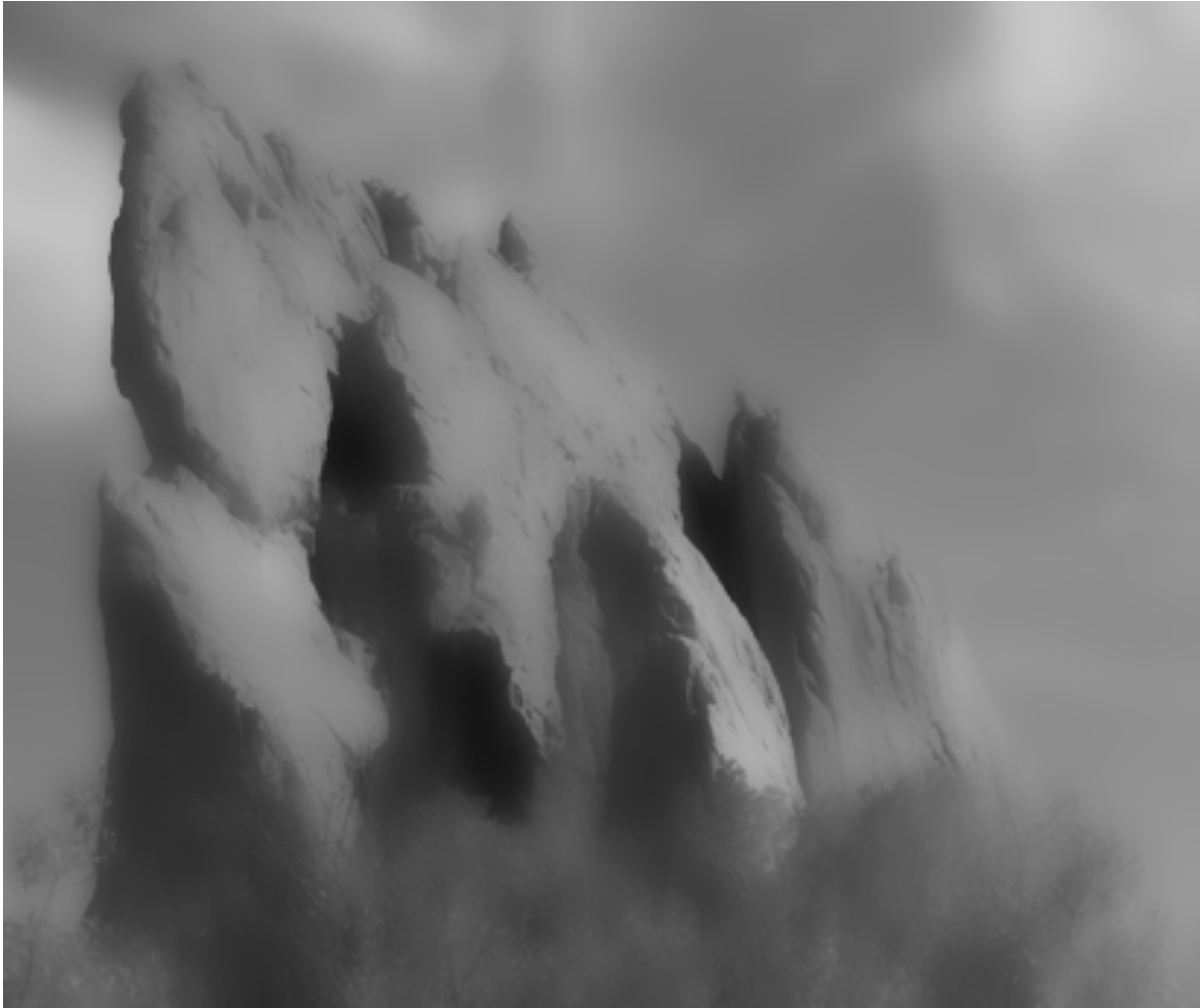
image originale



$$\sigma_r = 0.1$$



$$\sigma_r = 0.25$$



$\sigma_r = \infty$   
(filtre gaussien)

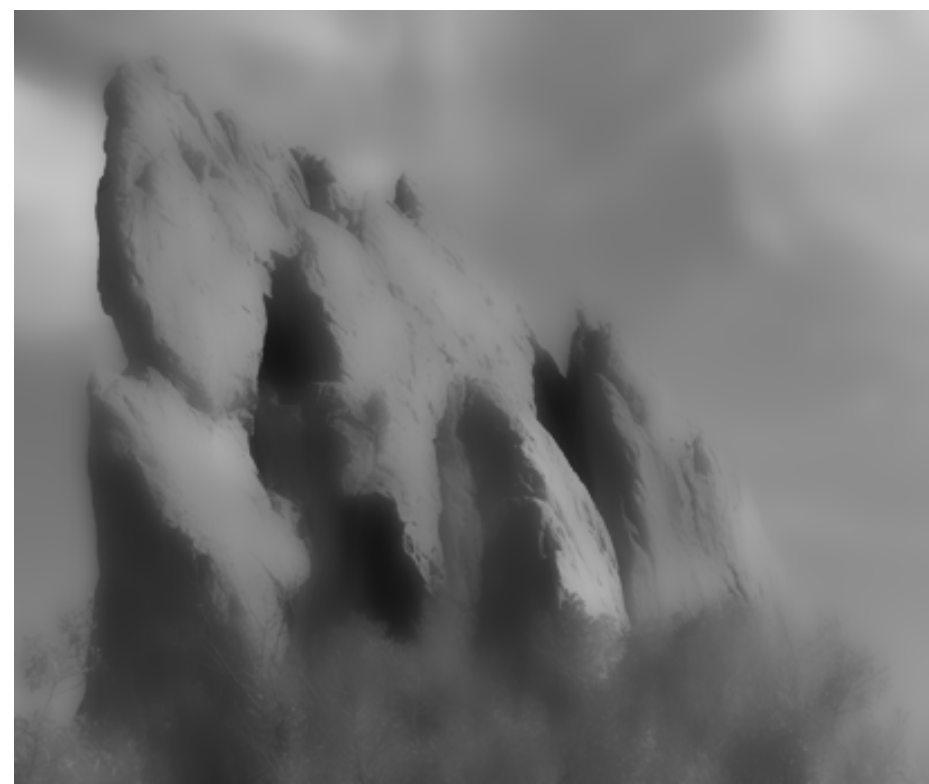




$$\sigma_s = 2$$



$$\sigma_s = 6$$



$$\sigma_s = 18$$

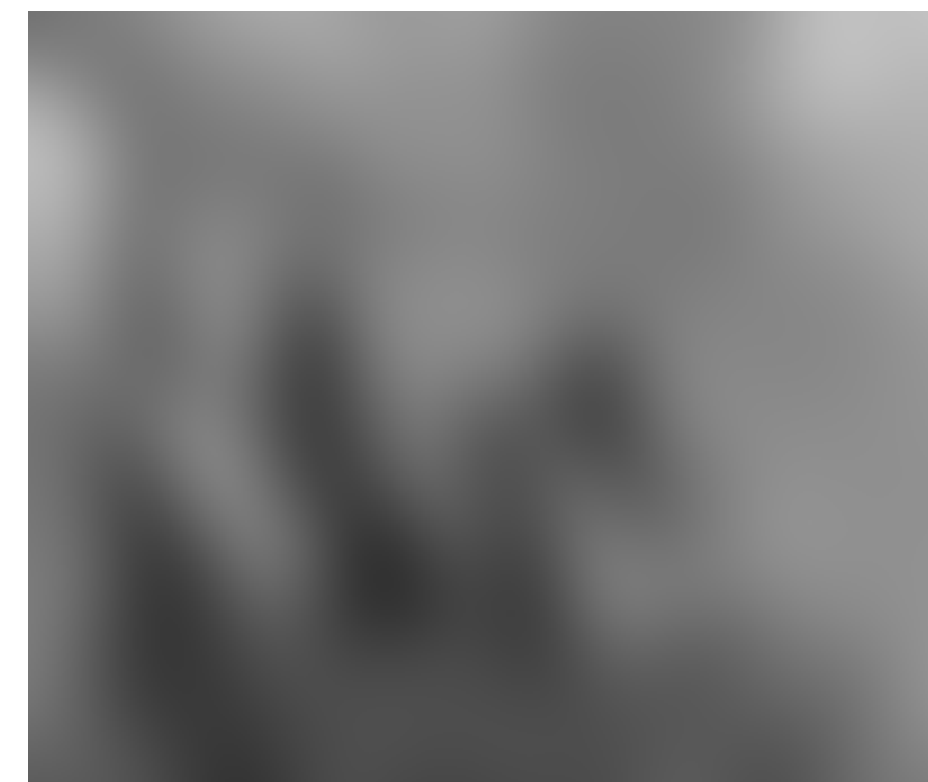
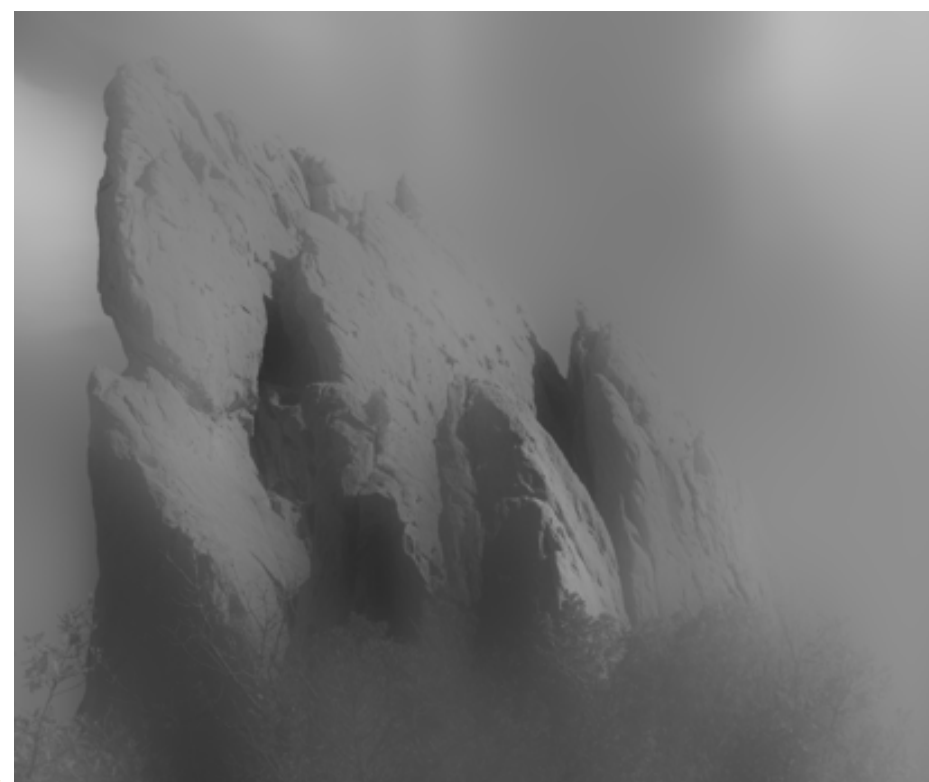


image originale



$$\sigma_s = 2$$



$$\sigma_s = 6$$



$$\sigma_s = 18$$



# En python

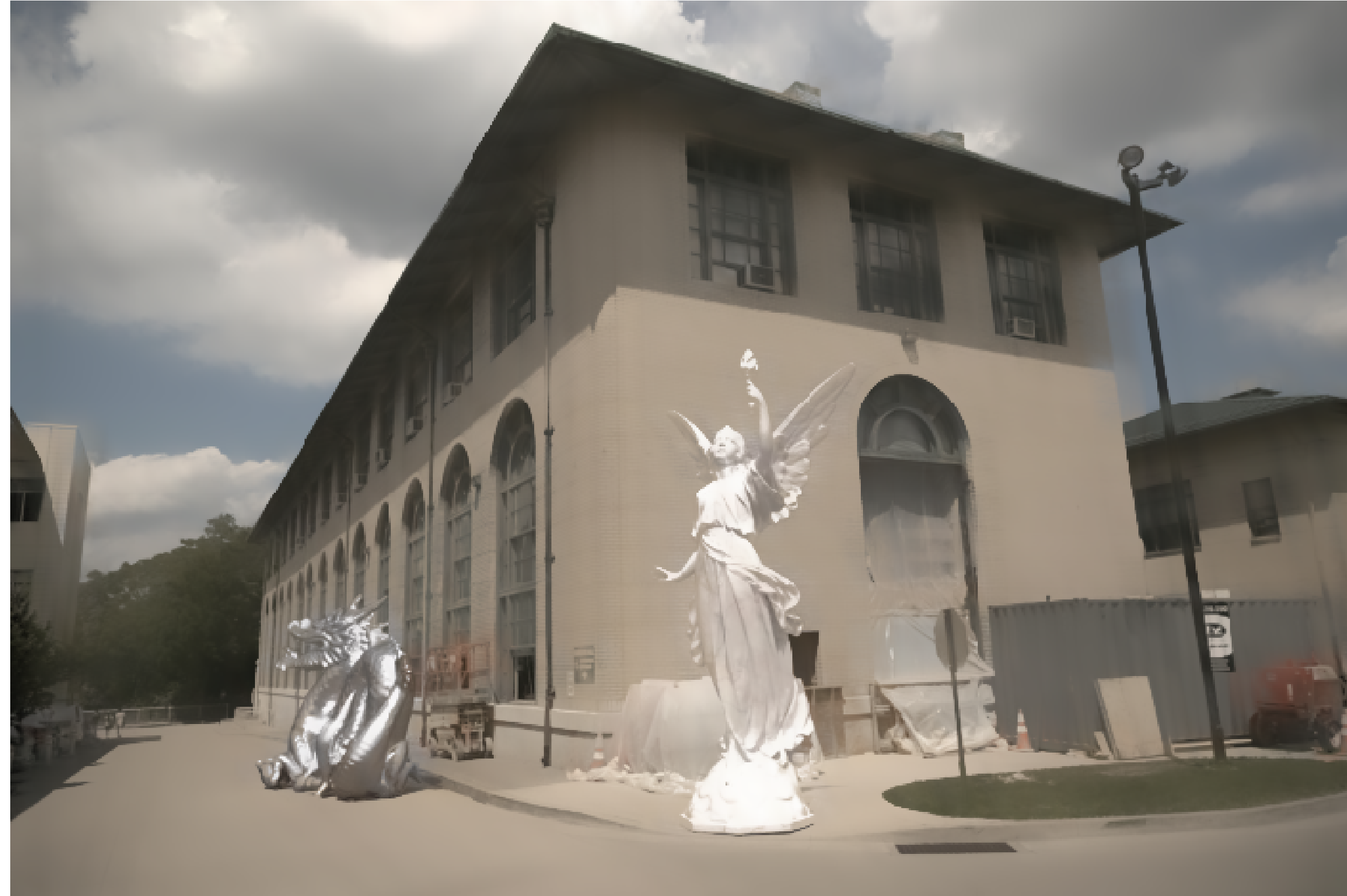
```
from skimage.restoration import denoise_bilateral
imgf = denoise_bilateral(img, \
    sigma_spatial=5, \
    sigma_color=0.05, \
    multichannel=True)
```

## Attention

Ceci peut être long (surtout si  
sigma\_spatial est gros)

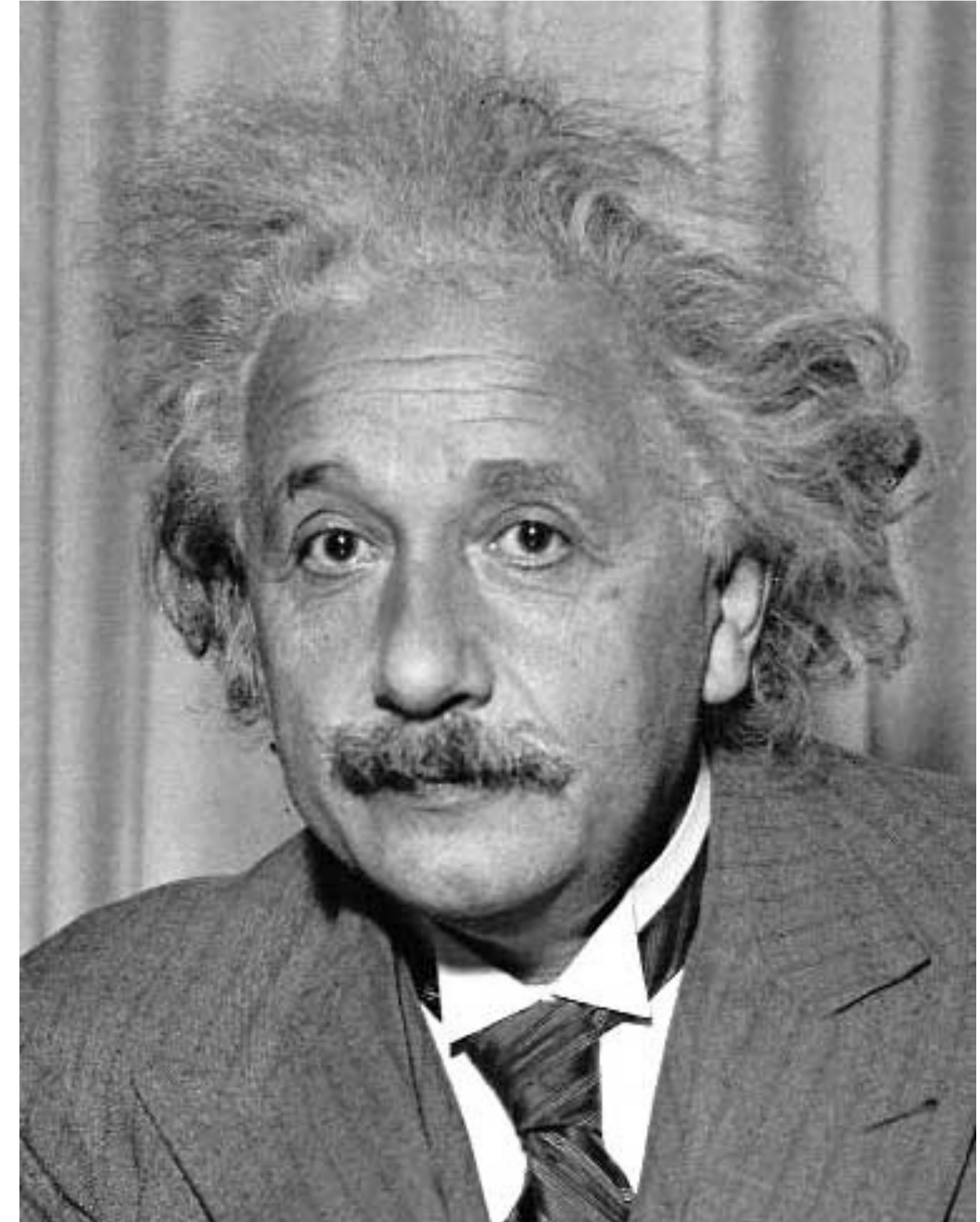
Image originale

Filtre bilatéral (sigma\_s=5, sigma\_r=0.05)



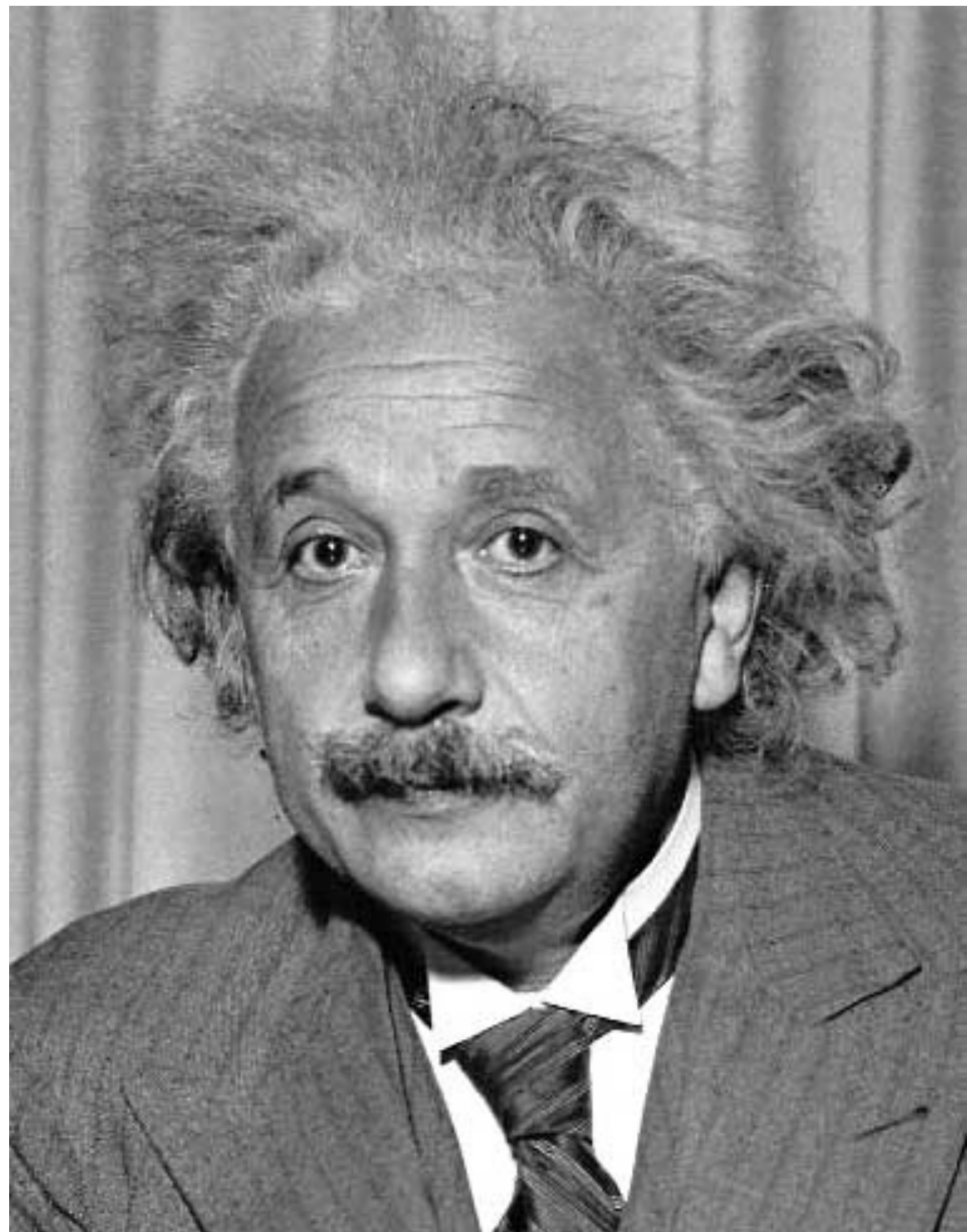
# Correspondance de modèles (*template matching*)

- But : trouver  dans l'image
- Défi : Comment devrait-on comparer le modèle avec l'image?



# Filtrer pour trouver les correspondances

- But : trouver  dans l'image  $h(m, n) = \sum_{k, l} g(k, l) f(m + k, n + l)$
- Méthode 0 : filtrer l'image avec l'oeil  $f = \text{image}$   
 $g = \text{filtre (oeil)}$



Image

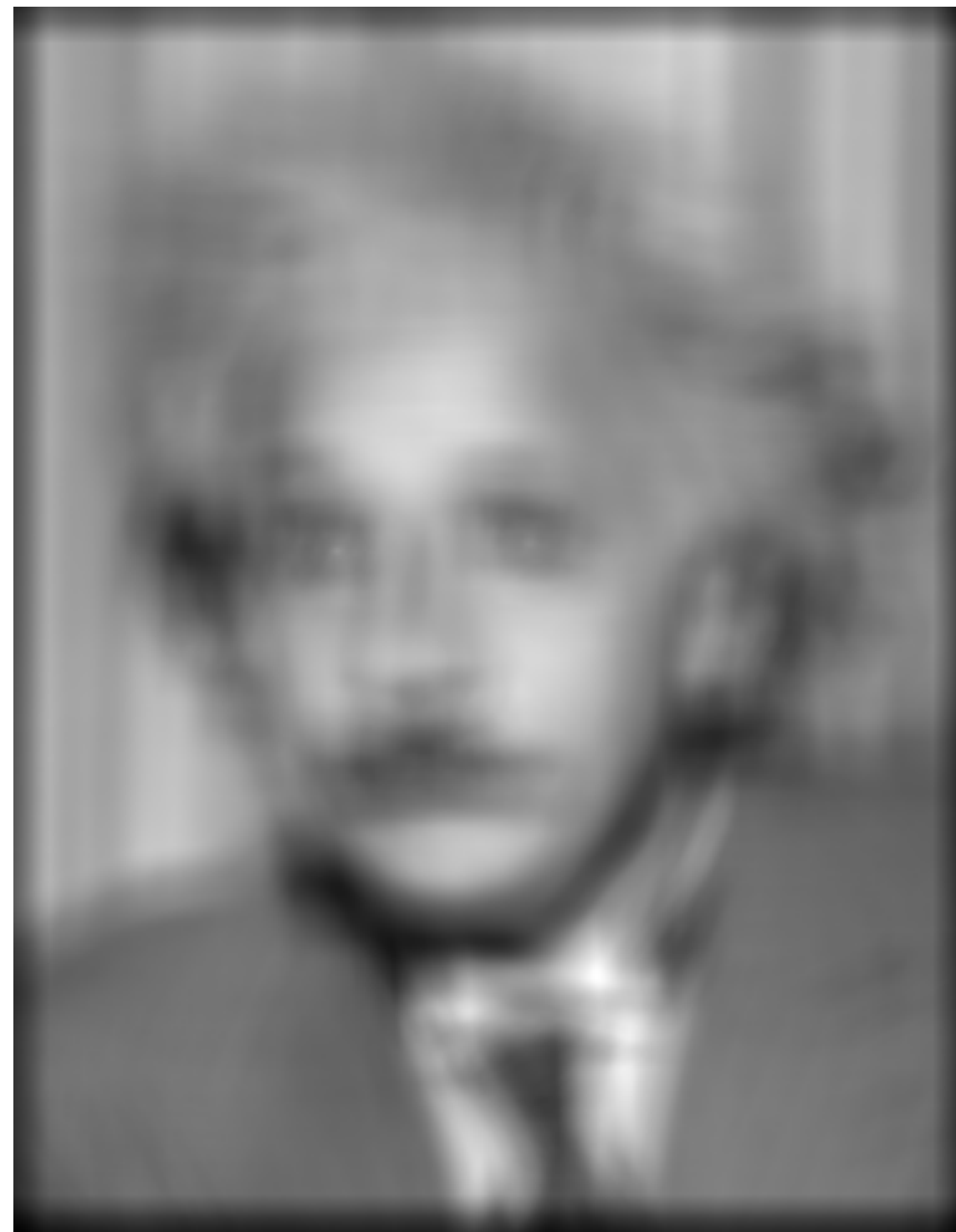
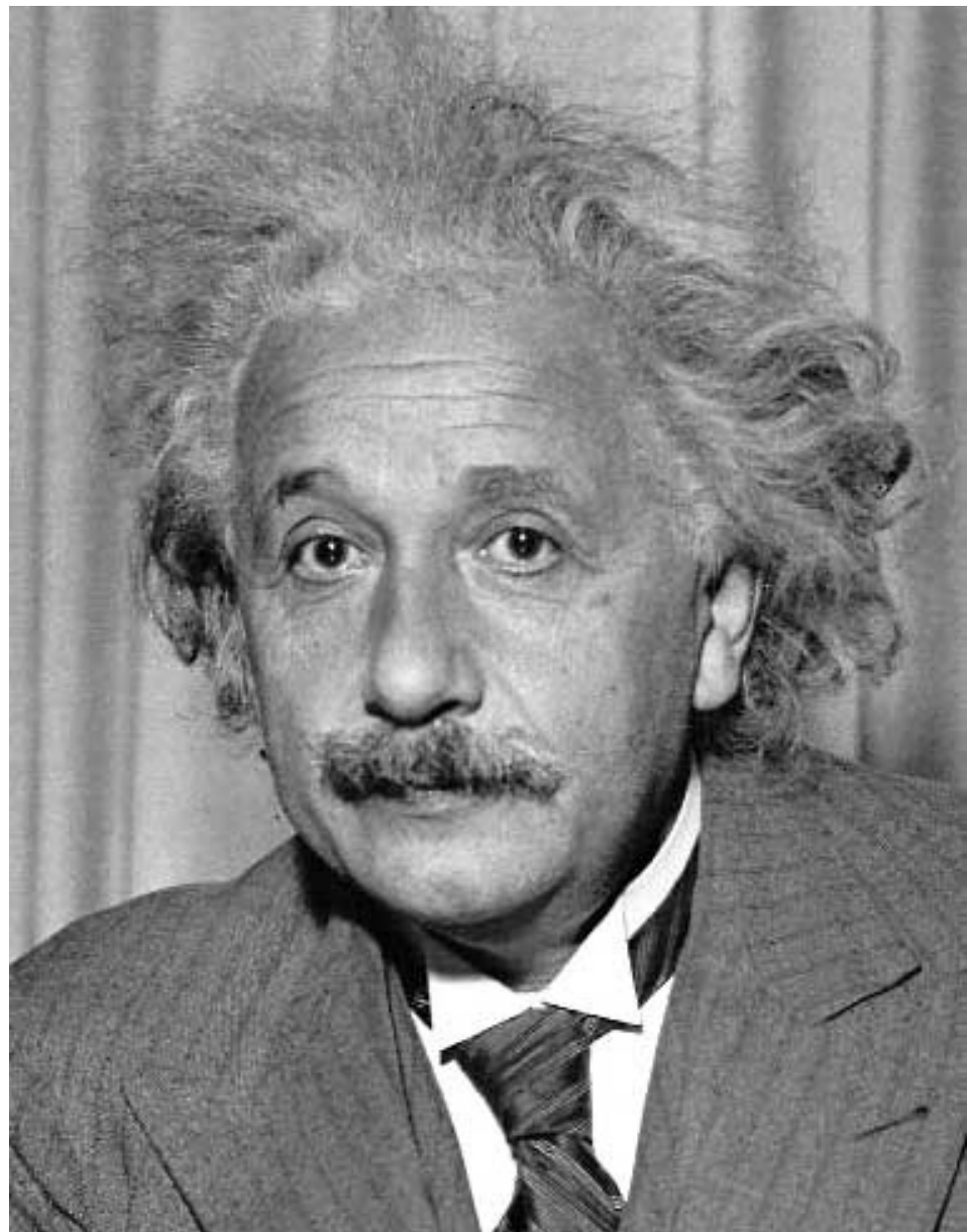


Image filtrée

Qu'est-ce qui  
se passe?

# Filtrer pour trouver les correspondances

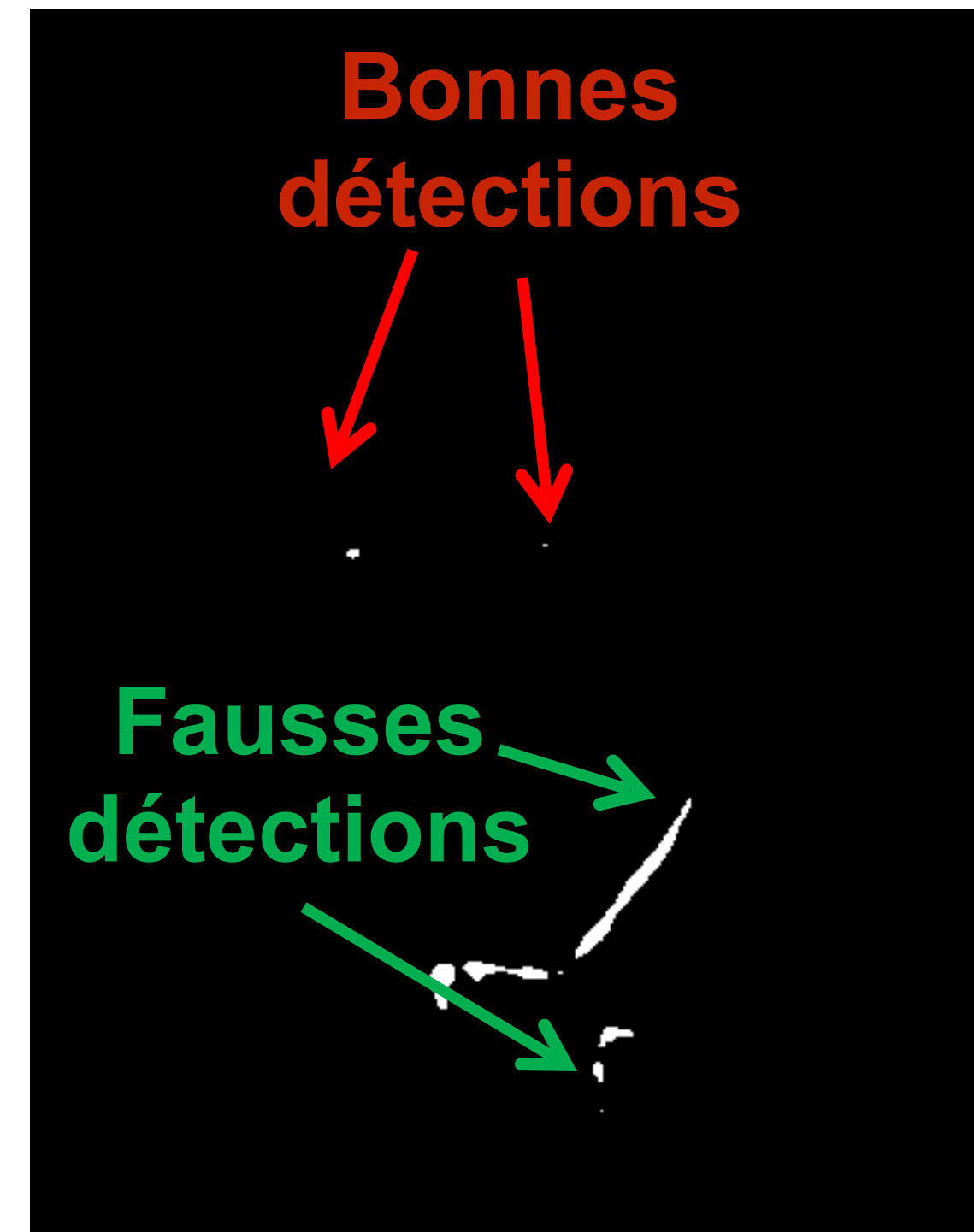
- But : trouver  dans l'image
  - Méthode 1 : normaliser le filtre par sa moyenne
- $$h(m, n) = \sum_{k, l} (g(k, l) - \bar{g}) f(m + k, n + l)$$
- ↖ moyenne de g



Image



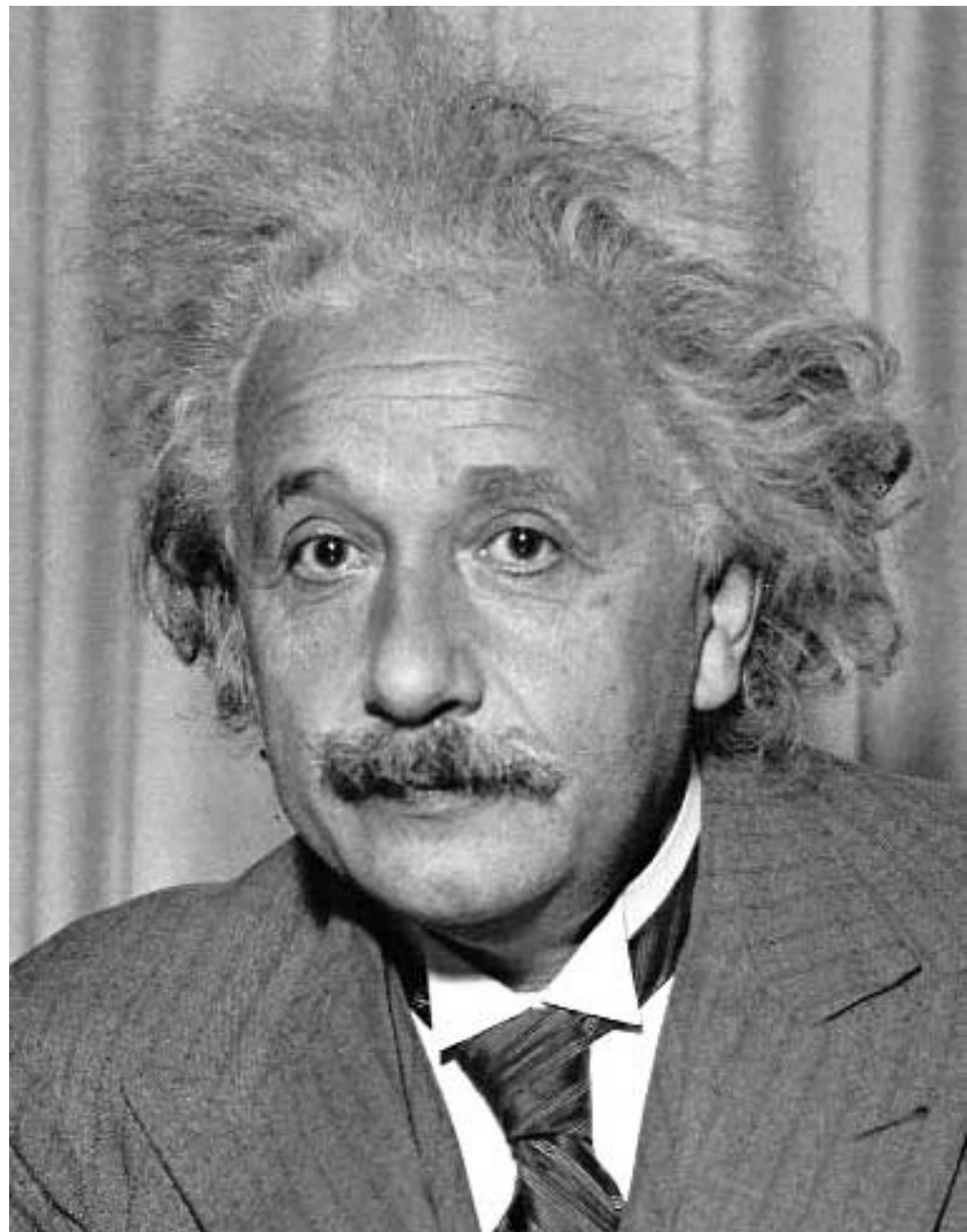
Image filtrée



Seuil

# Filtrer pour trouver les correspondances

- But : trouver  dans l'image  $h(m, n) = \sum_{k,l} (g(k, l) - f(m + k, n + l))^2$
- Méthode 2 : somme des différences au carré (SDC)



Image



1-SDC



Seuil

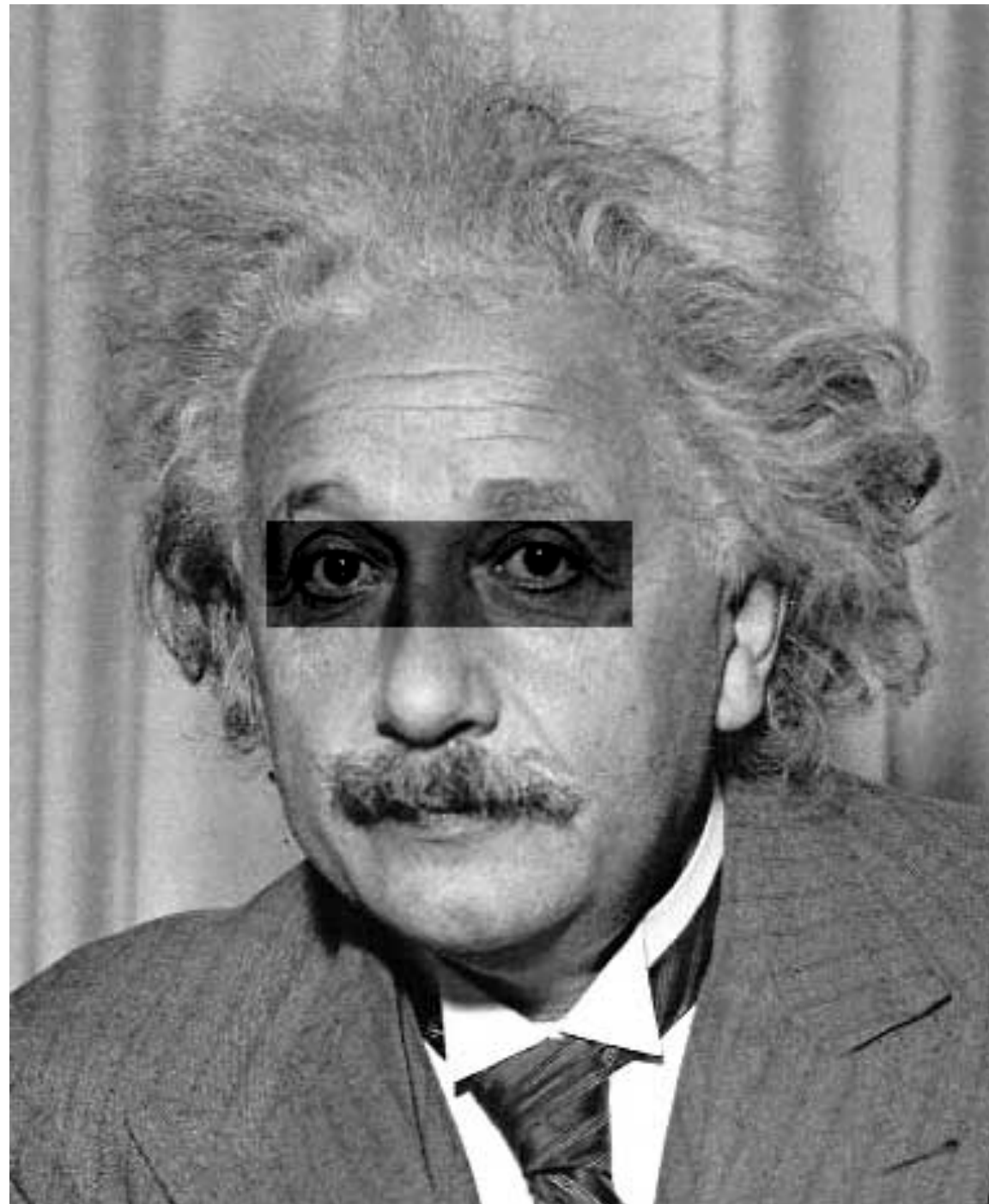
# Filtrer pour trouver les correspondances

Est-ce qu'on peut implémenter la somme des différences au carré avec un (ou des) filtre(s) linéaire(s)?

$$h(m, n) = \sum_{k, l} (g(k, l) - f(m + k, n + l))^2$$

# Filtrer pour trouver les correspondances

- But : trouver  dans l'image  $h(m, n) = \sum_{k,l} (g(k, l) - f(m + k, n + l))^2$
- Méthode 2 : somme des différences au carré



Image



1-SSD

Problème?

# Filtrer pour trouver les correspondances

- But : trouver  dans l'image
- Méthode 3 : corrélation croisée normalisée

$$h(m, n) = \frac{\sum_{k,l} (g(k, l) - \bar{g})(f(m+k, n+l) - \bar{f}_{m,n})}{\sqrt{\sum_{k,l} (g(k, l) - \bar{g})^2 \sum_{k,l} (f(m+k, n+l) - \bar{f}_{m,n})^2}}$$

moyenne du filtre  
↓

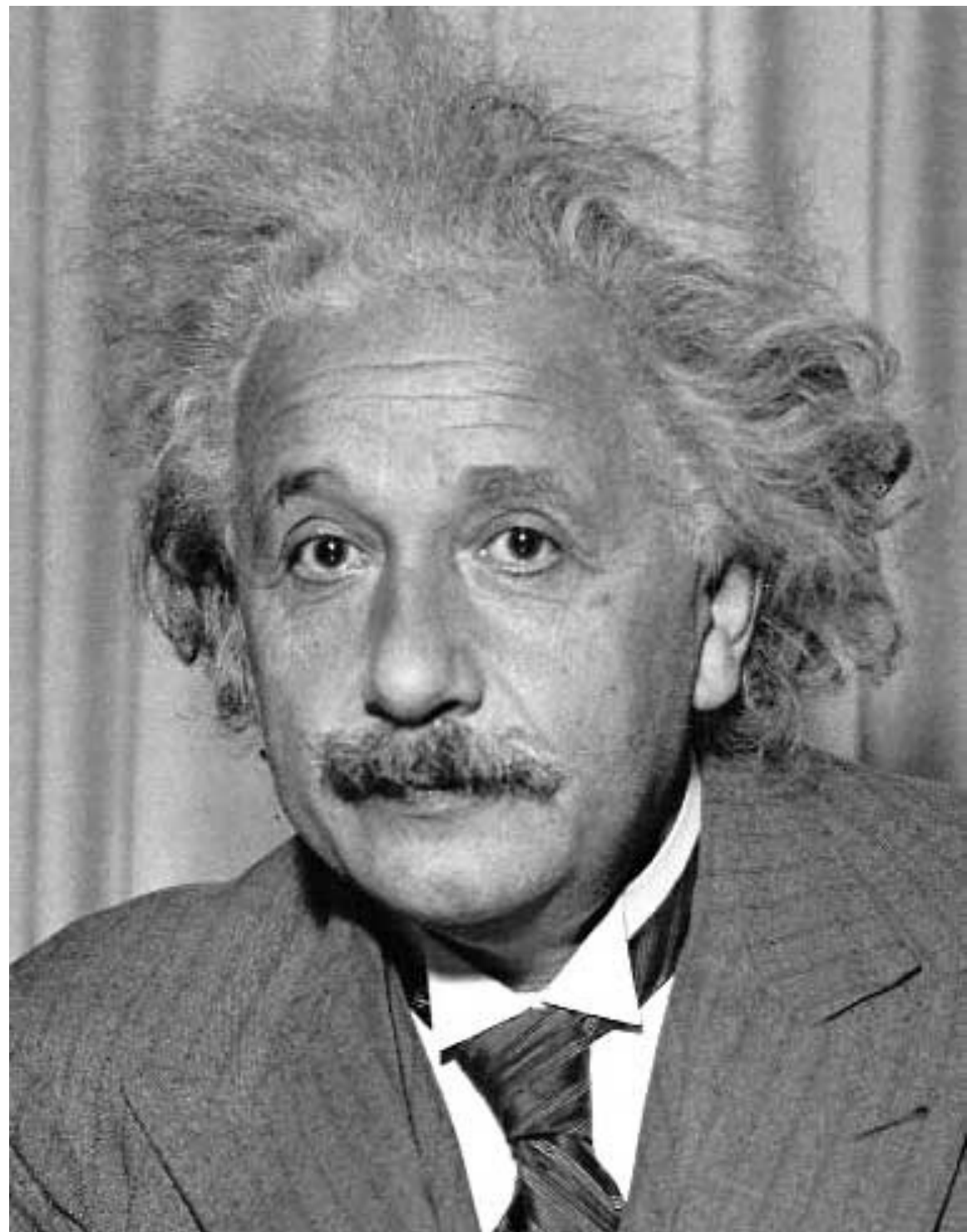
moyenne de la  
partie correspondante dans l'image  
↓

En python (nécessite la version 0.18 de scikit-image) :

```
from skimage.registration import phase_cross_correlation
shift = skimage.registration.phase_cross_correlation(img, filtre)
```

# Filtrer pour trouver les correspondances

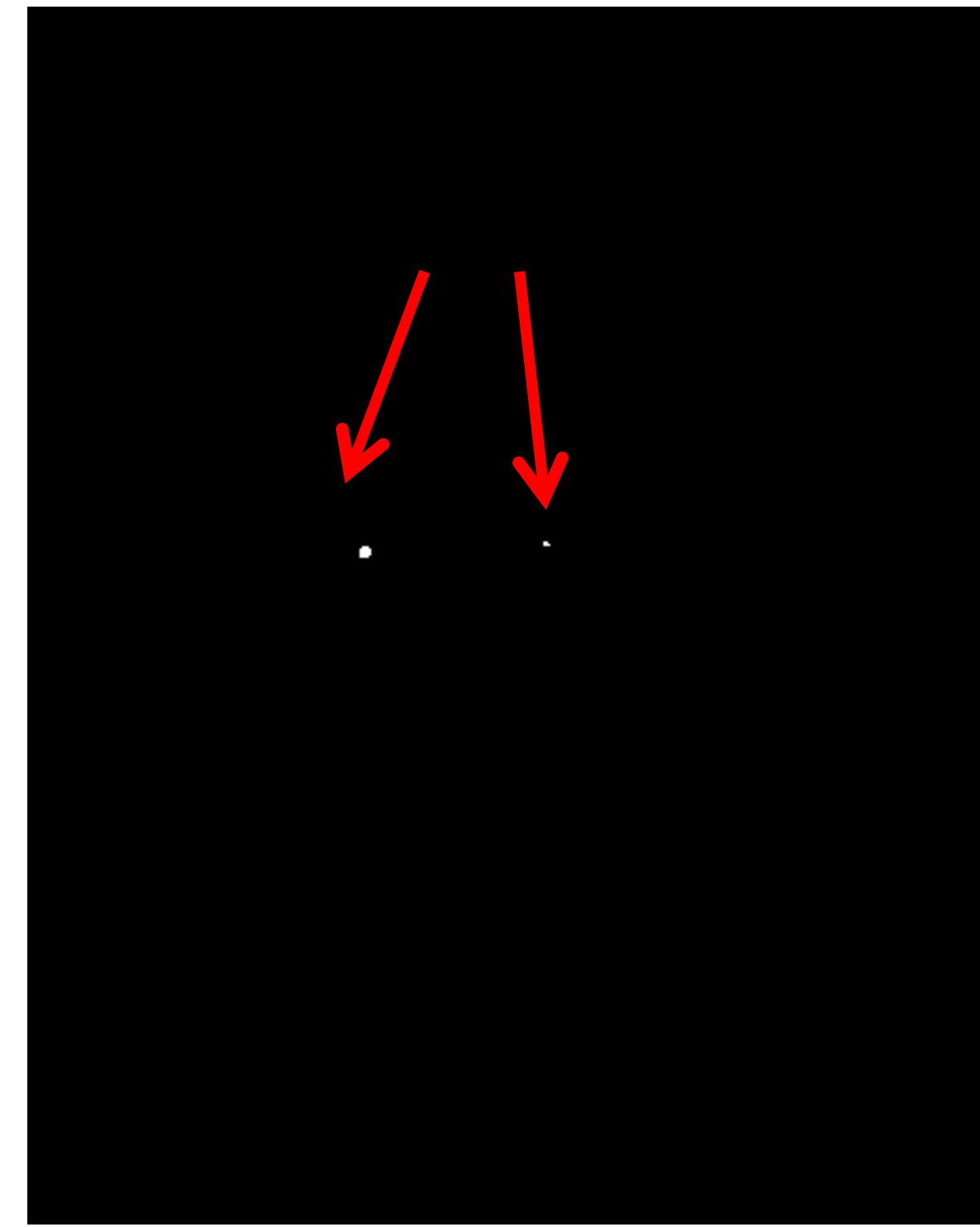
- But : trouver  dans l'image
- Méthode 3 : corrélation croisée normalisée



image



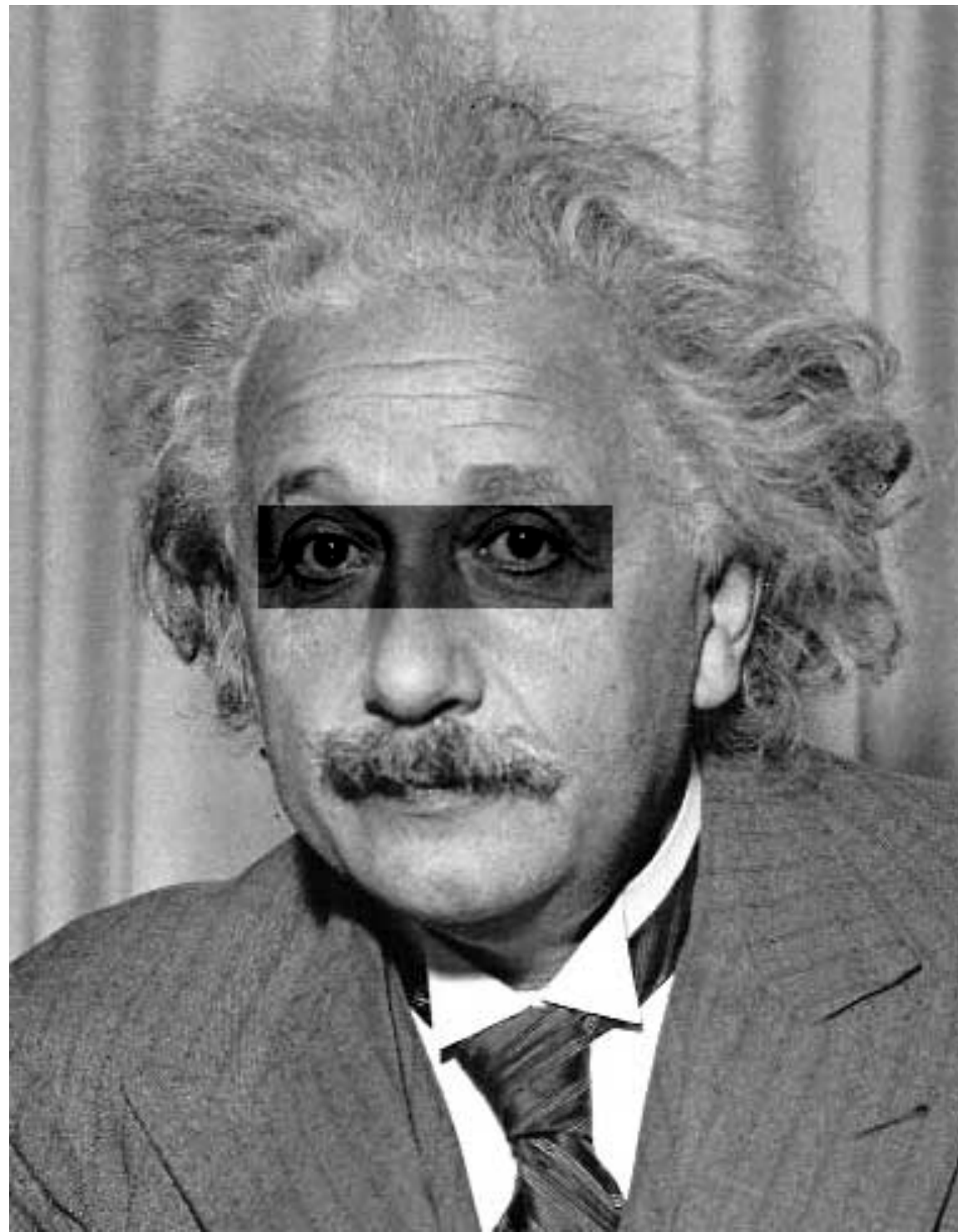
résultat



seuil

# Filtrer pour trouver les correspondances

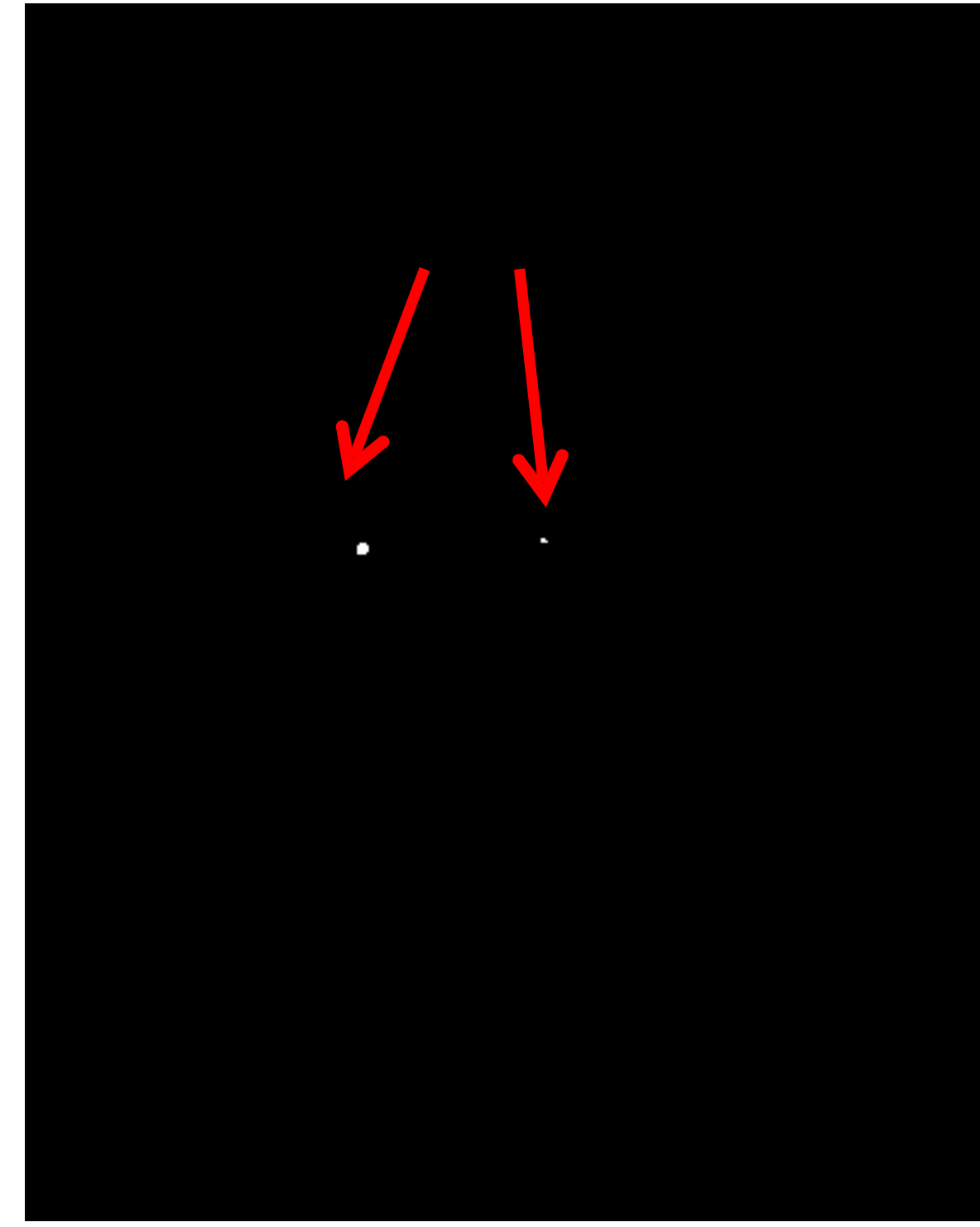
- But : trouver  dans l'image
- Méthode 3 : corrélation croisée normalisée



image



résultat



seuil

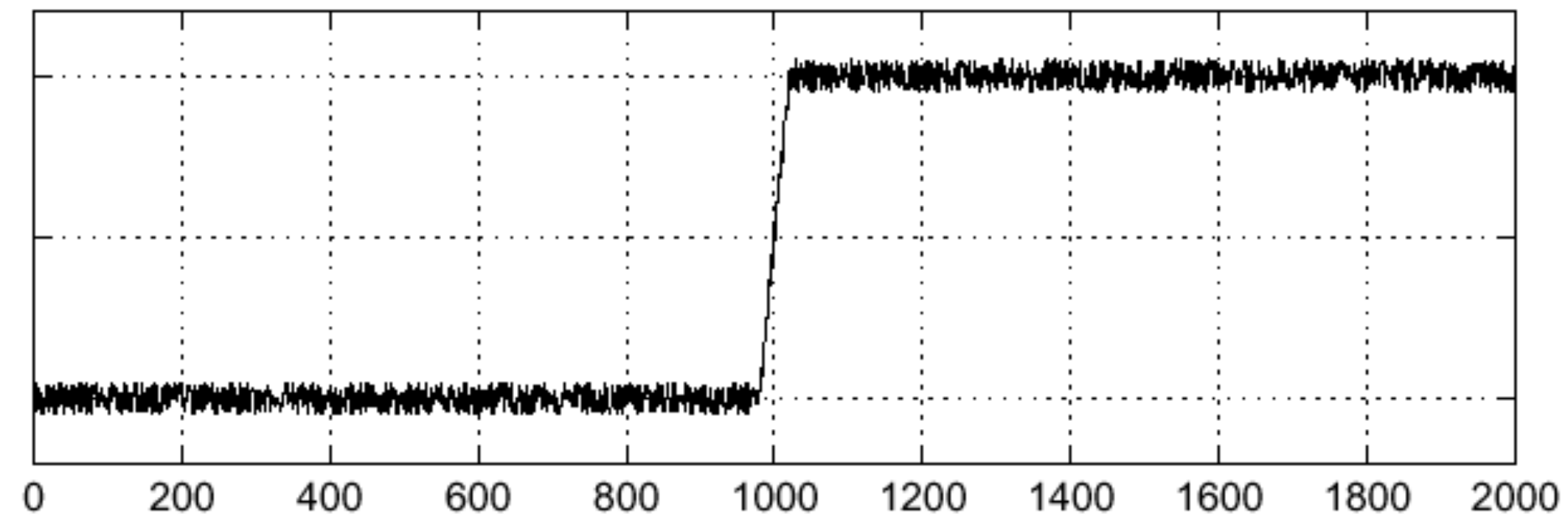
# Quelle est la meilleure méthode?

- Ça dépend!
- Filtre normalisé
  - plus rapide, mais pas très bon
- Somme des différences au carré
  - un peu moins rapide, sensible aux variations d'intensité
- Corrélation croisée-normalisée
  - plus lente, mais robuste aux variations d'intensité

# Détecter une arête

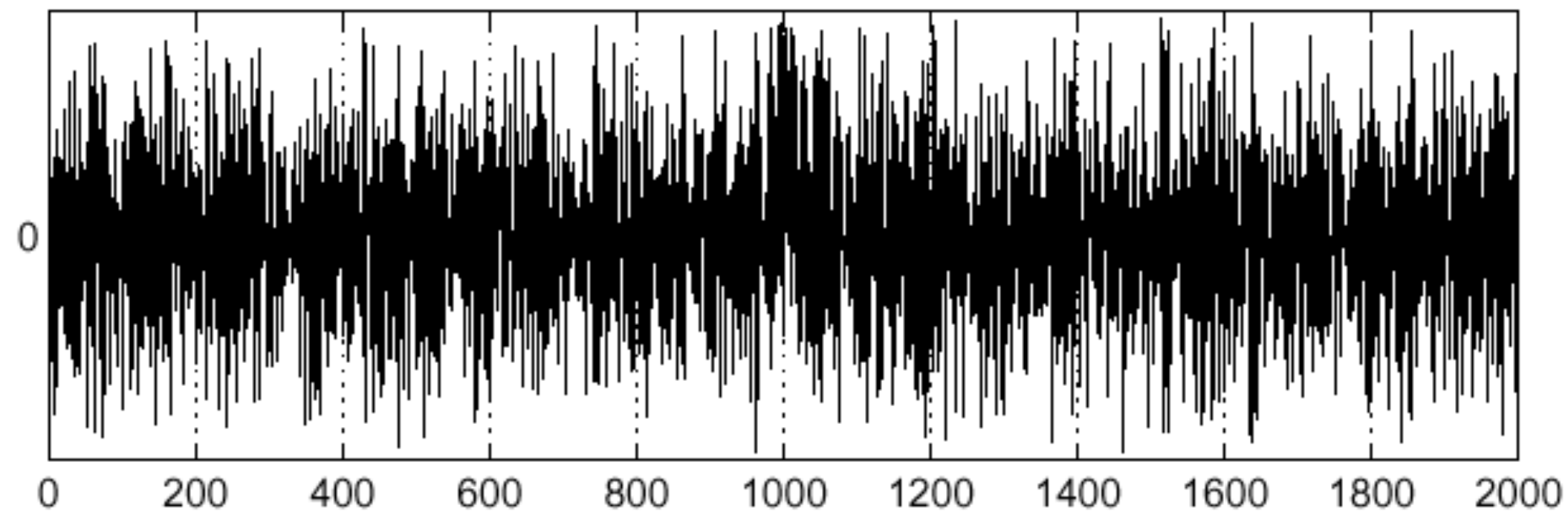
- Analysons une seule ligne dans l'image
- Affiche l'intensité en fonction de la coordonnée en x

$$f(x)$$



Comment calculer le gradient (la dérivée?)

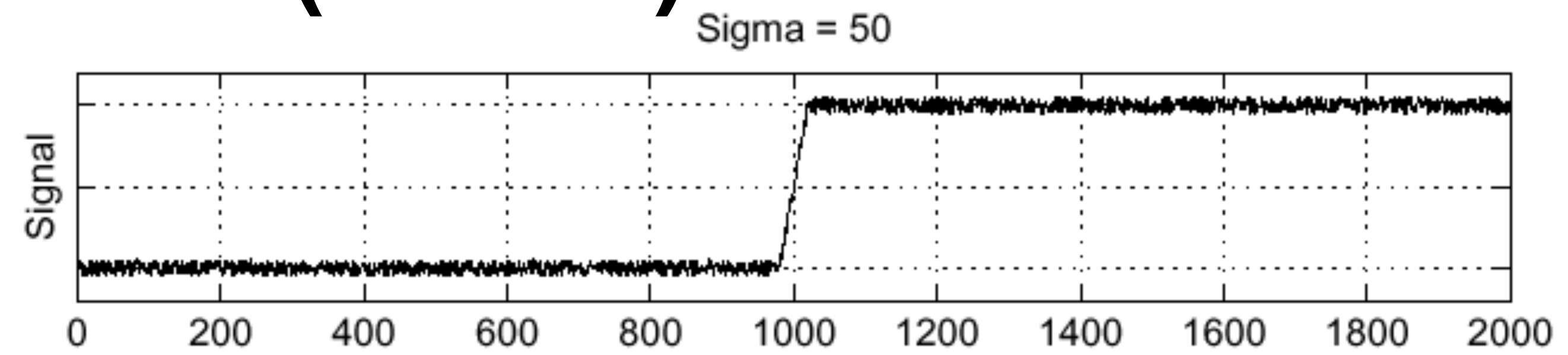
$$\frac{d}{dx}f(x)$$



Où est l'arête?

# Solution: adoucir! (filtrer!)

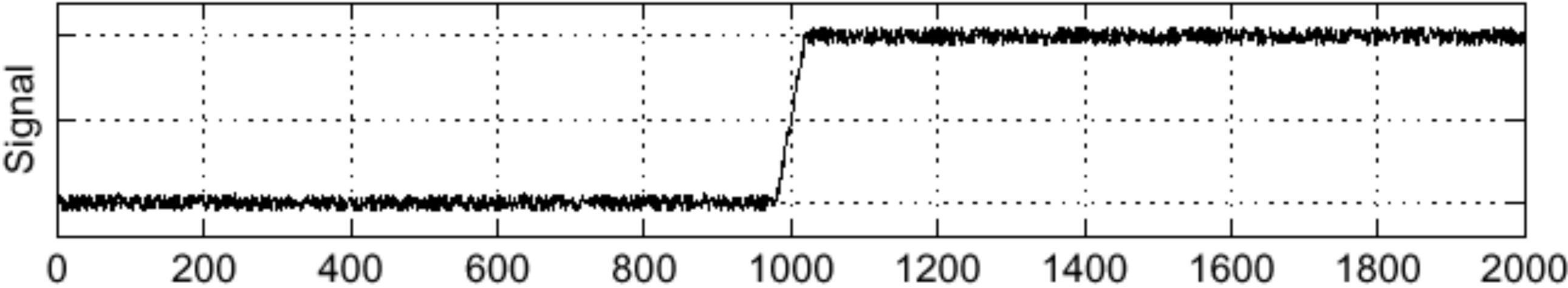
$f$



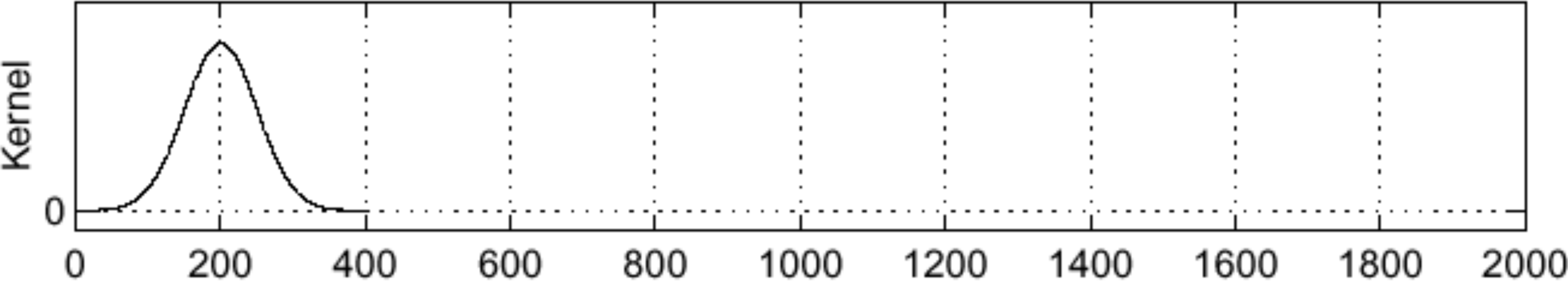
# Solution: adoucir! (filtrer!)

Sigma = 50

$f$



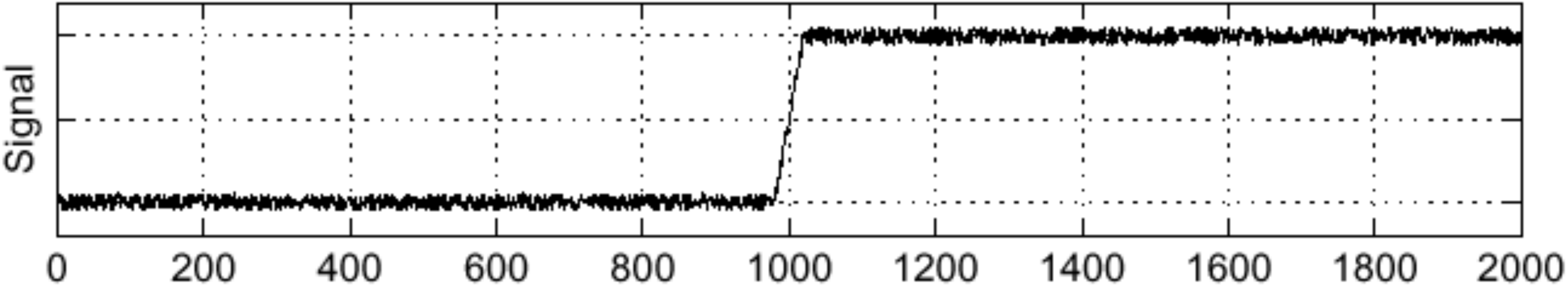
$h$



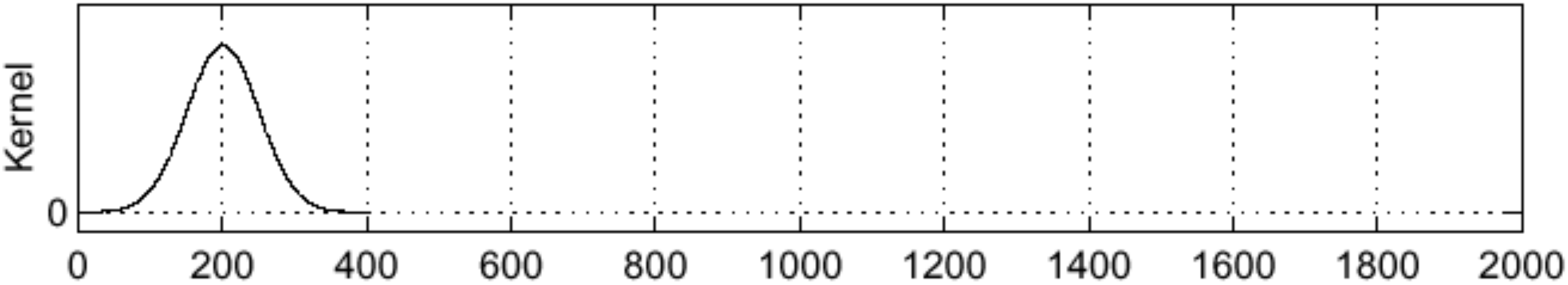
# Solution: adoucir! (filtrer!)

Sigma = 50

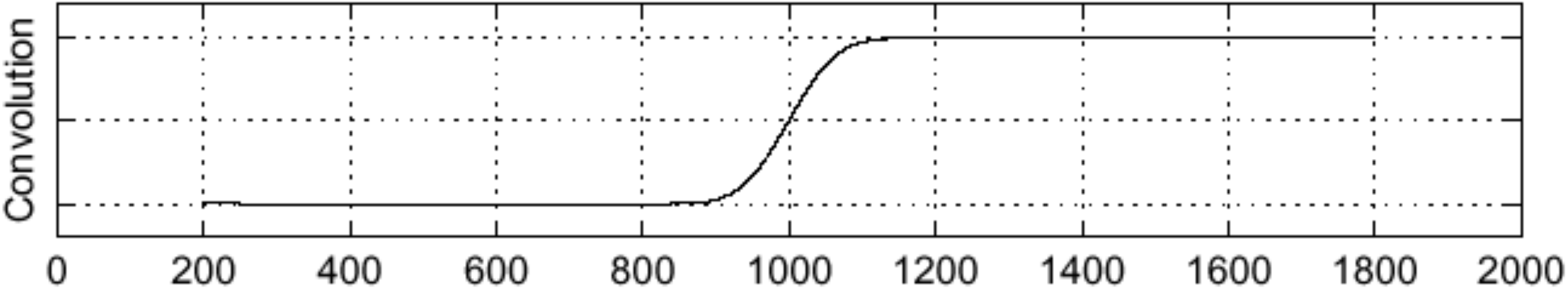
$f$



$h$



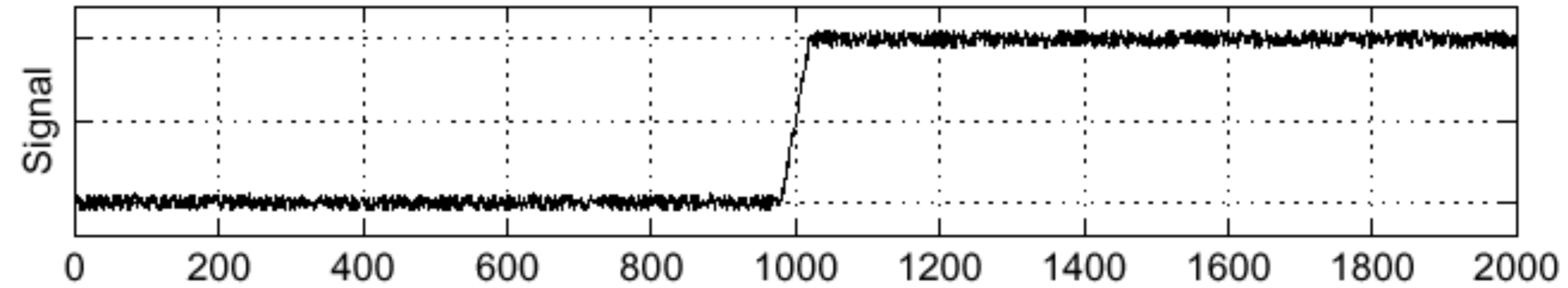
$h \star f$



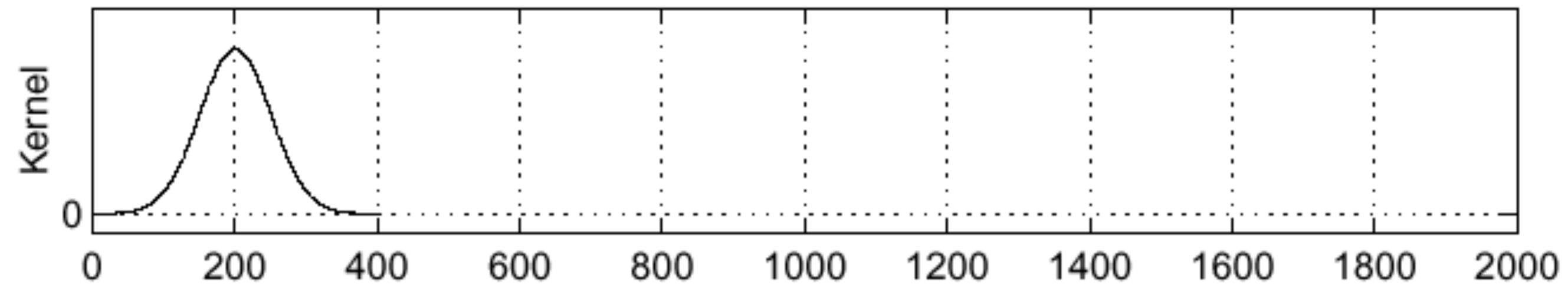
# Solution: adoucir! (filtrer!)

Sigma = 50

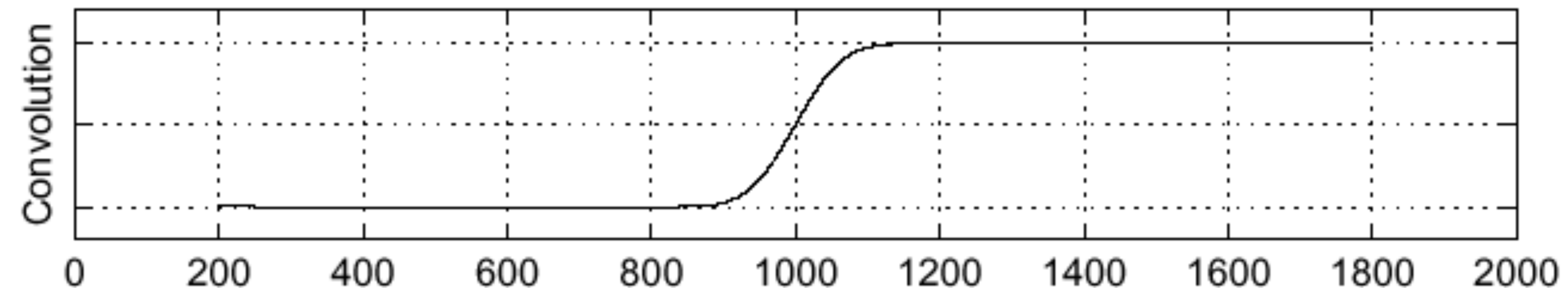
$f$



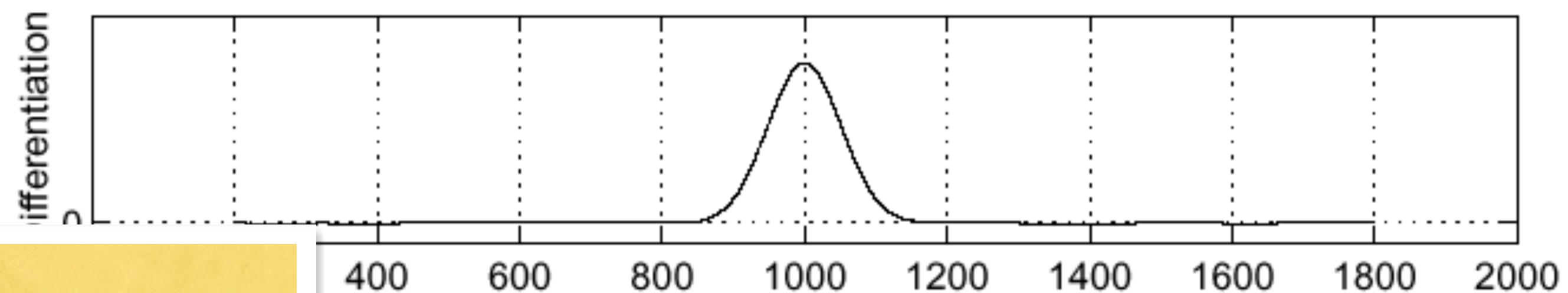
$h$



$h \star f$



$\frac{\partial}{\partial x}(h \star f)$



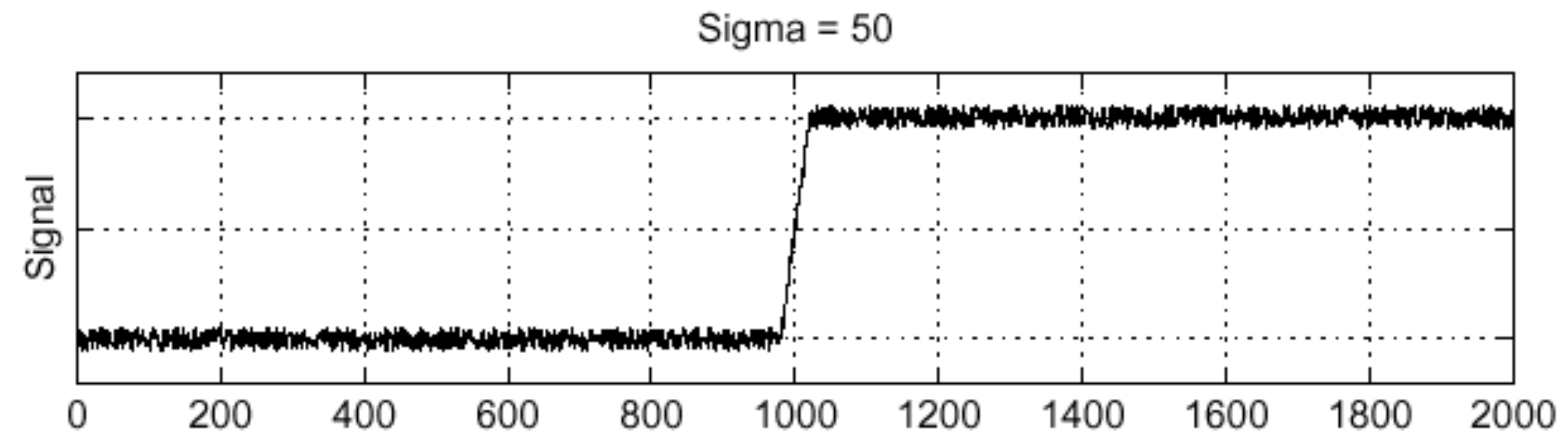
Où est l'arête?

Chercher maximums:  $\frac{\partial}{\partial x}(h \star f)$

# Théorème sur la dérivée de la convolution

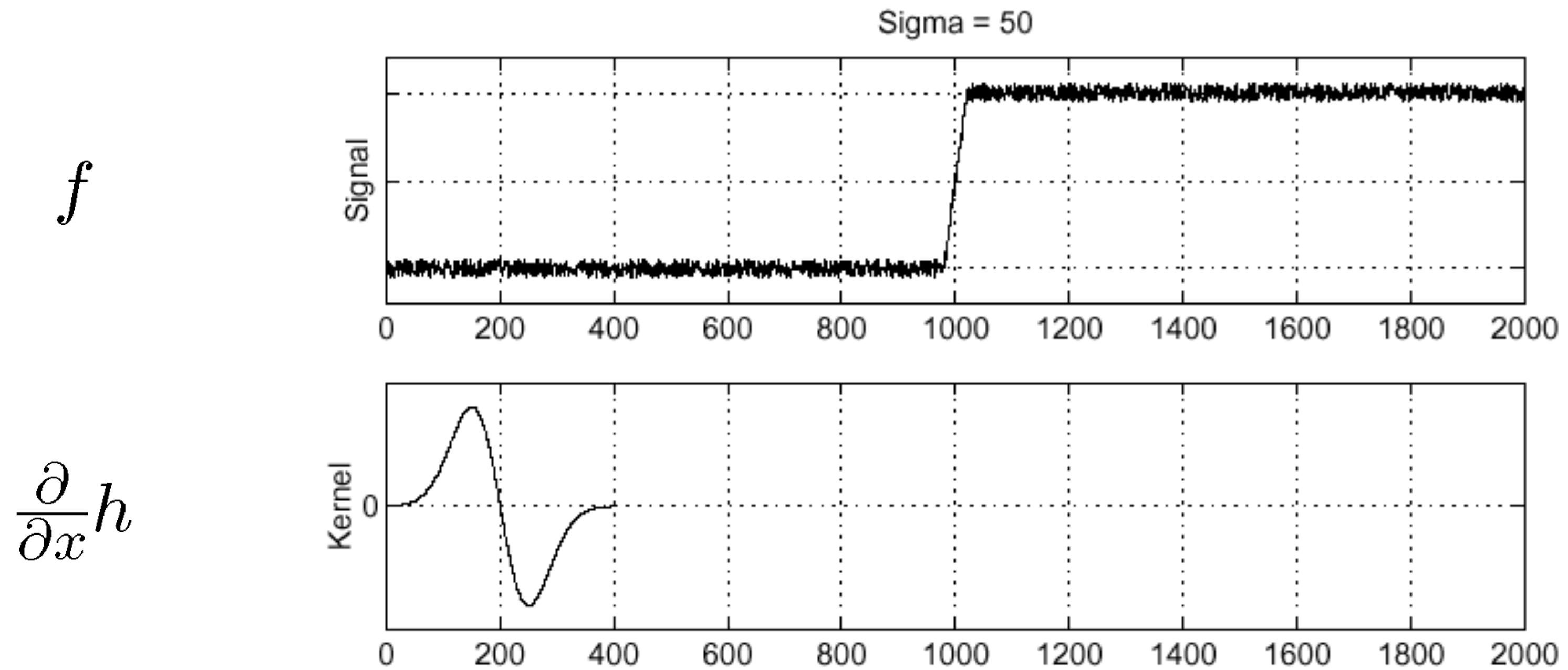
$$\frac{\partial}{\partial x}(h \star f) = \left(\frac{\partial}{\partial x}h\right) \star f$$

$f$



# Théorème sur la dérivée de la convolution

$$\frac{\partial}{\partial x}(h \star f) = \left(\frac{\partial}{\partial x}h\right) \star f$$

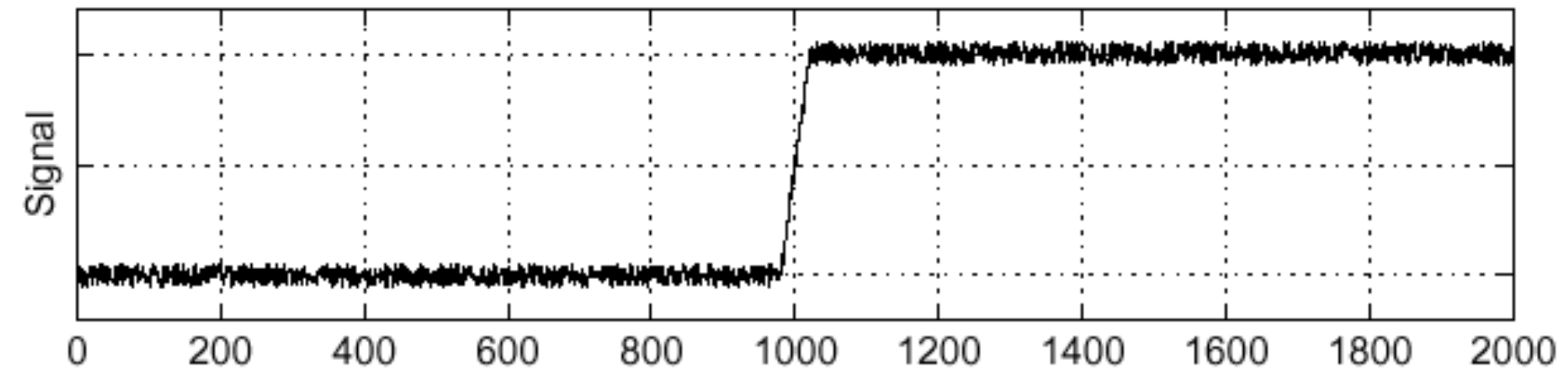


# Théorème sur la dérivée de la convolution

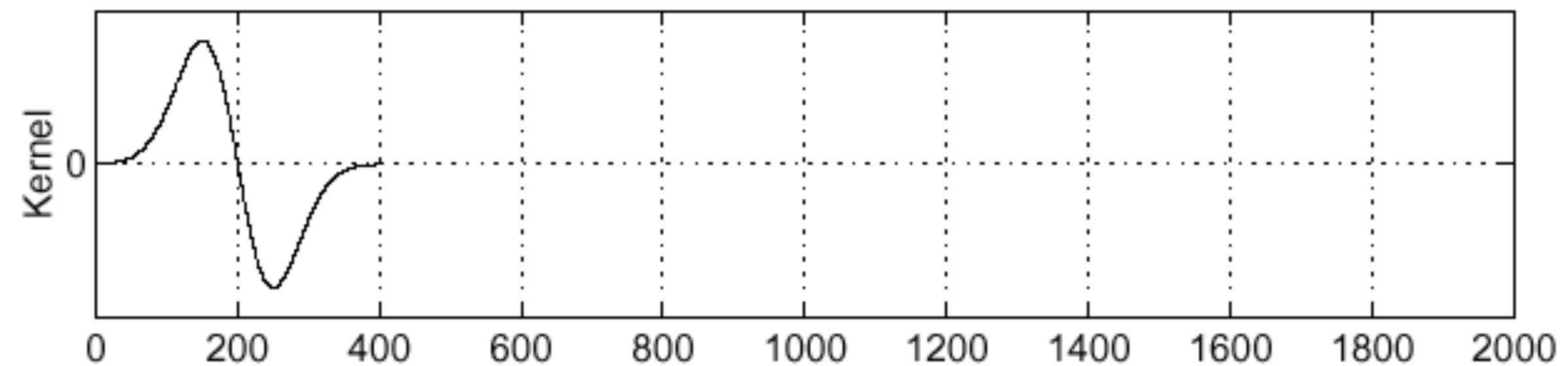
$$\frac{\partial}{\partial x}(h \star f) = \left(\frac{\partial}{\partial x}h\right) \star f$$

Sigma = 50

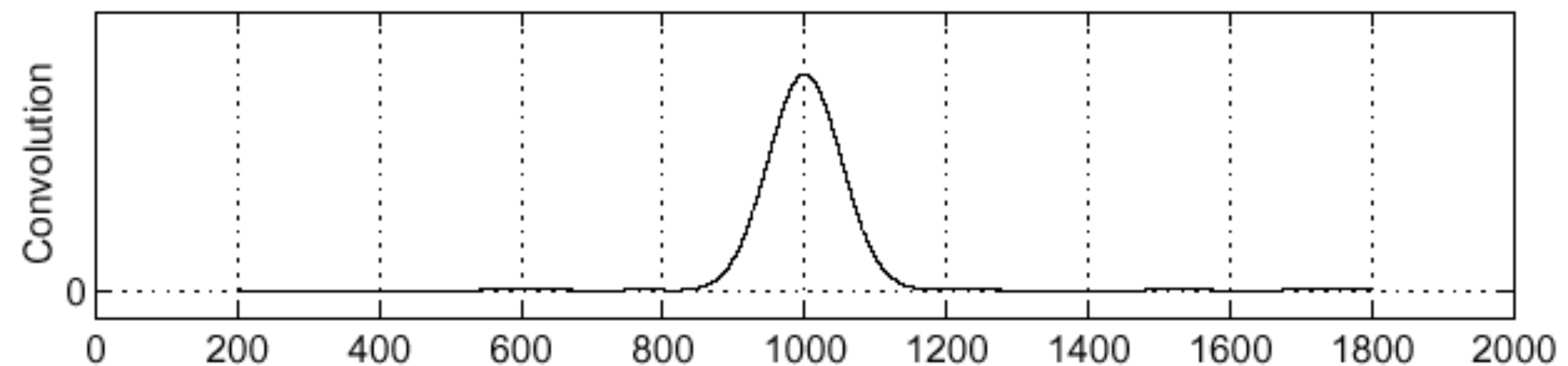
$f$



$\frac{\partial}{\partial x}h$



$\left(\frac{\partial}{\partial x}h\right) \star f$

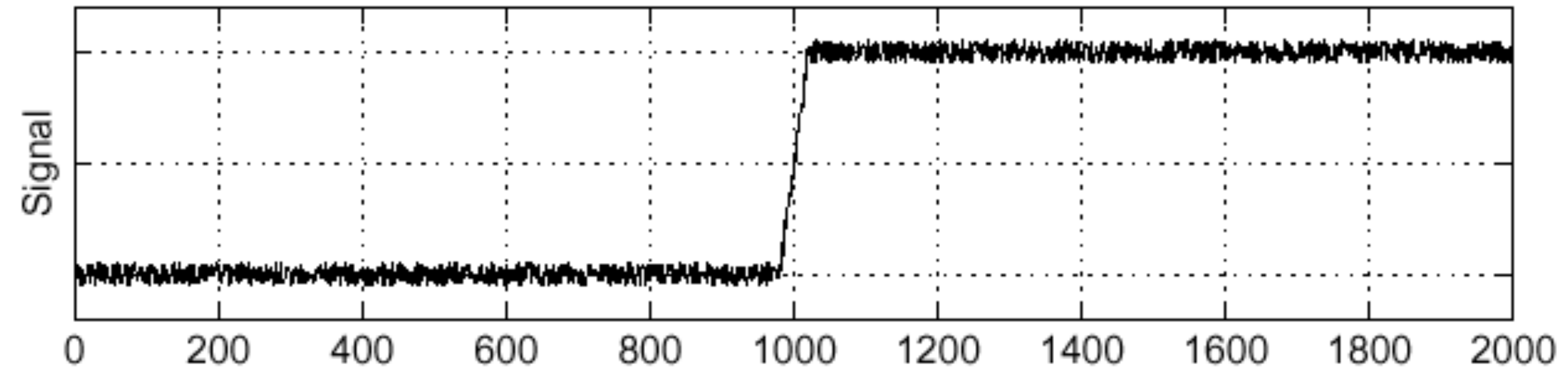


# Laplacien d'une gaussienne

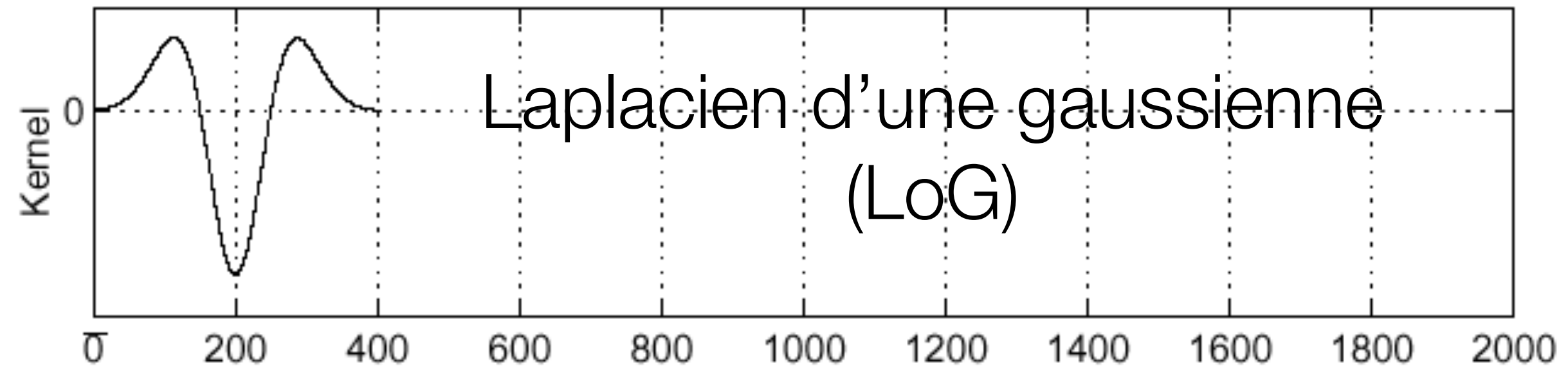
$$\frac{\partial^2}{\partial x^2}(h \star f)$$

Sigma = 50

$f$



$\frac{\partial^2}{\partial x^2}h$

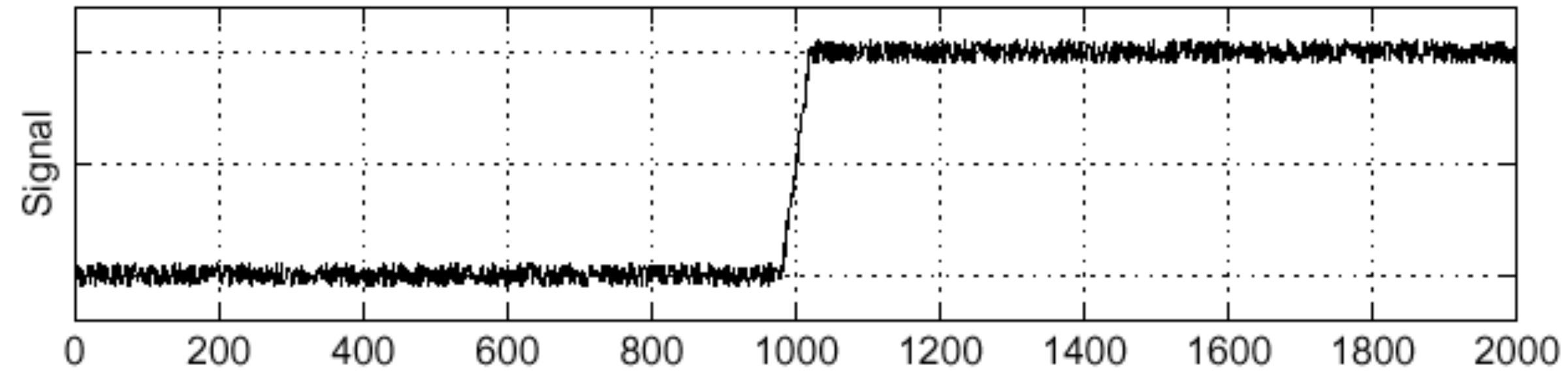


# Laplacien d'une gaussienne

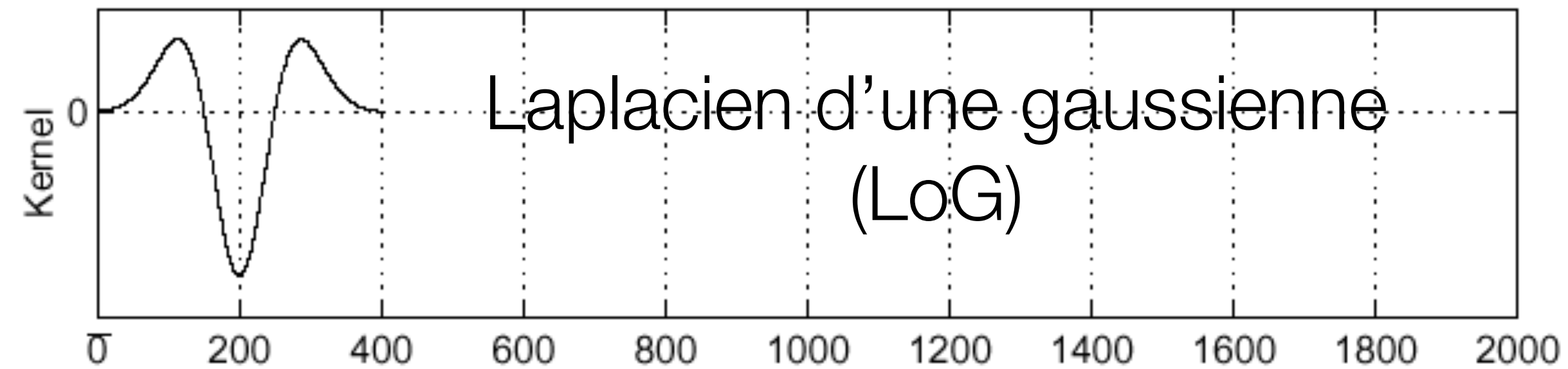
$$\frac{\partial^2}{\partial x^2}(h \star f)$$

Sigma = 50

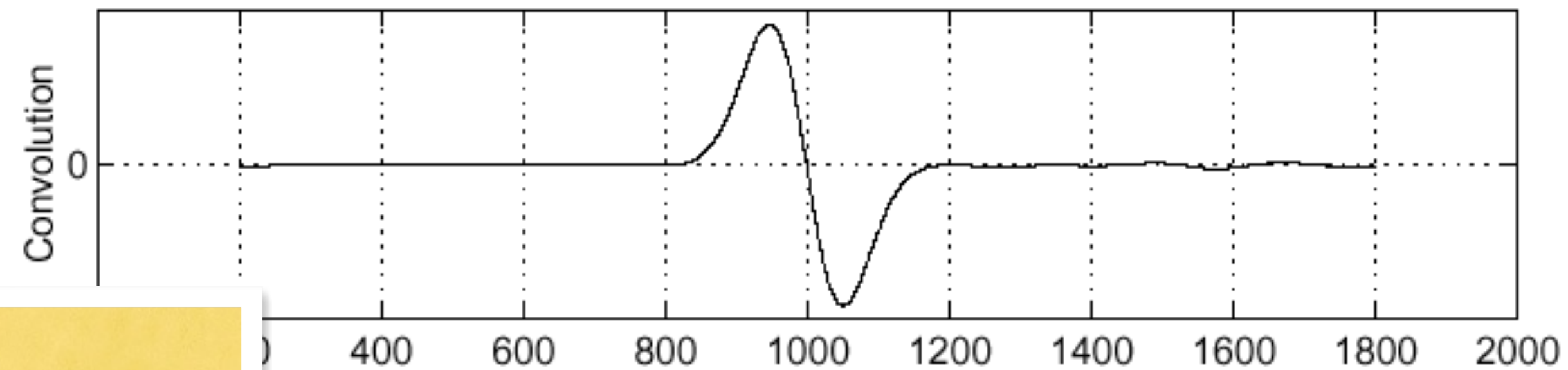
$f$



$\frac{\partial^2}{\partial x^2}h$



$(\frac{\partial^2}{\partial x^2}h) \star f$

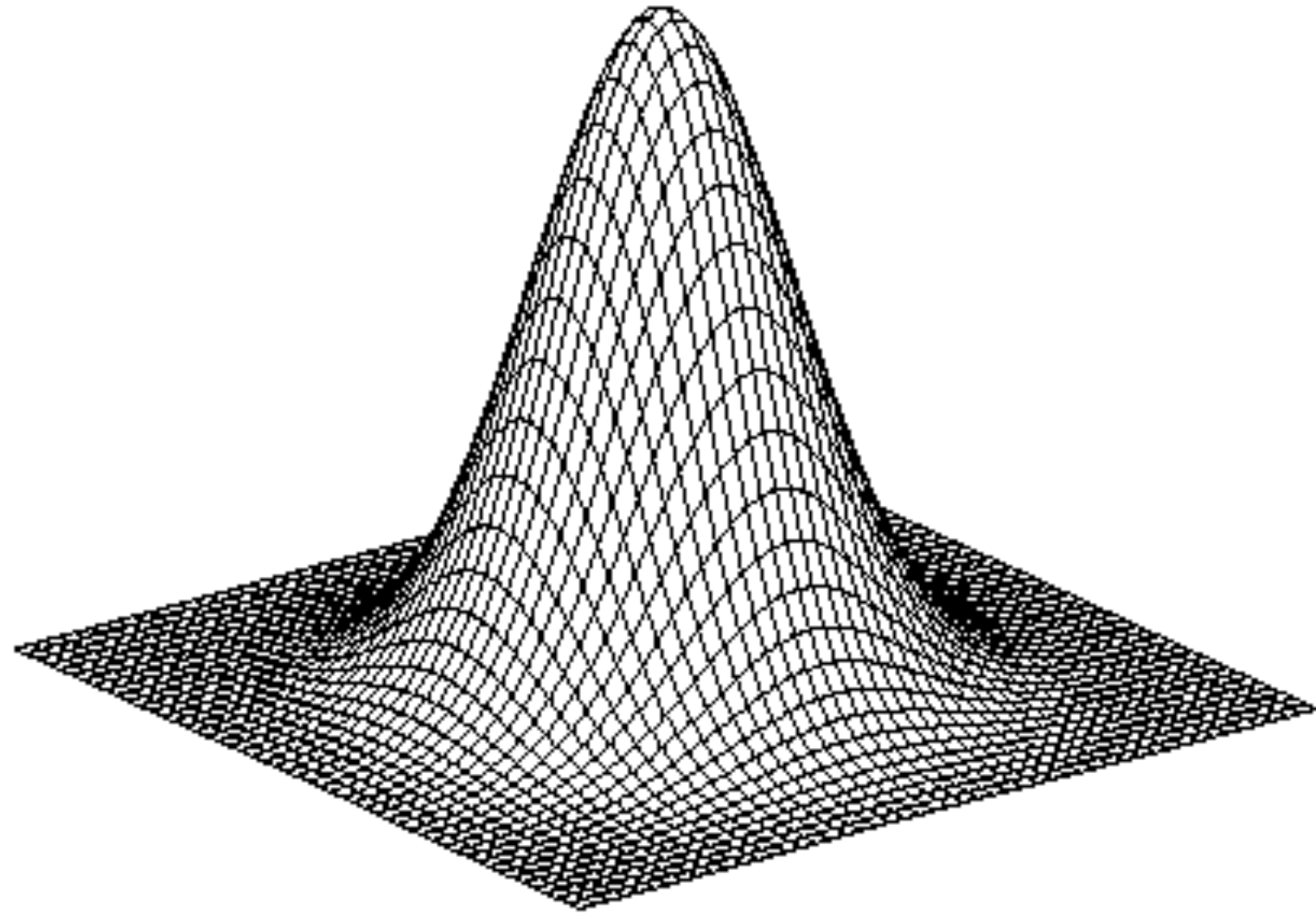


Où est l'arête?

L'endroit où le graphe du bas croise 0

# Détection d'arête en 2-D

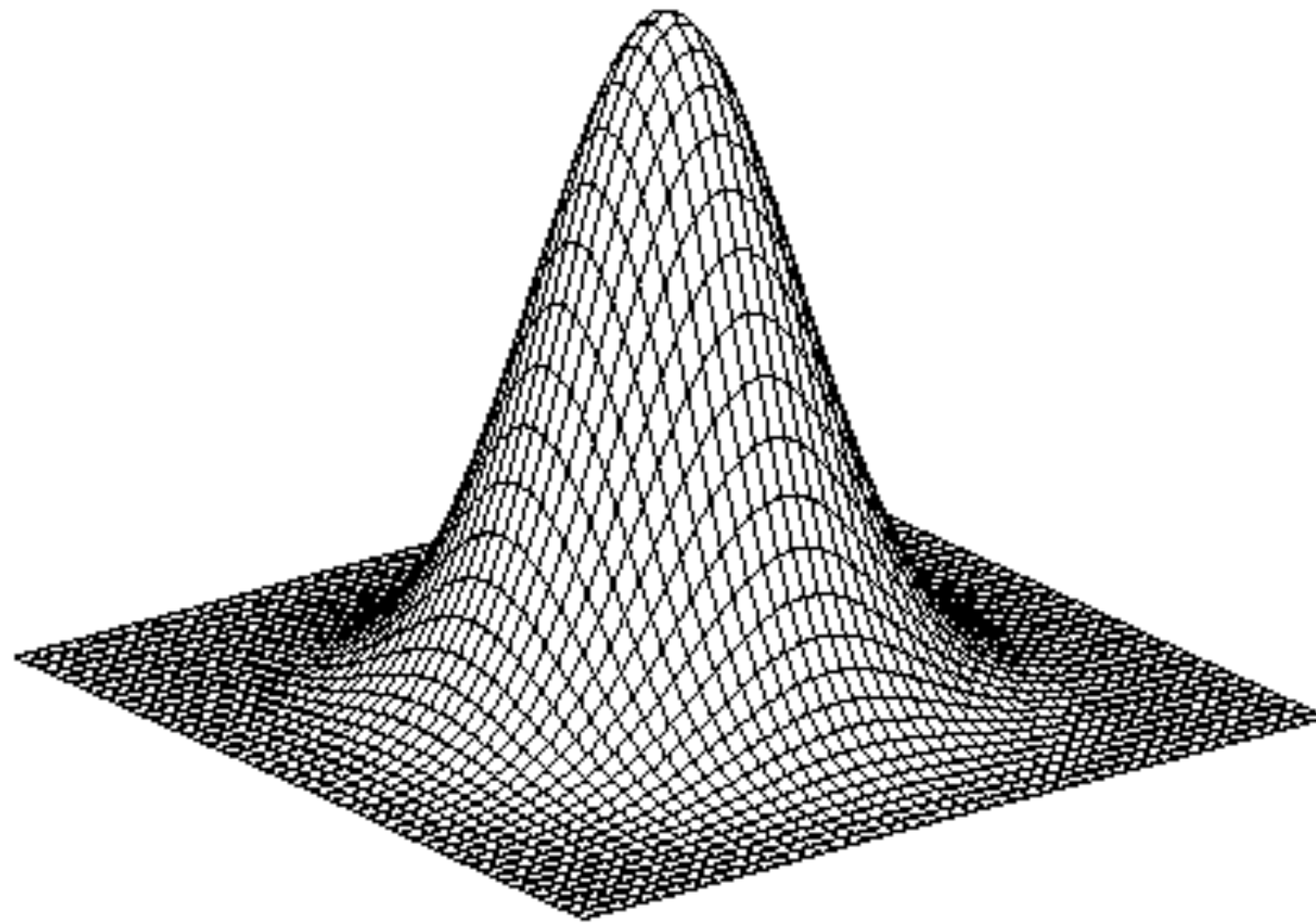
Gaussienne



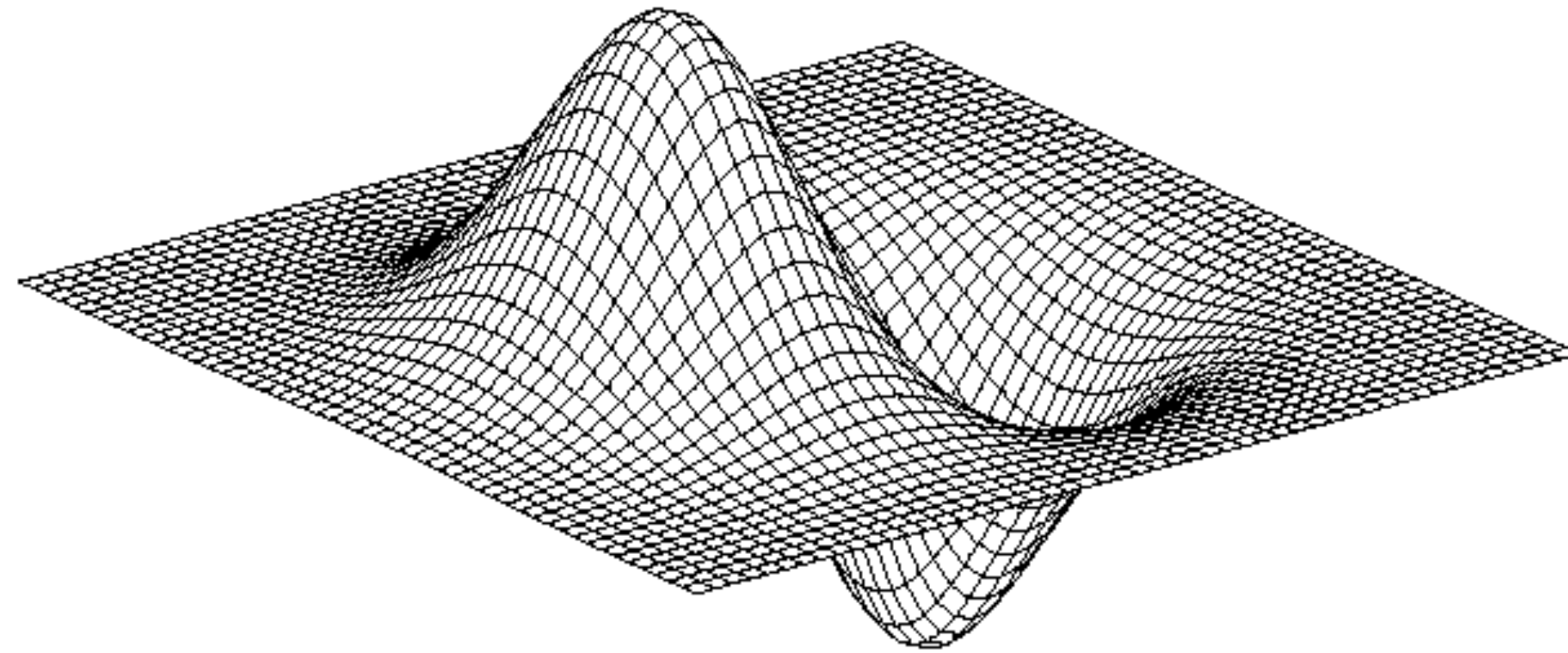
$$h_{\sigma}(u, v) = \frac{1}{2\pi\sigma^2} e^{-\frac{u^2+v^2}{2\sigma^2}}$$

# Détection d'arête en 2-D

Gaussienne



Dérivée d'une gaussienne



$$h_{\sigma}(u, v) = \frac{1}{2\pi\sigma^2} e^{-\frac{u^2+v^2}{2\sigma^2}}$$

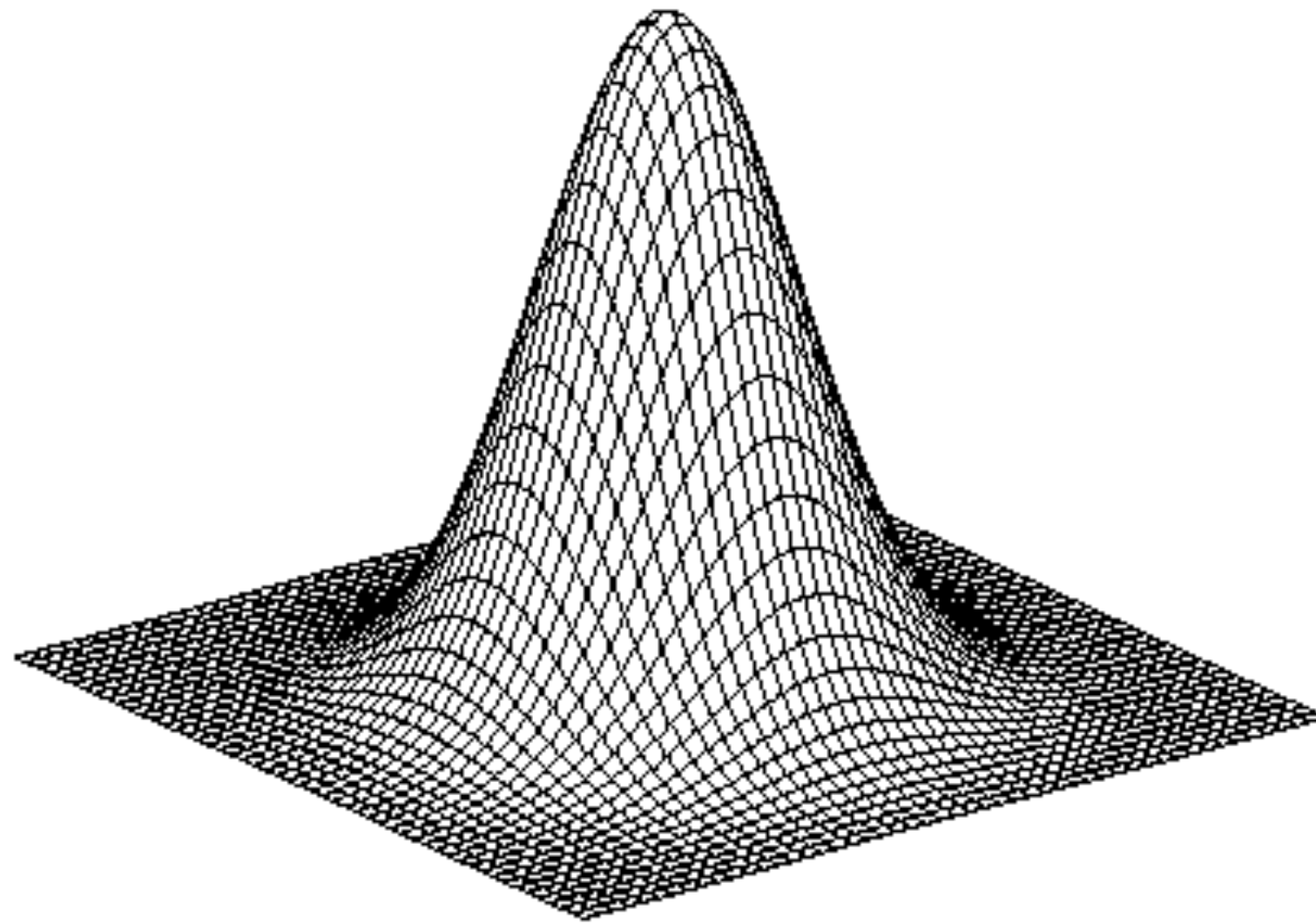
$$\frac{\partial}{\partial x} h_{\sigma}(u, v)$$

Combien de dérivée  
existe-t-il?

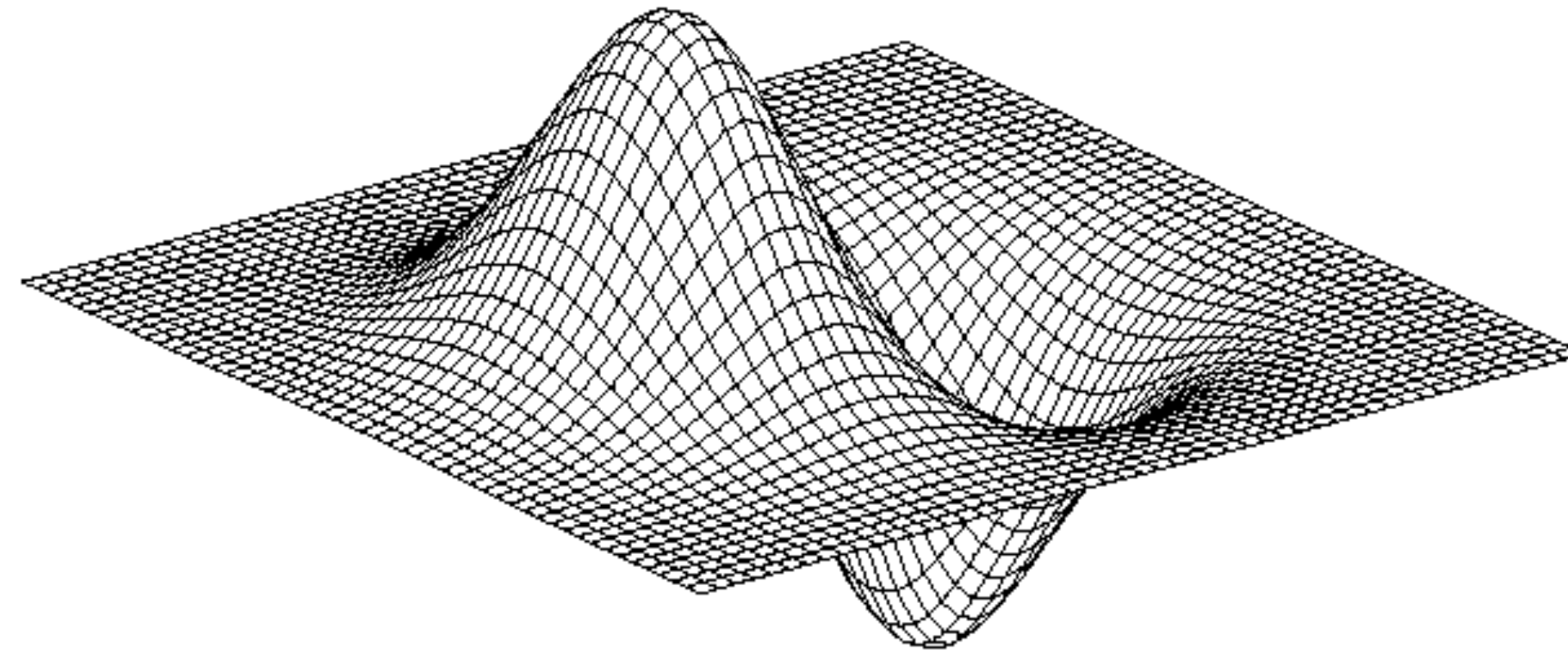
# Détection d'arête en 2-D

Combien de dérivée  
seconde existe-t-il?

Gaussienne



Dérivée d'une gaussienne    Dérivée seconde d'une gaussienne

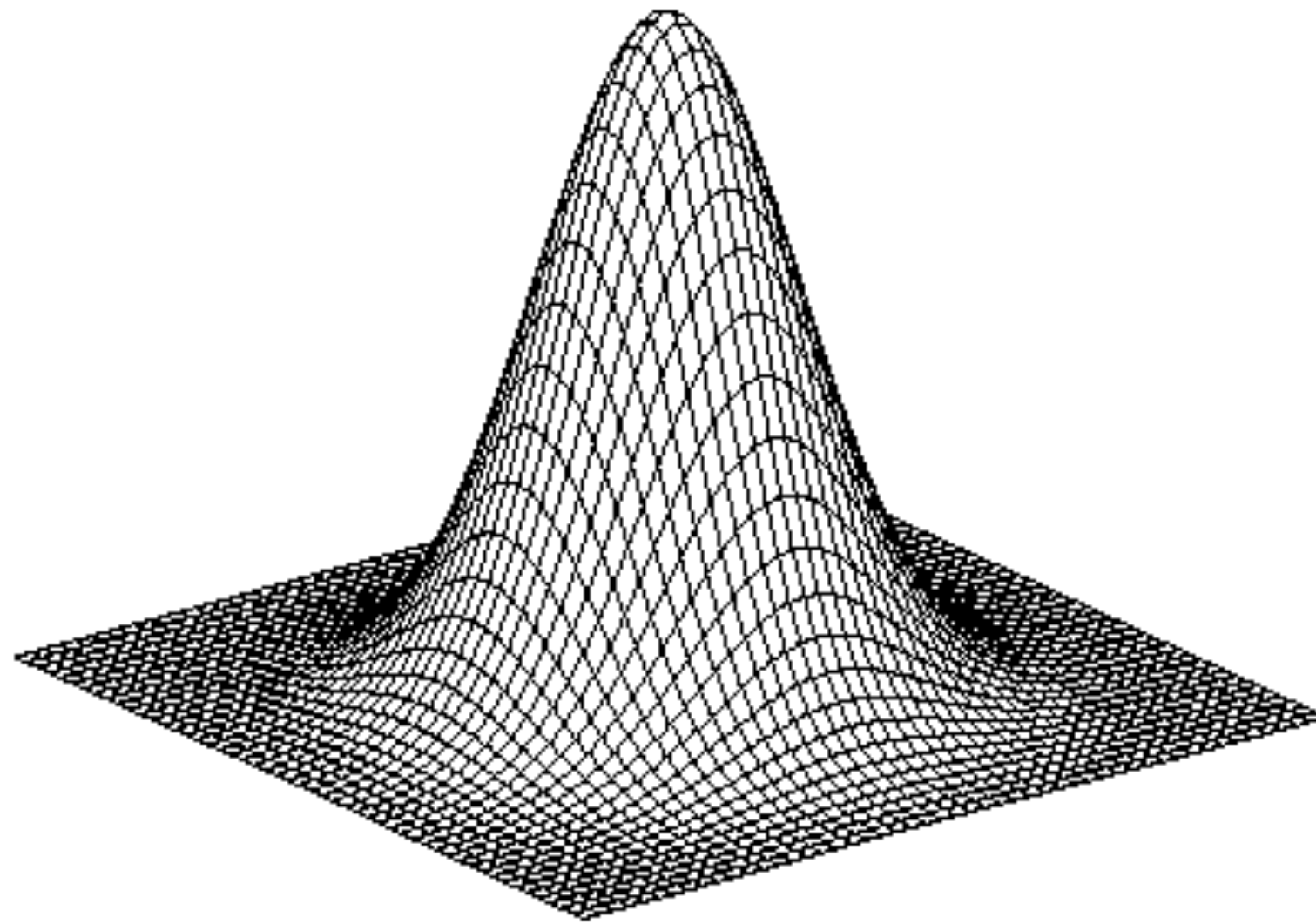


$$h_{\sigma}(u, v) = \frac{1}{2\pi\sigma^2} e^{-\frac{u^2+v^2}{2\sigma^2}}$$

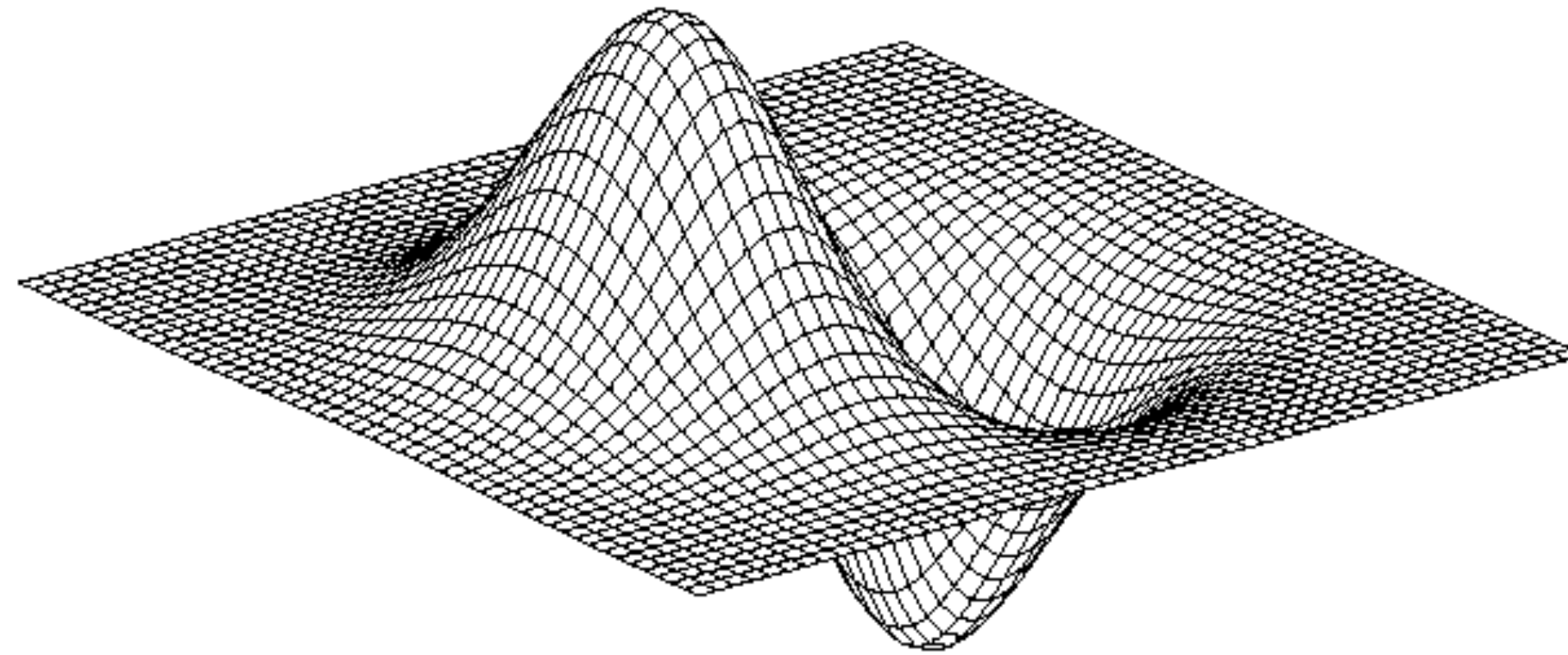
$$\frac{\partial}{\partial x} h_{\sigma}(u, v)$$

# Détection d'arête en 2-D

Gaussienne

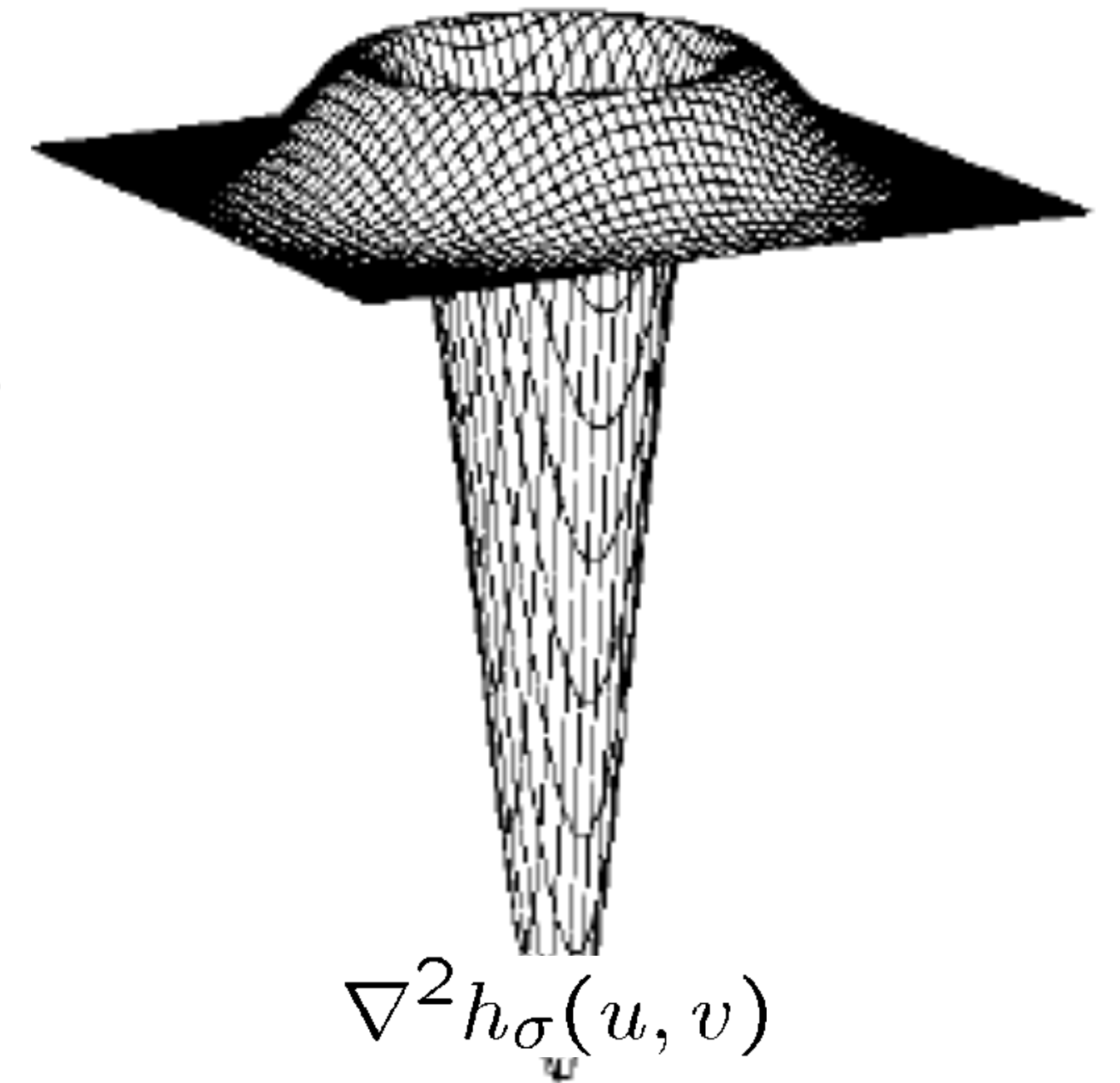


Dérivée d'une gaussienne



Dérivée seconde d'une gaussienne

Laplacien d'une gaussienne



$$h_{\sigma}(u, v) = \frac{1}{2\pi\sigma^2} e^{-\frac{u^2+v^2}{2\sigma^2}}$$

$$\frac{\partial}{\partial x} h_{\sigma}(u, v)$$

$$\nabla^2 h_{\sigma}(u, v)$$

$\nabla^2$  est l'opérateur Laplacien:  $\nabla^2 f = \frac{\partial^2 f}{\partial x^2} + \frac{\partial^2 f}{\partial y^2}$

# Un filtre gaussien enlève...?



Image originale

# Un filtre gaussien enlève...?



filtrée (filtre gaussien 5x5)

# Filtre passe-haut



originale - filtrée = détails

# Accentuation (*sharpening*)

originale



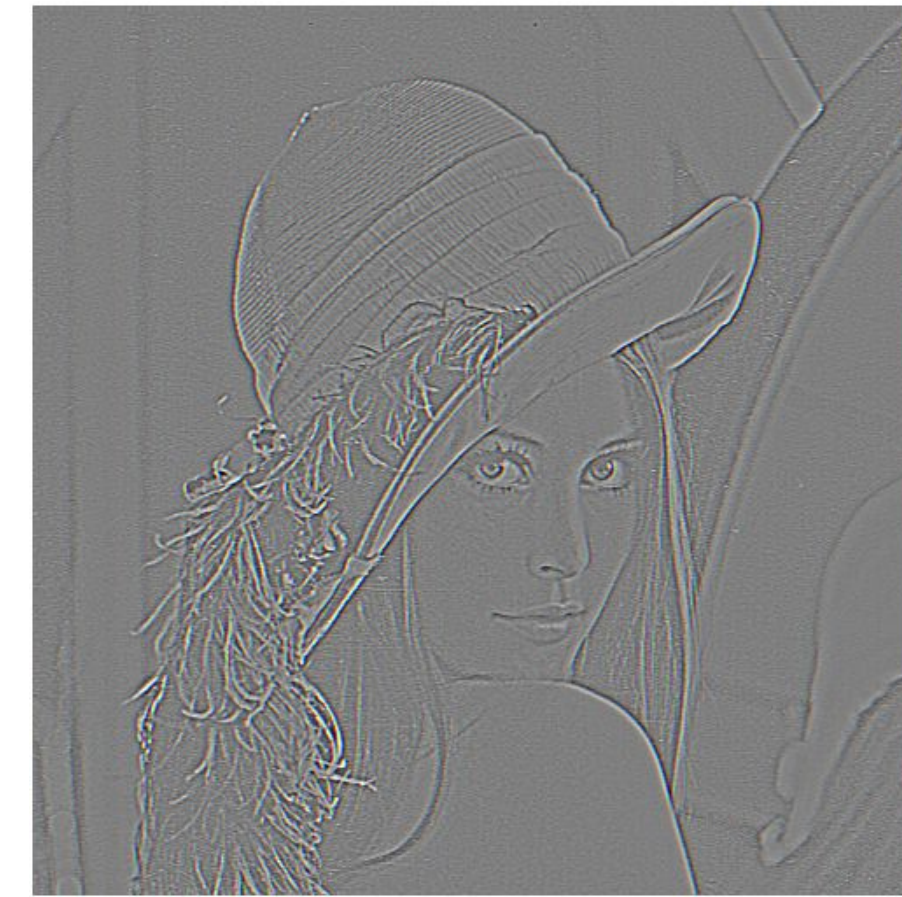
filtrée (5x5)



-

=

détails



# Accentuation (*sharpening*)

originale



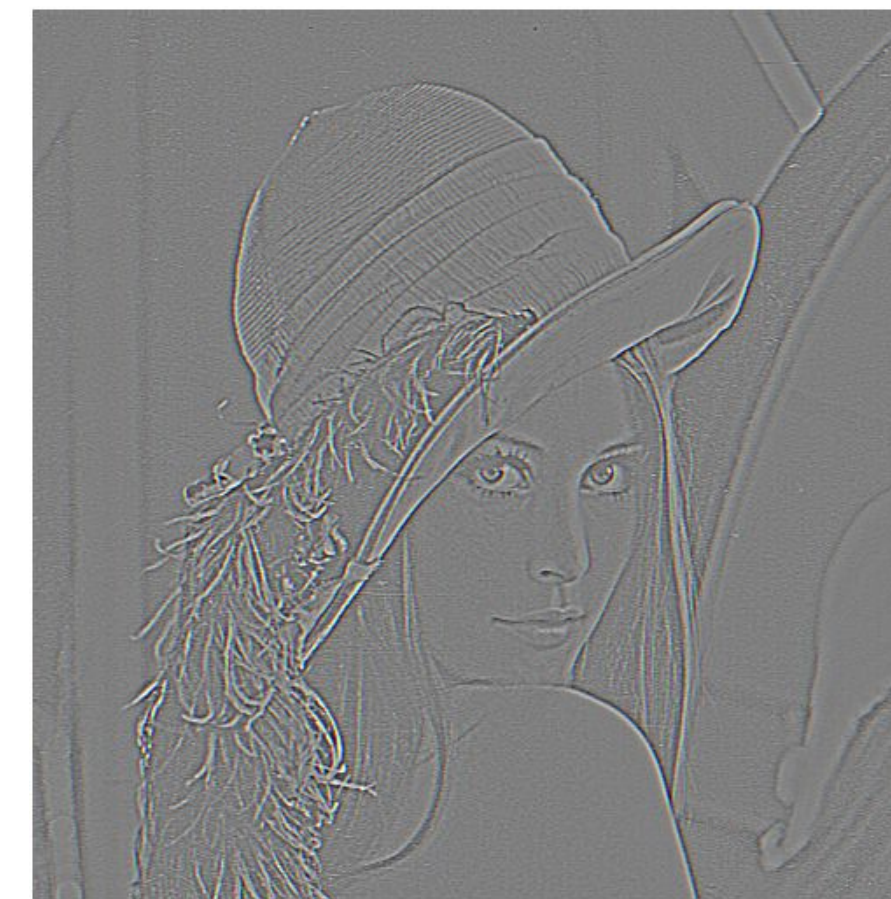
filtrée (5x5)



-

=

détails

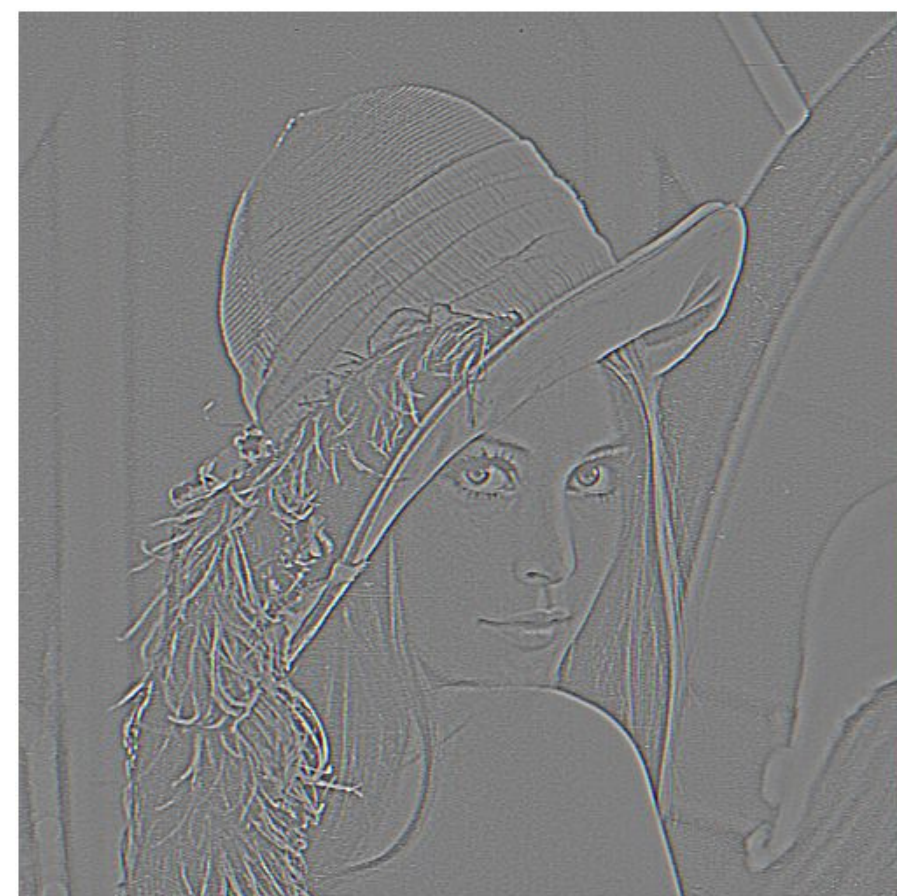


Rajoutons les détails à l'image originale

originale



détails



+ $\alpha$

=

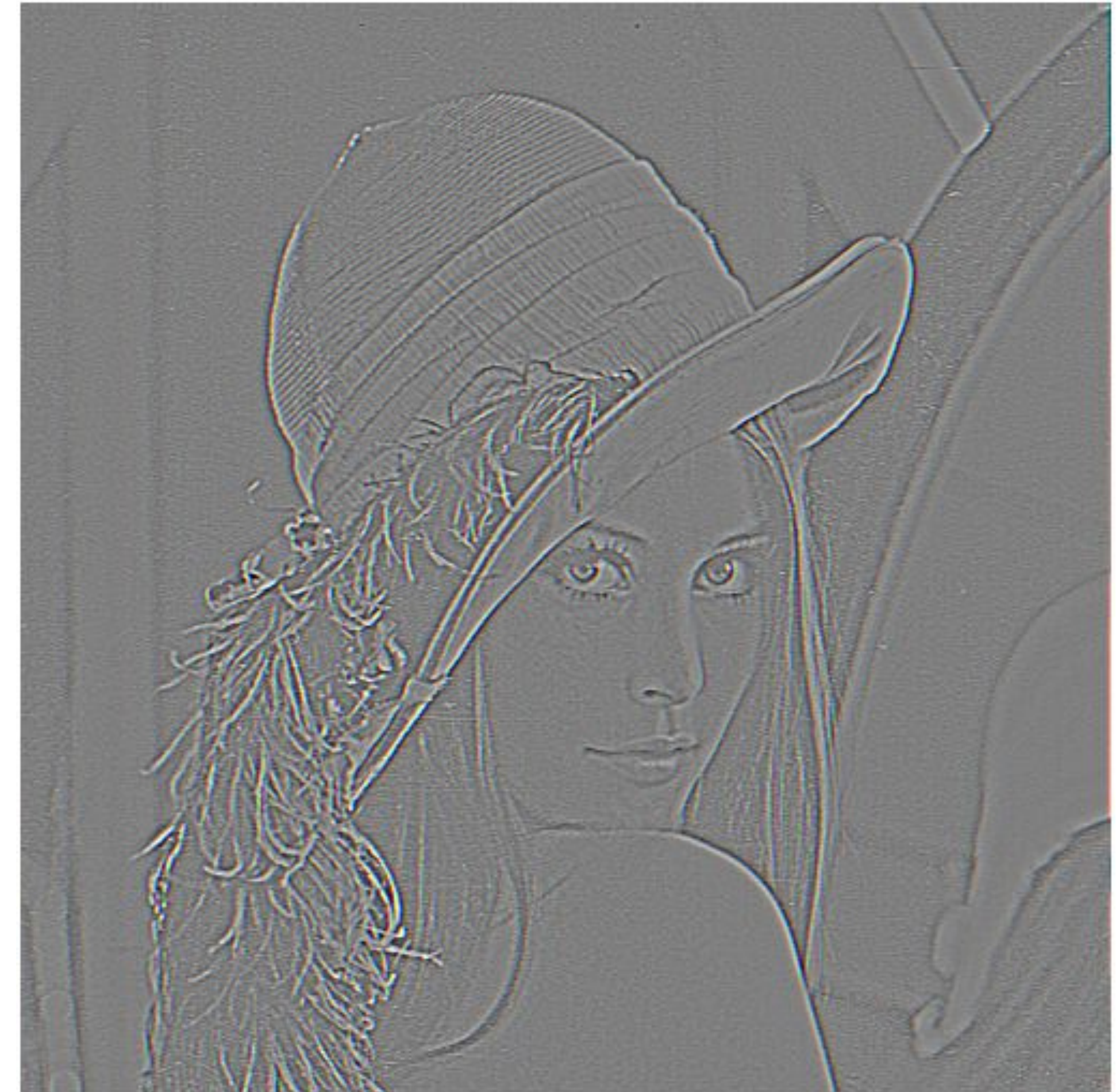
accentuée!



# Revenons à l'image de « détails »

- Comment obtenir ce filtre passe-haut?
- regarder de près...

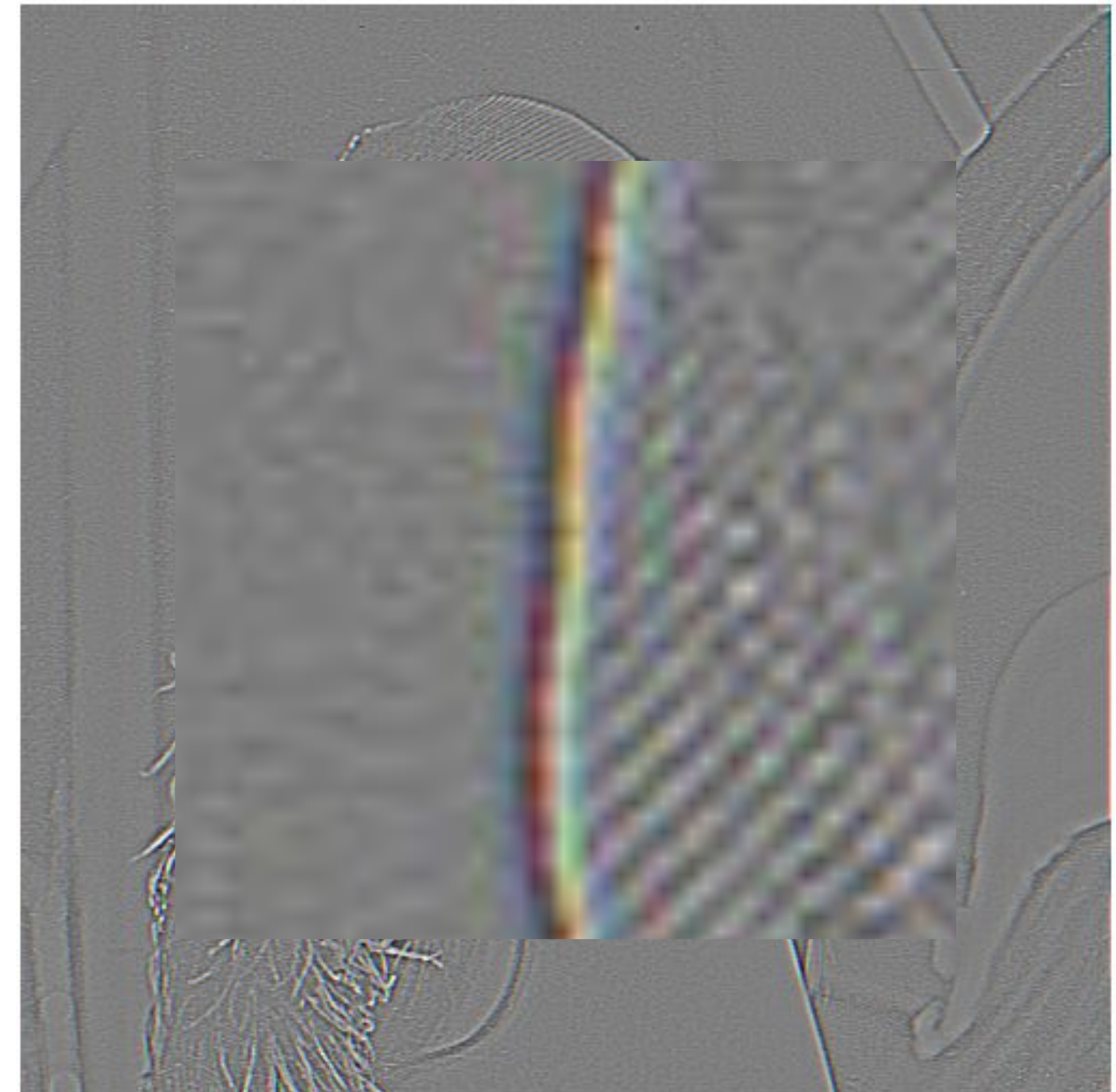
originale - filtrée



# Revenons à l'image de « détails »

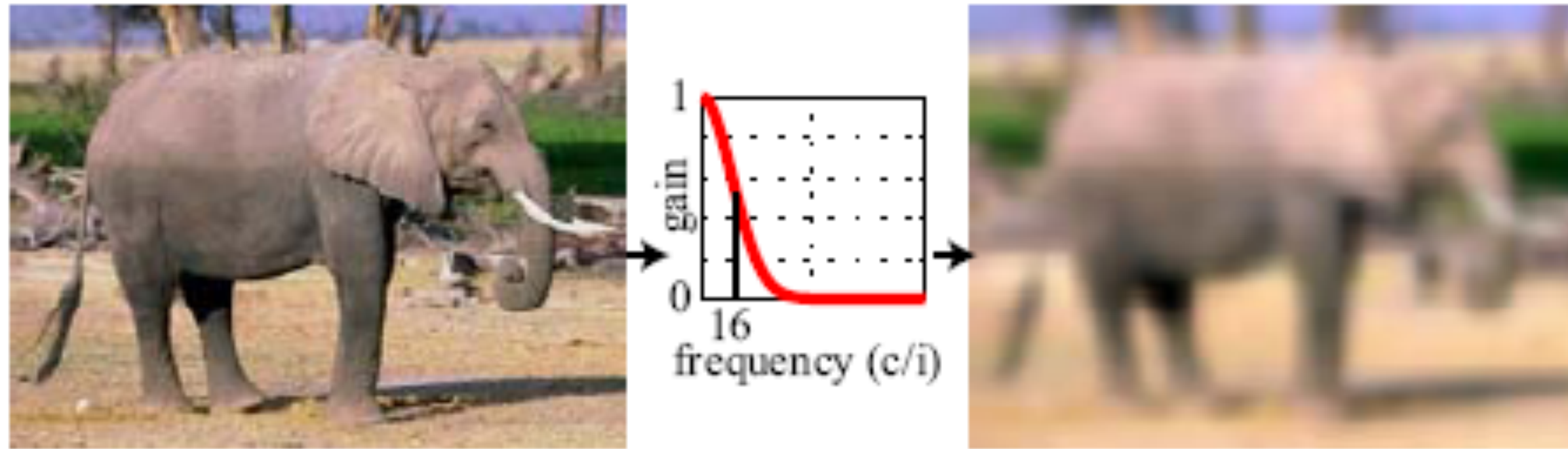
- Comment obtenir ce filtre passe-haut?
  - regarder de près...
  - passage par 0 aux arêtes...?
  - original - filtrée (gaussien)  $\approx$  laplacien d'une gaussienne!

originale - filtrée



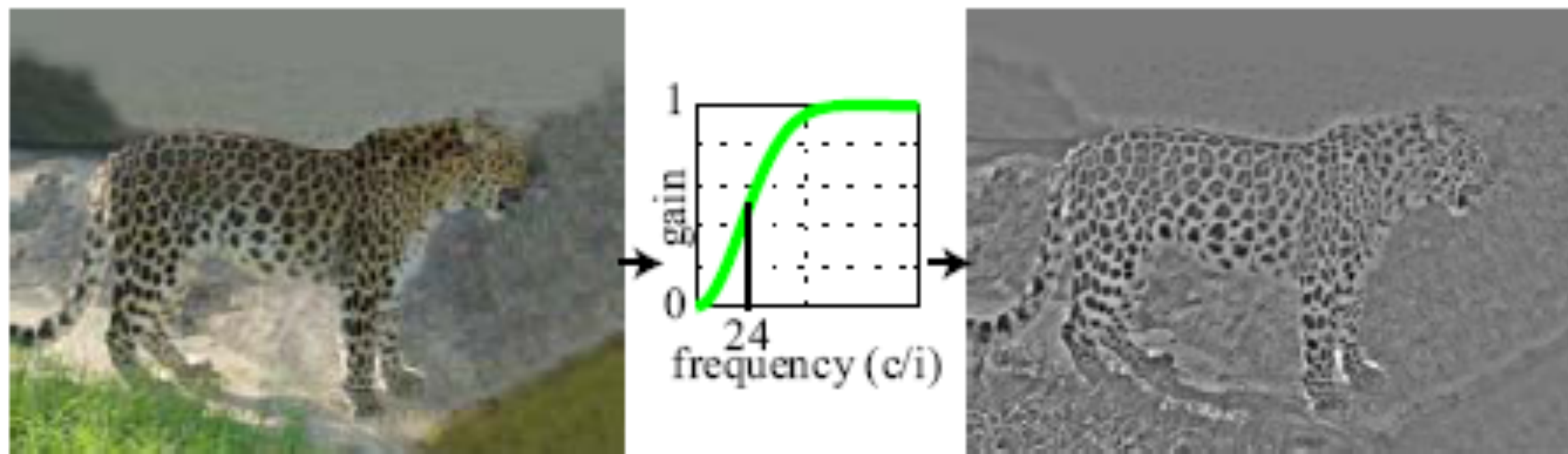
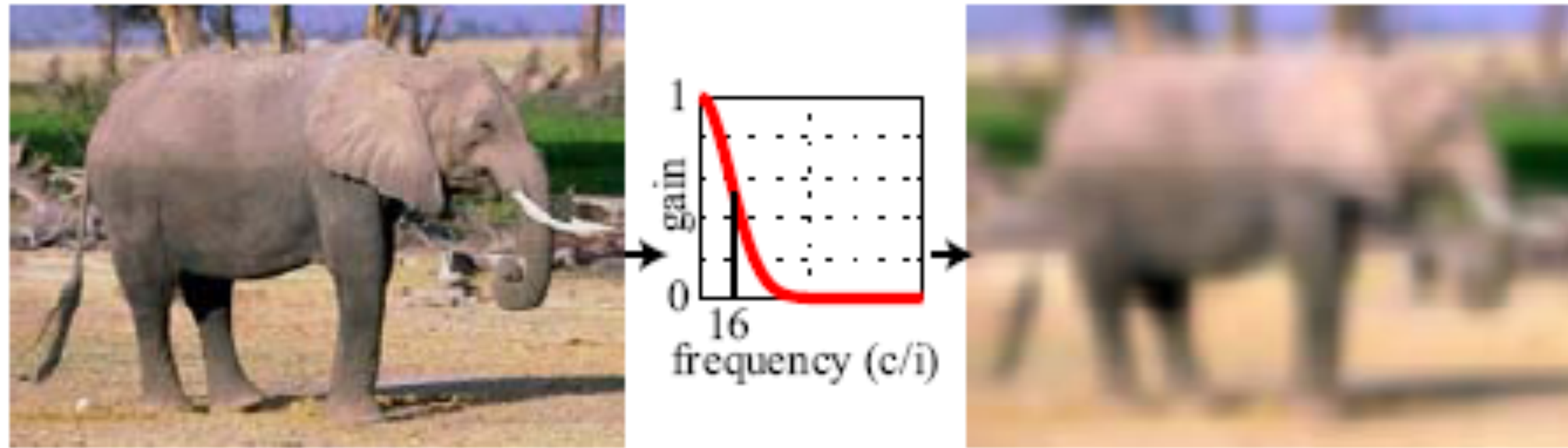
# Images hybrides

A. Oliva, A. Torralba, P.G. Schyns, "Hybrid Images," SIGGRAPH 2006



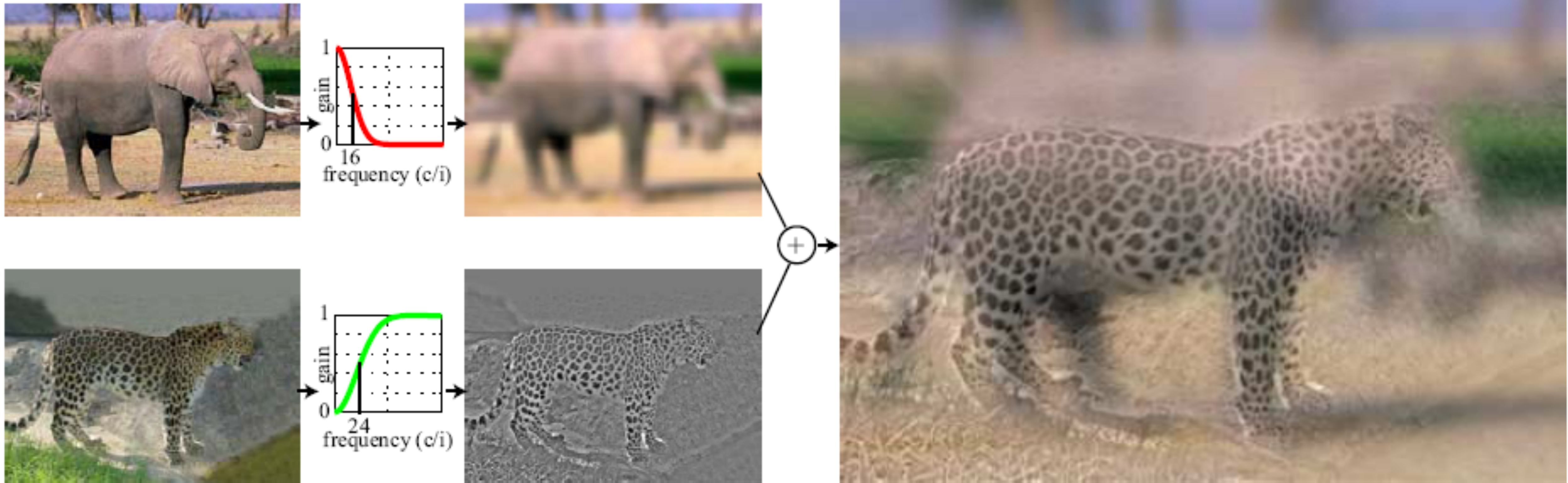
# Images hybrides

A. Oliva, A. Torralba, P.G. Schyns, "Hybrid Images," SIGGRAPH 2006



# Images hybrides

A. Oliva, A. Torralba, P.G. Schyns, "Hybrid Images," SIGGRAPH 2006



# Images hybrides

De **près**, on voit une image  
(**hautes** fréquences)

A. Oliva, A. Torralba, P.G. Schyns, "Hybrid Images," SIGGRAPH 2006



# Images hybrides

De **loin**, on voit une autre image  
(**basses** fréquences)

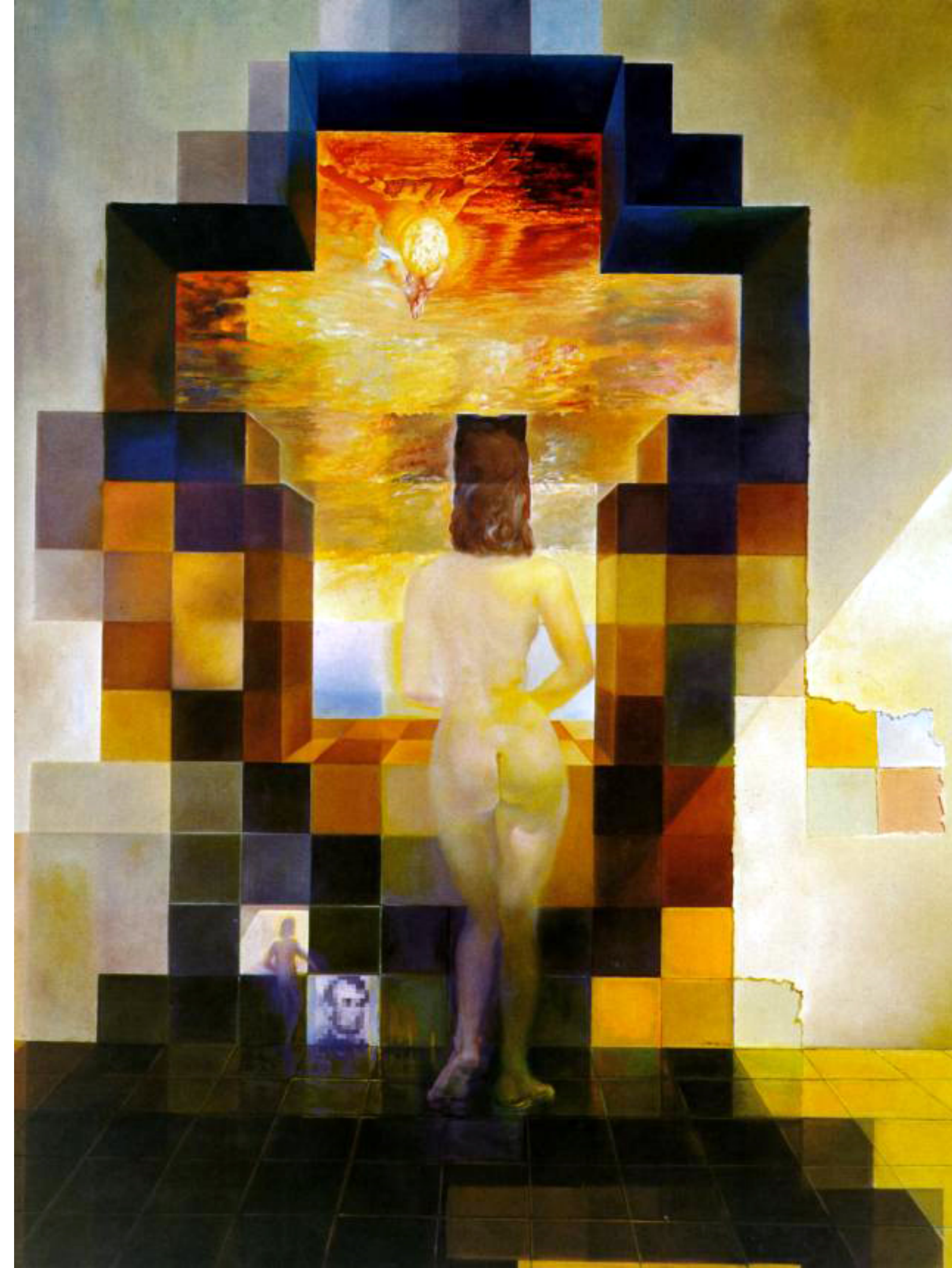
A. Oliva, A. Torralba, P.G. Schyns, "Hybrid Images," SIGGRAPH 2006



Ça vous rappelle quelque chose?

Salvador Dali

“Gala contemplant la mer Méditerranée qui à vingt mètres devient le portrait d'Abraham Lincoln ”, 1976



# Rappel : compression (*chroma subsampling*)

Autre espace de couleur... Y'CbCr : Y' (luma) et CbCr (chroma) mais l'idée reste la même



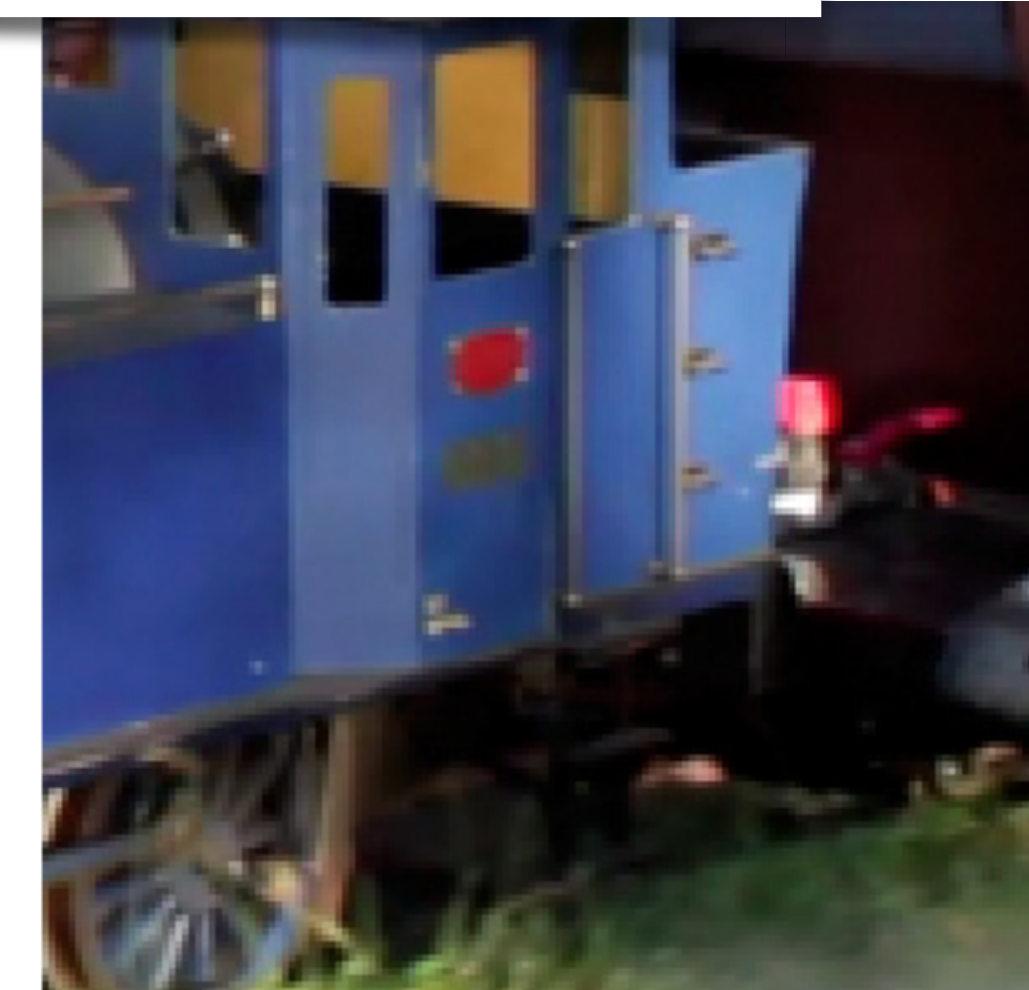
4:1:1



4:2:0



4:2:2



4:4:4



# Rappel (bis)

Pourquoi peut-on toujours interpréter une image à plus faible résolution?  
Quelle est l'information perdue?

Résolution originale

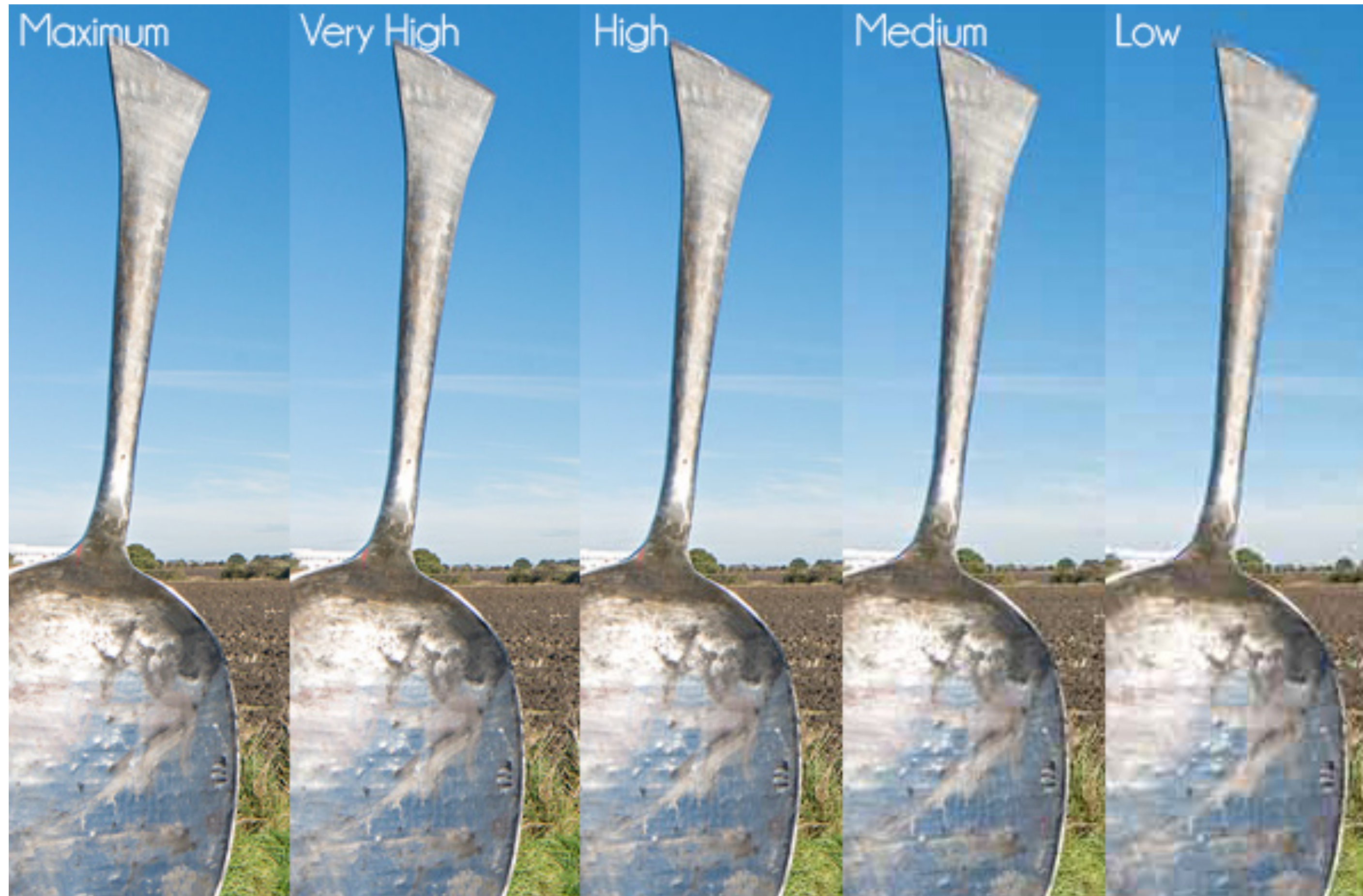


1/2 résolution  
(4x moins de pixels!)



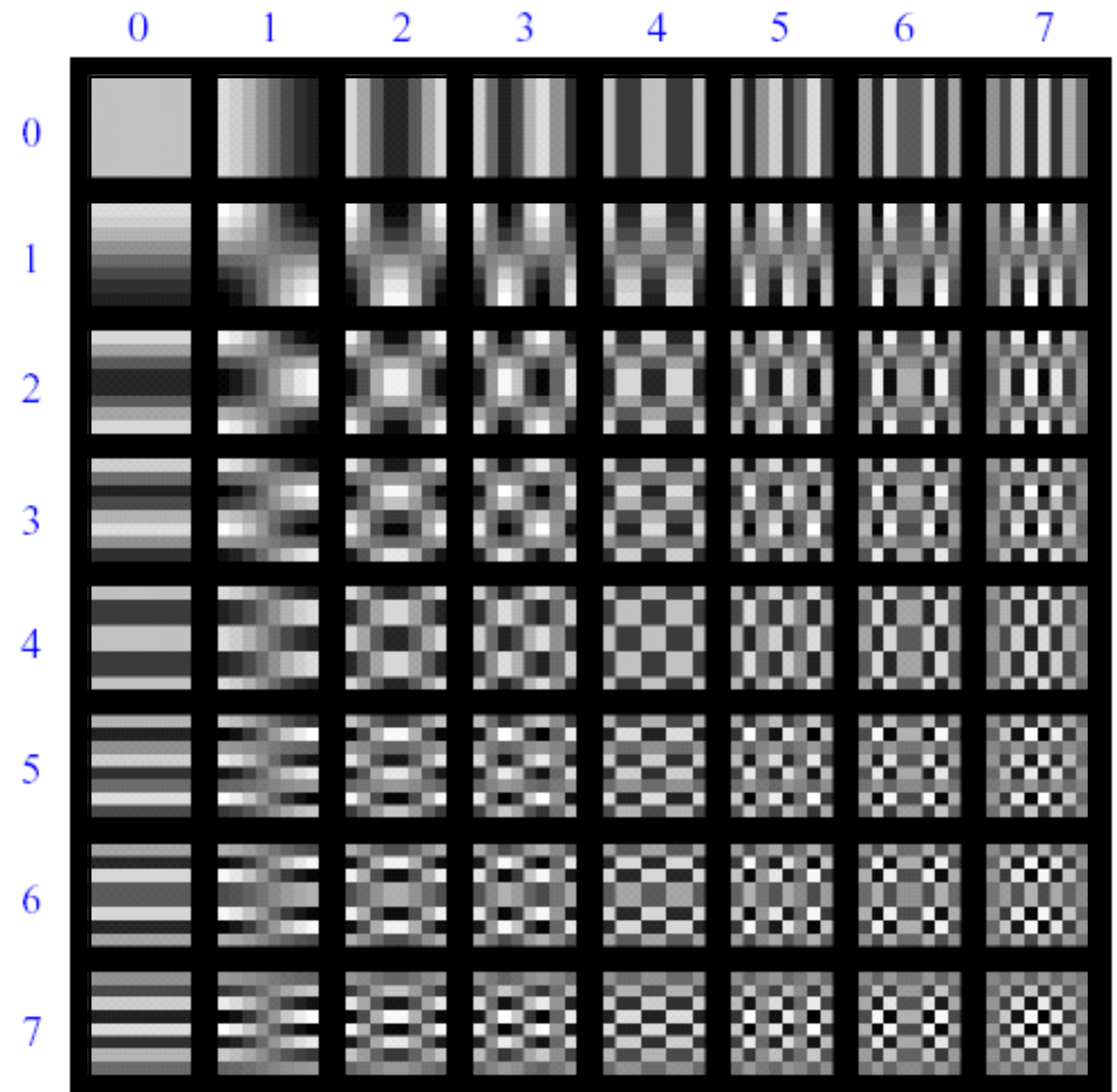
# Compression JPEG

Pas du « filtrage » comme tel, mais une bonne façon de penser aux fréquences d'une image



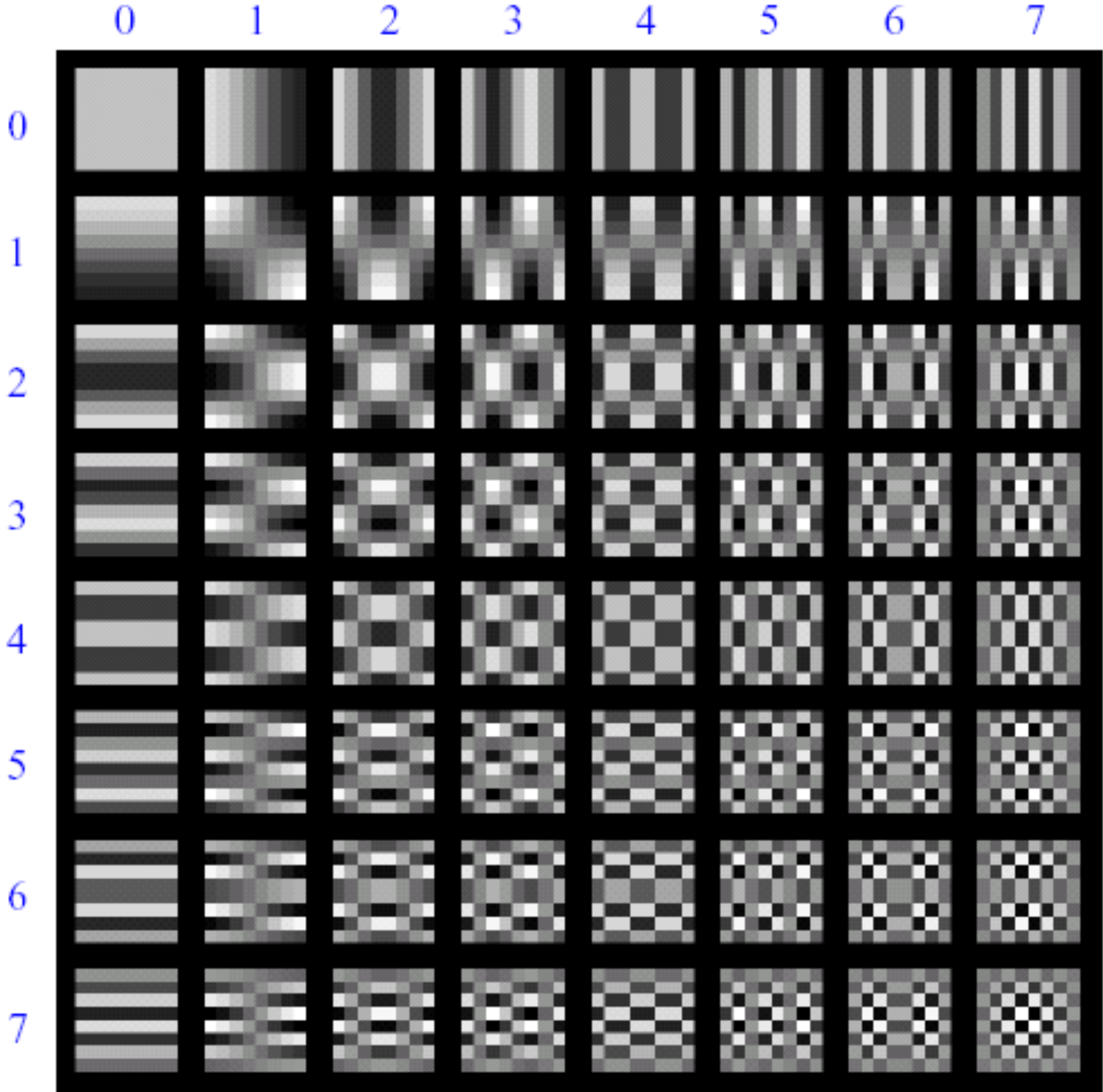
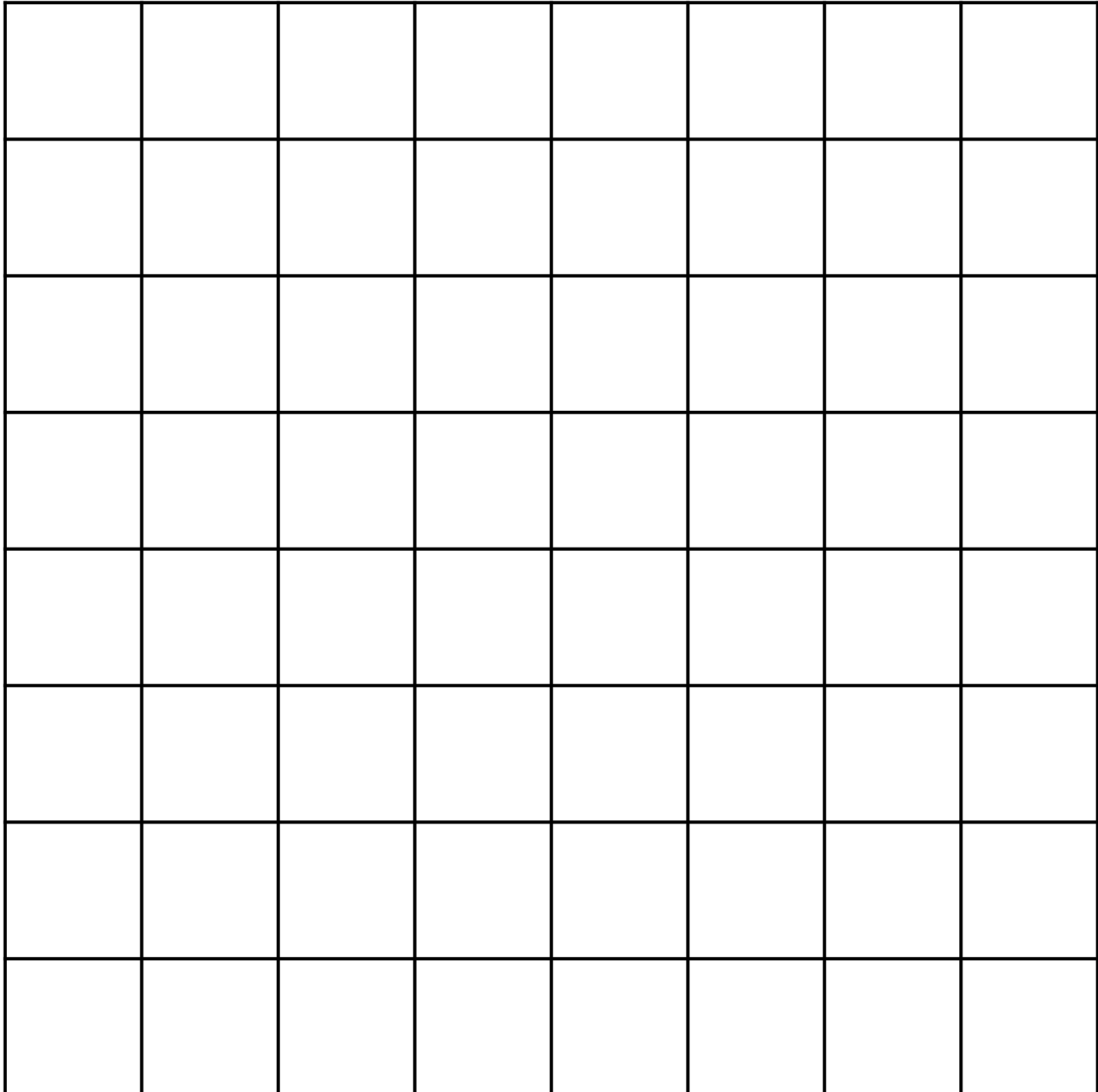
# Compression (JPEG)

- Subdiviser en petits blocs de 8x8
- Pour chaque bloc :
  1. Calculer les coefficients de la DCT (*Discrete Cosine Transform*)



# Compression (JPEG)

- 1. Calculer les coefficients de la DCT (*Discrete Cosine Transform*)



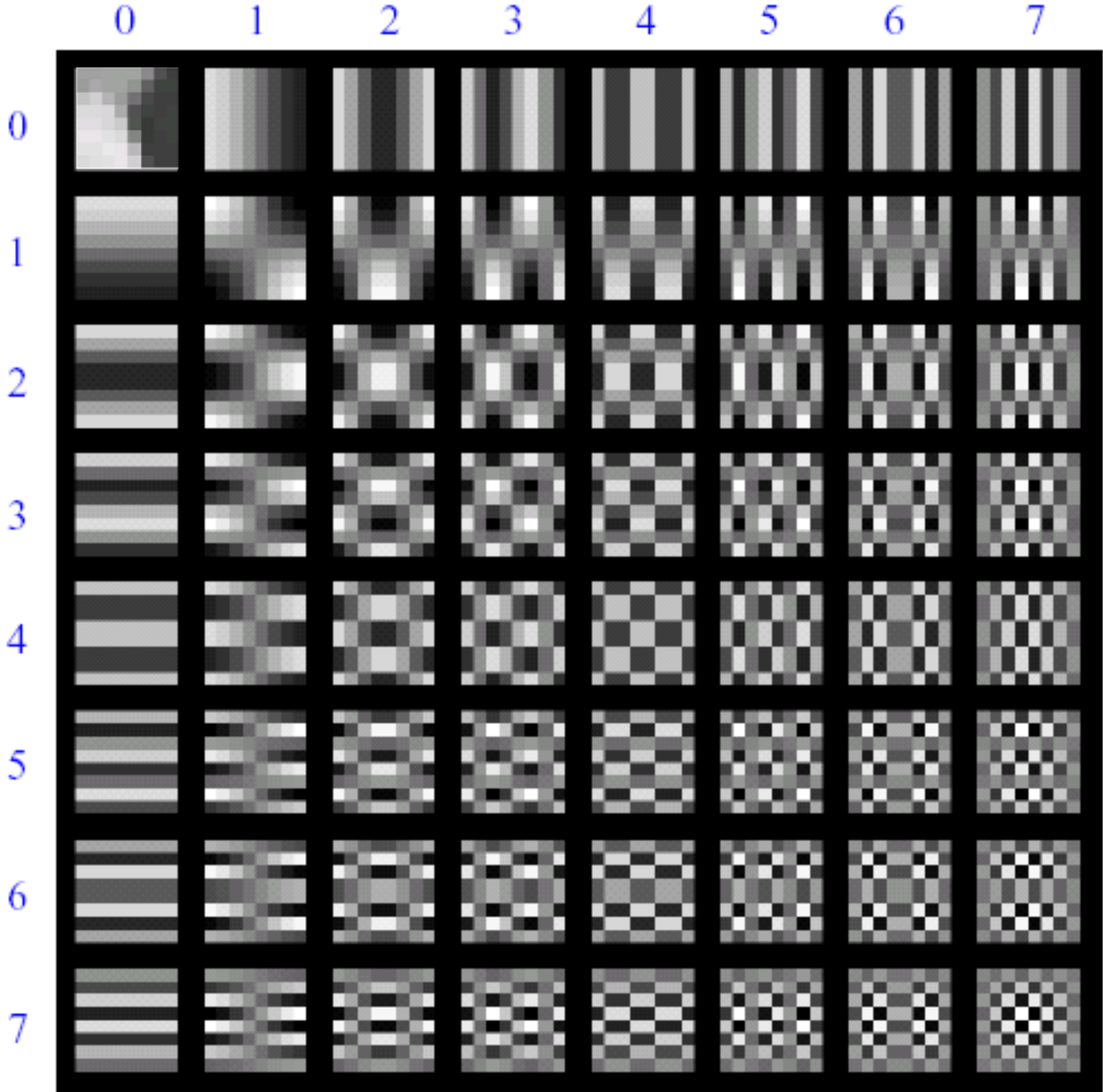
# Compression (JPEG)

1. Calculer les coefficients de la DCT  
(Discrete Cosine Transform)

186							

Composante DC!

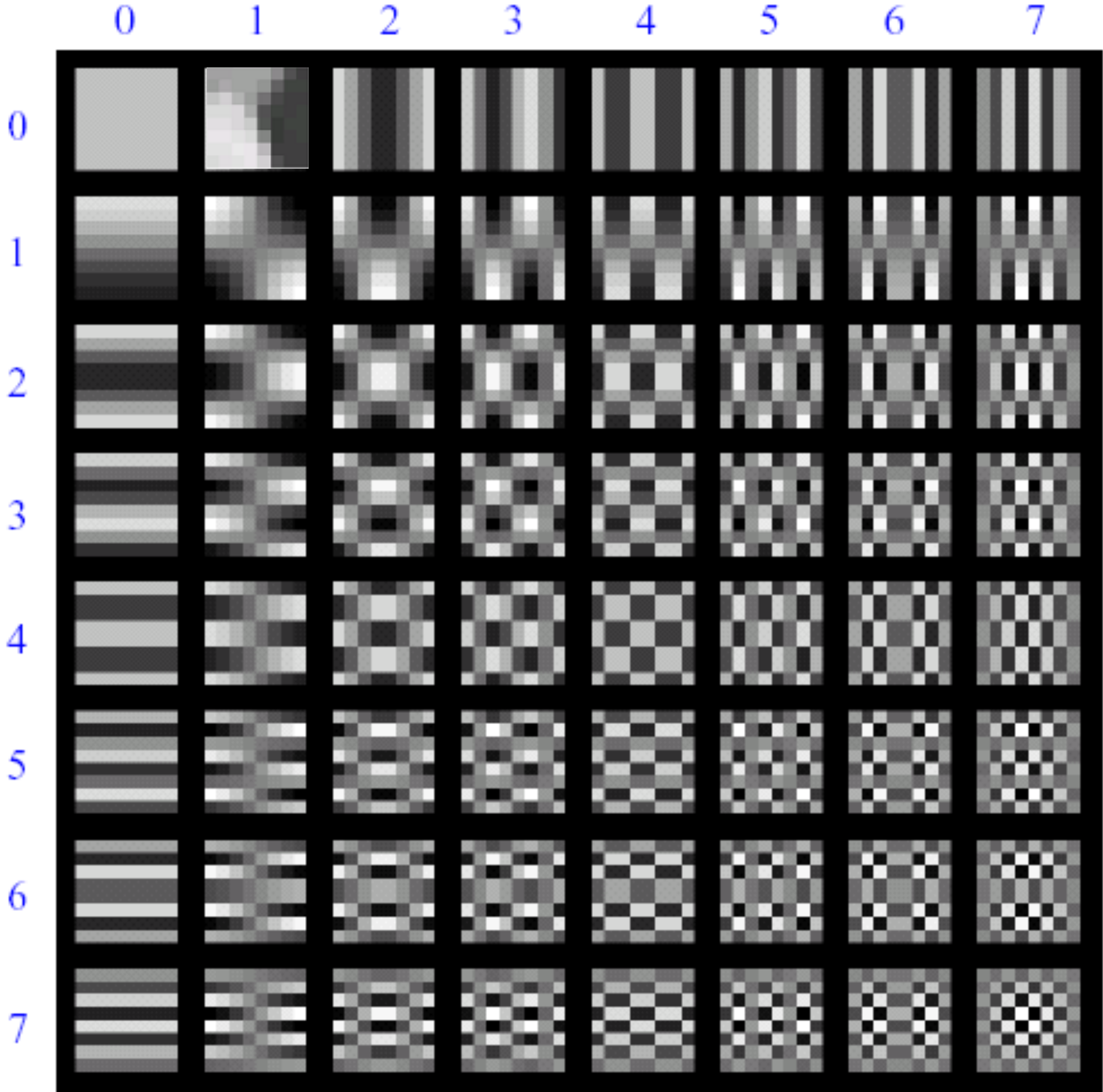
Pour calculer le coefficient, ou on calcule le **produit scalaire** entre le bloc et la base. Il s'agit donc d'une **projection** du bloc sur la base.



# Compression (JPEG)

1. Calculer les coefficients de la DCT  
(Discrete Cosine Transform)

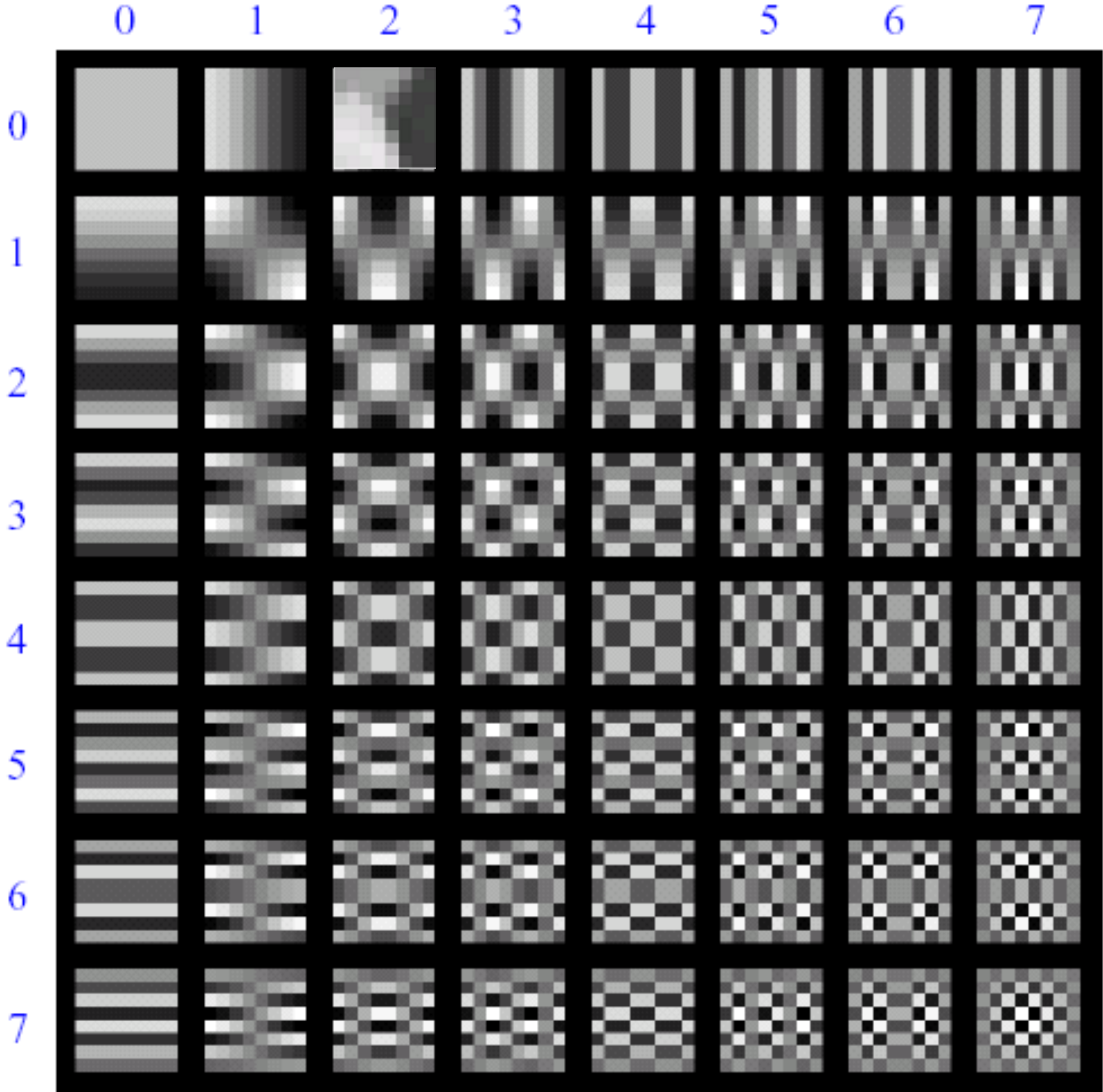
186	-18						



# Compression (JPEG)

1. Calculer les coefficients de la DCT  
(Discrete Cosine Transform)

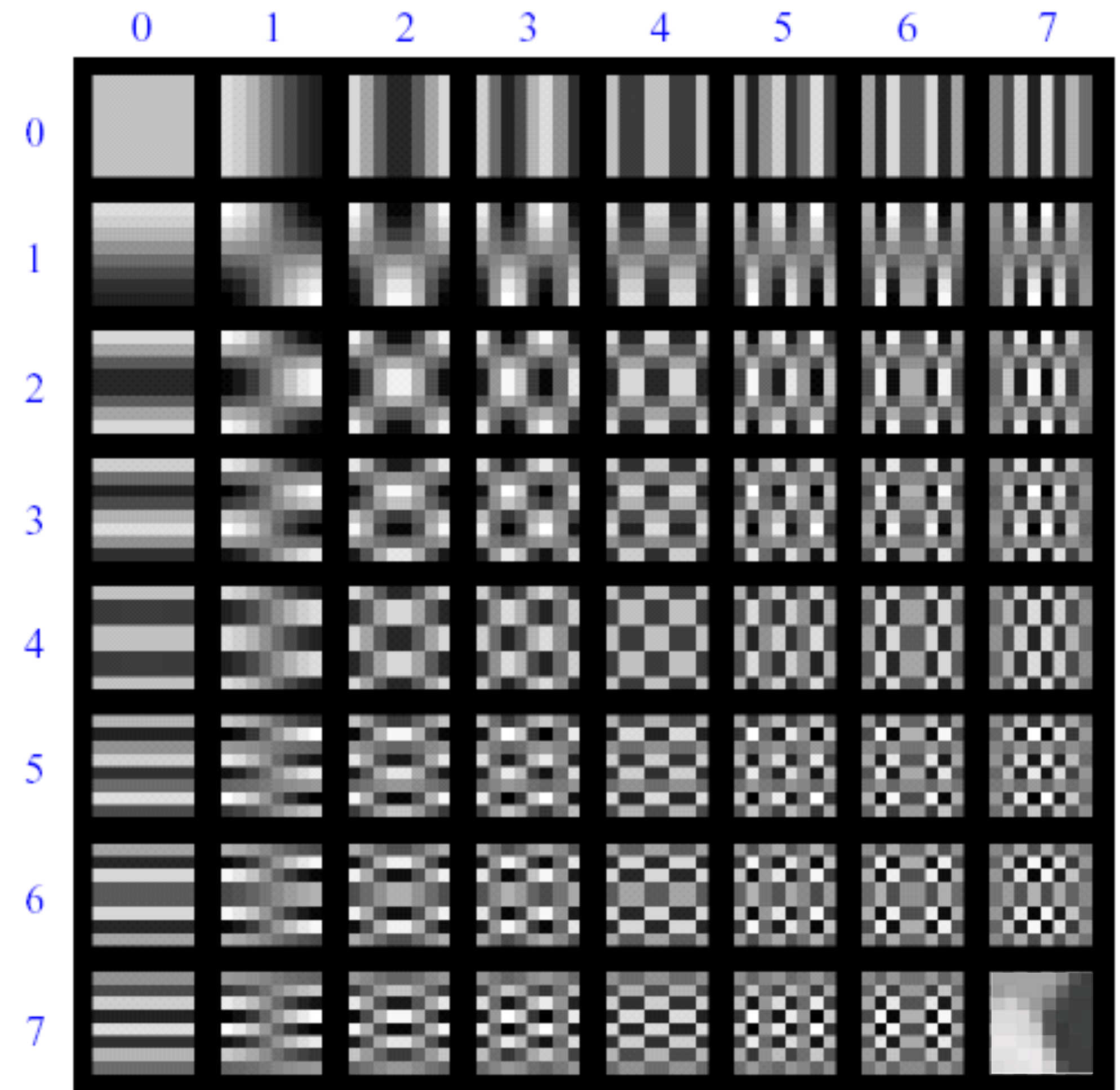
186	-18	15					



# Compression (JPEG)

1. Calculer les coefficients de la DCT  
(*Discrete Cosine Transform*)

186	-18	15	-9	23	-9	-14	19
21	-34	26	-9	-11	11	14	7
-10	-24	-2	6	-18	3	-20	-1
-8	-5	14	-15	-8	-3	-3	8
-3	10	8	1	-11	18	18	15
4	-2	-18	8	8	-4	1	-7
9	1	-3	4	-1	-7	-1	-2
0	-8	-2	2	1	4	-6	0



# Compression (JPEG)

1. Calculer les coefficients de la DCT  
(*Discrete Cosine Transform*)
2. Quantifier les coefficients de la DCT  
(niveau de quantification **différent**  
pour chaque fréquence!)

Table de quantification

16	11	10	16	24	40	51	61
12	12	14	19	26	58	60	55
14	13	16	24	40	57	69	56
14	17	22	29	51	87	80	62
18	22	37	56	68	109	103	77
24	35	55	64	81	104	113	92
49	64	78	87	103	121	120	101
72	92	95	98	112	100	103	99

186	-18	15	-9	23	-9	-14	19
21	-34	26	-9	-11	11	14	7
-10	-24	-2	6	-18	3	-20	-1
-8	-5	14	-15	-8	-3	-3	8
-3	10	8	1	-11	18	18	15
4	-2	-18	8	8	-4	1	-7
9	1	-3	4	-1	-7	-1	-2
0	-8	-2	2	1	4	-6	0

# Compression (JPEG)

1. Calculer les coefficients de la DCT  
(*Discrete Cosine Transform*)
2. Quantifier les coefficients de la DCT  
(niveau de quantification **différent**  
pour chaque fréquence!)

Table de quantification

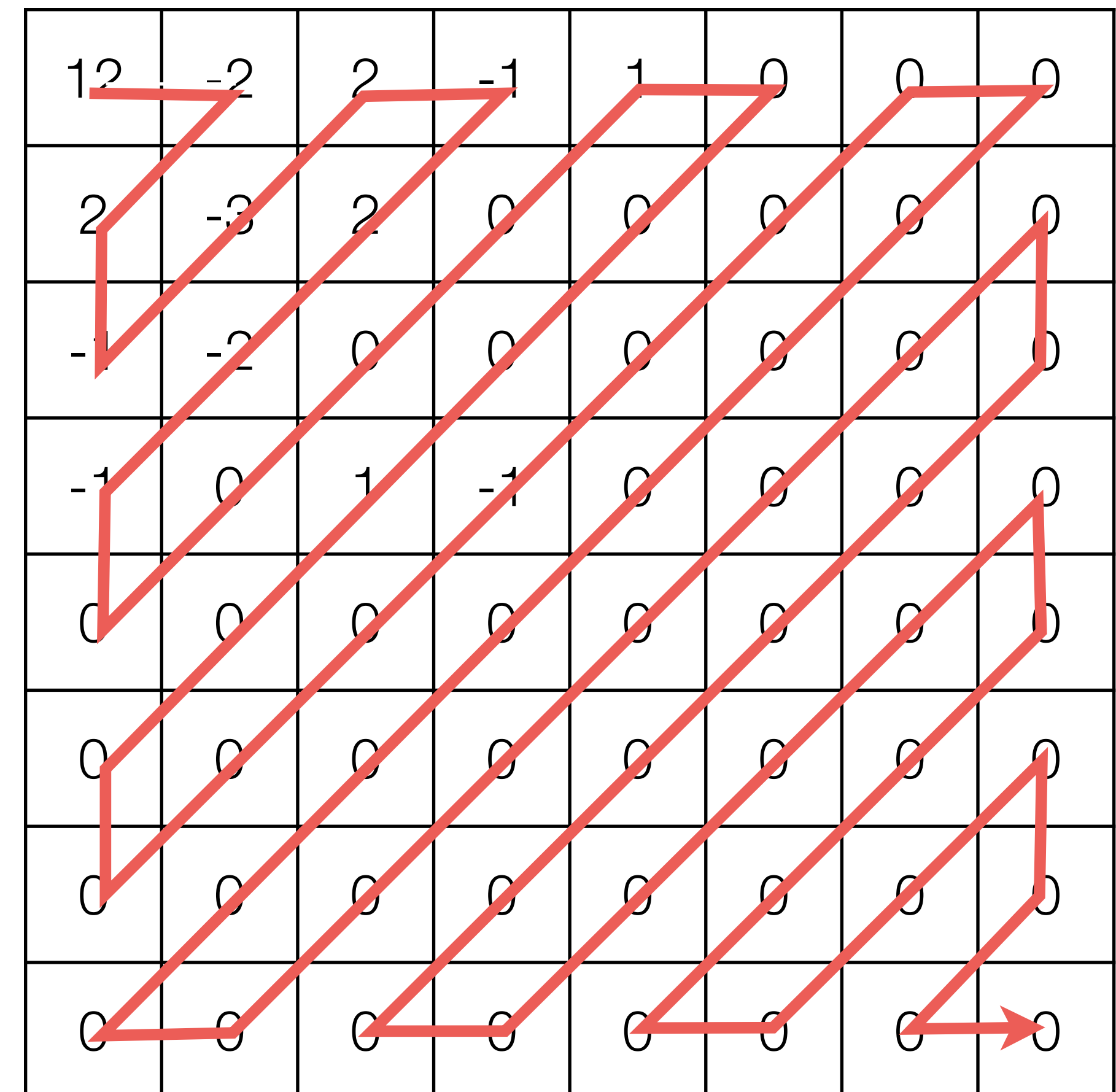
16	11	10	16	24	40	51	61
12	12	14	19	26	58	60	55
14	13	16	24	40	57	69	56
14	17	22	29	51	87	80	62
18	22	37	56	68	109	103	77
24	35	55	64	81	104	113	92
49	64	78	87	103	121	120	101
72	92	95	98	112	100	103	99

Que remarque-t-on?

12	-2	2	-1	1	0	0	0
2	-3	2	0	0	0	0	0
-1	-2	0	0	0	0	0	0
-1	0	1	-1	0	0	0	0
0	0	0	0	0	0	0	0
0	0	0	0	0	0	0	0
0	0	0	0	0	0	0	0
0	0	0	0	0	0	0	0

# Compression (JPEG)

1. Calculer les coefficients de la DCT  
(*Discrete Cosine Transform*)
2. Quantifier les coefficients de la DCT  
(niveau de quantification **différent**  
pour chaque fréquence!)
3. Encoder les coefficients quantifiés  
(encodage Huffman)



# Taille des blocs

- petit
  - rapide!
  - corrélation existe entre blocs adjacents (compression moins efficace)
- grand
  - meilleure compression
- 8x8 dans le standard JPEG

taille du fichier : 89k



taille du fichier : 12k

À quels endroits  
remarque-t-on plus les  
différences?

